

การศึกษาปัจจัยที่มีผลต่อการสังเคราะห์ด้วยแสงและ
ระยะเวลาในการรับแสงต่อวันที่พืชใช้ในการเจริญเติบโตผ่านระบบ IoT

ว่าที่ร้อยตรีจักริน ชีพสัจญาณ

TNI

วิทยานิพนธ์นี้เป็นส่วนหนึ่งของการศึกษาตามหลักสูตรปริญญาวิทยาศาสตรมหาบัณฑิต

บัณฑิตวิทยาลัย สาขาวิชาเทคโนโลยีสารสนเทศ

สถาบันเทคโนโลยีไทย-ญี่ปุ่น

ปีการศึกษา 2563

A STUDY OF FACTOR AFFECTING PHOTOSYNTHESIS AND EXPOSURE TIME FOR PLANTS
USE TO GROWTH PER DAY USING IOT SYSTEM

Acting Sub. Lieutenant Jakarin Cheepsajayan

TNI

A Thesis Submitted in Partial Fulfillment of the Requirements
for the Degree of Master of Science Program in Information Technology
Graduate School
Thai-Nichi Institute of Technology
Academic Year 2020

หัวข้อวิทยานิพนธ์

โดย

สาขาวิชา

อาจารย์ที่ปรึกษา

การศึกษาปัจจัยที่มีผลต่อการสังเคราะห์ด้วยแสงและ
ระยะเวลาในการรับแสงต่อวันที่พืชใช้ในการเจริญเติบโต
ผ่านระบบ IoT
ว่าที่ร้อยตรีจักริน ชีพสัจญาณ
เทคโนโลยีสารสนเทศ
ดร. ณัฐกิตติ์ จิตราเอื้อตระกูล

บันทึกวิทยาลัย สถาบันเทคโนโลยีไทย-ญี่ปุ่น อนุมัติให้นับวิทยานิพนธ์ฉบับนี้เป็น^๑
ส่วนหนึ่งของการศึกษาตามหลักสูตรปริญญามหาบัณฑิต

คณบดีบันทึกวิทยาลัย

(รองศาสตราจารย์ ดร. พิชิต สุเจริญพงษ์)

วันที่ เดือน พ.ศ.

คณะกรรมการสอบวิทยานิพนธ์

ประธานกรรมการ

(ผู้ช่วยศาสตราจารย์ ดร. ธงชัย แก้วกิริยา)

กรรมการ

(ผู้ช่วยศาสตราจารย์ ดร. ประจักษ์ เอิดโอม)

กรรมการ

(ดร. ชัชชาติ วรรณบูรณ์)

อาจารย์ที่ปรึกษาวิทยานิพนธ์

(ดร. ณัฐกิตติ์ จิตราเอื้อตระกูล)

ว่าที่ร้อยตรีจักริน ชีพสัจญาณ : การศึกษาปัจจัยที่มีผลต่อการสังเคราะห์ด้วยแสงและระยะเวลาในการรับแสงต่อวันที่พืชใช้ในการเจริญเติบโตผ่านระบบ IoT. อาจารย์ที่ปรึกษา : ดร. ณัฐกิตติ์ จิตราเว้อตระกูล, 115 หน้า.

ประเทศไทยเป็นประเทศที่ตั้งอยู่ในเขตมรสุมตะวันออกเฉียงใต้ และมีสภาพภูมิประเทศทรัพยากร สิ่งแวดล้อม และสภาพภูมิอากาศที่เหมาะสมแก่การทำเกษตรกรรมในทุกด้าน ไม่ว่าจะเป็น การทำงาน การทำสวนผลไม้ การทำพืชไร่ และการทำเลี้ยงสัตว์ เป็นต้น เกษตรในปัจจุบันนั้นผลิต เพื่อเชิงการค้าโดยเพิ่มจำนวนผลิตให้มากยิ่งขึ้น และใช้เวลาน้อยลง เทคโนโลยีที่เกษตรกรใช้อยู่ ณ ตอนนี้ส่วนใหญ่แล้วจะเป็นการนำเทคโนโลยีในการควบคุม สั่งการระบบอัตโนมัติ และแสดงผ่าน เว็บไซต์ หรือแอปพลิเคชันเท่านั้น แต่ไม่มีการนำข้อมูลหรือปัจจัยเหล่านั้นนำมาศึกษาและวิเคราะห์ เพื่อหาปัจจัยที่ใช้ในการเพิ่มผลผลิต

ทางผู้วิจัยได้เลือกเห็นถึงปัญหาจึงได้ทำการเริ่มศึกษาและวิจัยปัจจัยที่เกี่ยวข้องในการสังเคราะห์ด้วยแสงของพืชในงานวิจัยขึ้นนี้โดยนำเทคโนโลยี IoT เข้ามาช่วยในการเก็บข้อมูลปัจจัยที่เกี่ยวข้อง และนำตัวแปร NDVI ซึ่งสามารถใช้บ่งบอกสุขภาพและการสังเคราะห์แสงของพืชได้ มาใช้ในงานวิจัยขึ้นนี้ พร้อมทั้งนำข้อมูลทั้งหมดมาทำการวิเคราะห์และจัดกลุ่มโดยใช้ k-mean ในการจัดกลุ่มข้อมูล และนำข้อมูลที่ทำการจัดกลุ่มแล้วมาทำการหาแนวโน้ม โดยใช้เทคนิค Ensemble Classifiers โดยมีอัลกอริทึมภายใน 3 อัลกอริทึมได้แก่ Random Forest, Naïve Bayes และ Neural Network ในการวิเคราะห์และนำมายกการสังเคราะห์แสงของพืช

ผลวิจัยพบว่าจากการเก็บข้อมูลและควบคุมสภาพแวดล้อมในการเพาะปลูกด้วยระบบ IoT สามารถนำข้อมูลที่เก็บผ่านเซ็นเซอร์ที่ติดตั้งเอาไว้ภายในมาทำการวิเคราะห์และนำมายกการสังเคราะห์ด้วยแสงของพืช นั้นมีค่าความถูกต้องที่ 100% เนื่องจากมีการแบ่งกลุ่มที่ชัดเจน และสามารถสังเคราะห์ดังนี้ความต่างพืชพรรณ (NDVI) จากรูปถ่ายโดยใช้กล้องที่มีความสามารถถ่ายภาพในย่าง อินฟารेडช่วงใกล้ (NIR) เพื่อใช้ในการบ่งบอกสุขภาพและการสังเคราะห์แสงของพืชเพื่อใช้ในการตรวจสอบความเป็นอยู่ของพืช งานวิจัยขึ้นนี้ได้ทดลองสร้างโรงเรือนอัจฉริยะเพื่อใช้ควบคุมพร้อมทั้งเก็บข้อมูลเพื่อสร้างโมเดลที่ใช้สำหรับนำมายกการสังเคราะห์ด้วยแสงของพืช และใช้เป็นแนวทางในการทำวิจัยกับพืชชนิดอื่นต่อไปในอนาคต

บัณฑิตวิทยาลัย

ลายมือชื่อนักศึกษา

สาขาวิชา เทคโนโลยีสารสนเทศ

ลายมือชื่ออาจารย์ที่ปรึกษา

ปีการศึกษา 2563

ACTING SUB. LIEUTENANT JAKARIN CHEEPSAJAYAN: A STUDY OF FACTOR AFFECTING PHOTOSYNTHESIS AND EXPOSURE TIME FOR PLANTS USE TO GROWTH PER DAY USING IOT SYSTEM. ADVISOR: DR. NATTAGIT JITEURTRAGOOL, 115 PP.

Thailand is an agricultural country because of terrain, climate, and resources which are suitable for cultivation. While today technology might be able to help agriculture in many ways but the barrier to accessing technology is their prices. That is the main reason why they are still using manpower

This research proposed a control, monitoring, collect data system with statistical analysis for greenhouse planting in order to reduce production cost and manpower. The proposed system was designed using IoT in order to collect the data such as temperature, relative humidity, light intensity, CO₂, and NDVI via sensors in greenhouse. And the system can be controlled and monitored via a mobile application. The data will be storage in Blynk Platform and analyzed the data look for parameters in best range of planting model via k-mean and Ensemble Vote Technic using 3 algorithms including Random Forest, Naïve Bayes, and Neural Network to predict a photosynthesis and healthy of plant

Research finding indicated that the smart greenhouse systems be able to control, monitor, and collect data from sensors in greenhouse, to analysis and predict a photosynthesis of plant with the highest accuracy rate at 100% because the data can be segmented clearly via k-mean 3 groups using Elbow point Technic. The Greenhouse systems be able to survey photosynthesis and healthy via synthesizing NDVI using the near-infrared camera with a blue filter to take photos to be use processing NDVI. And this research proposed design and created the greenhouse systems to control, monitor, and collect data from sensors to survey and predict photosynthesis of Chinese celery only to use it as a guideline for further research on other plants in the future.

Graduate School

Student's Signature.....

Field of Study Information Technology Advisor's Signature.....

Academic Year 2020

กิตติกรรมประกาศ

การทำวิทยานิพนธ์ฉบับนี้สำเร็จลุล่วงไปได้ด้วยดี เนื่องด้วยได้รับความช่วยเหลือและกรุณาอย่างสูงจาก ดร. ณัฐกิตติ์ จิตรເວຼອຕະກຸລ ອາຈານຍໍທີ່ປະກາຊາງນົມວິຈີຍ ທີ່ໄດ້ຄວາມຮູ້ ຄວາມເຂົ້າໃຈ ແນະນຳແນວທາງ ແລະ ດຳປະກາຫາຕ່າງໆເພື່ອໃນເປົ້າການປະບຸປະກົງແລະ ແກ້ໄຂຂໍອບກພ່ອງຕ່າງໆ ຕລອດກາວິຈີຍພຣົມທັ້ງສັນບສຸນນຸ່ມື່ອທີ່ໃຫ້ໃນການທຳວິຈີຍອ່າງເຕີມທີ່ ອີກທັ້ງດູແລເອາໄຈໃສ່ອ່າງດີເຢີມຕລອດຮະຍະເລານໃນການທຳວິທານີພົນຮົມບັນນີ້ ແລະ ຍັງເປັນຮູ່ໃນສັງກັດວິສາກຣມຄອມພິວເຕອຣ໌ທີ່ຜູ້ຜູ້ວິຈີຍນັ້ນໄດ້ສຳເນົາການສຶກສາເມື່ອຄັ້ງເຮັນອຸ່ນປົງປະງົມາຕີ ຄະນະວິສາກຣມສາສຕ່ຣ ສາຂາວິສາກຣມຄອມພິວເຕອຣ໌ ປະສາບັນເທດໂນໂລຢີໄທ-ຢູ່ປຸນ

ອີກທັ້ງຜູ້ຜູ້ວິຈີຍຕະຫຼາກຄົງຄວາມຕັ້ງໃຈຈິງແລະ ຄວາມທຸມເຫັນຄະນະກຣມກາຮຸກທ່ານ ໄດ້ແກ່ຜູ້ວິຈີຍສາສຕ່ຣາຈານຍໍ ດຣ. ຮັງຂ້າຍ ແກ້ວກົມຍາ, ຜູ້ວິຈີຍສາສຕ່ຣາຈານຍໍ ດຣ. ປະຈັກຍໍ ເນັດໂຄມ, ແລະ ດຣ.ຂ້າຍເຫຍວຽນນຸ່ມ ທີ່ກຽມາໃຫ້ຂໍອເສນອແນະແລະ ດຳໃຫ້ການທີ່ເປັນປະໂຍ່ນຕ່ອງການທຳວິທານີພົນຮົມບັນນີ້ ພຣົມທັ້ງແນະນຳແນວທາງໃນການປະບຸປະກົງແລະ ແກ້ໄຂຂໍອບກພ່ອງຕ່າງໆ ດ້ວຍຄວາມດູແລເອາໄຈໃສ່ເປັນອ່າງດີເຢີມຈົນສາມາດກຳທຳໃຫ້ວິທານີພົນຮົມບັນນີ້ ເສົ່ງສິນສົມບຸຮົນຕາມຂອບເຂດທີ່ກຳທັນດໄວ້

นอกຈາກນີ້ທ່າງຜູ້ຜູ້ວິຈີຍຂອບຄຸນແຮງສຸນຍາກຄອບຄັວ ອາຈານຍຸກທ່ານທີ່ໄດ້ເທົ່າຄວາມຮູ້ ແລະ ໄທ້ດຳປະກາຫາຕ່ອດຮະຍະເລານການສຶກສາ ຄຽມື່ກີພລ່ວມພາຣາເໜ້ລແມນກສົງຄຣາມພິເສະໜ້າທີ່ໄດ້ຝ່າຍຄວາມອັດທັນທັ້ງດ້ານຮ່າງກາຍແລະ ຈິຕີໃຈ ຄວາມມີຮະເບຍບວນຍິ່ນທີ່ເນື້ອນມາປະຍຸກຕີໃຫ້ໃນໜີວິຕ ເພື່ອນຮ່ວມຫັນເຮັນແລະ ບຸກຄລອບຕັວທີ່ປະກອບປະກອງ ໃຫ້ກຳລັງໃຈ ຈົນສາມາດມີຄວາມອັດທັນ, ແຮກຍາແຮງໃຈ, ແລະ ໄມຍ່ອທົວໃນການສຶກສາ ແລະ ຈັດທຳວິທານີພົນຮົມບັນນີ້ຈົນເສົ່ງສິນ

ຜູ້ວິຈີຍຫວັງເປັນອ່າງຍິ່ງວ່າ ວິທານີພົນຮົມບັນນີ້ຈະກ່ອໄຂເກີດປະໂຍ່ນແກ່ຜູ້ທີ່ສັນໃຈ ແລະ ສາມາດນຳໄປຕ່ອຍອັດເພື່ອປະຍຸກຕີໃຫ້ກັບອົງຄໍຄວາມຮູ້ທີ່ເກີວຂ້ອງ ອີກທັ້ງສາມາດກ່ອໄຂເກີດແນວຄິດເພື່ອນຳໄປໃໝ່ໃນການສຶກສາທີ່ໄປເປົ້າການທຳວິຈີບທີ່ເກີວຂ້ອງໃນອນາຄຕ

ວ່າທີ່ຮ່ອຍຕະຈິກຮົນ ຜູ້ຜູ້ວິຈີຍ

สารบัญ

| | |
|---|------|
| | หน้า |
| บทคัดย่อภาษาไทย..... | ๑ |
| บทคัดย่อภาษาอังกฤษ..... | ๒ |
| กิตติกรรมประกาศ..... | ๓ |
| สารบัญ..... | ๔ |
| สารบัญตราสาร..... | ๕ |
| สารบัญรูป..... | ๖ |
| บหที่ | |
| 1 บหนা..... | 1 |
| 1.1 ที่มาและความสำคัญของปัญหา..... | 1 |
| 1.2 วัตถุประสงค์..... | 1 |
| 1.3 ขอบเขตงานวิจัย..... | 2 |
| 1.4 ผลที่คาดว่าจะได้รับ..... | 2 |
| 1.5 นิยามศัพท์เฉพาะทาง..... | 2 |
| 2 แนวคิด ทฤษฎี และงานวิจัยที่เกี่ยวข้อง..... | 4 |
| 2.1 ทฤษฎีที่เกี่ยวข้อง..... | 4 |
| 2.1.1 เทคโนโลยีของอินเตอร์เน็ตของสรรพสิ่ง..... | 4 |
| 2.1.2 คลื่นแม่เหล็กไฟฟ้า (Electromagnetic wave)..... | 10 |
| 2.1.3 ค่าดัชนีความต่างพืชพรรณ (NDVI) | 12 |
| 2.1.4 การเรียนรู้ของเครื่องและอัลกอริทึมที่เกี่ยวข้อง..... | 14 |
| 2.1.5 ทฤษฎีเกี่ยวกับพืช..... | 27 |
| 2.2 งานวิจัยที่เกี่ยวข้อง..... | 37 |
| 2.2.1 การวิเคราะห์ภาพถ่ายพืชที่เพาะปลูกเป็นบริเวณกว้าง..... | 37 |
| 2.2.2 การวิเคราะห์ภาพถ่ายพืชในพื้นที่จำกัด..... | 38 |
| 2.2.3 การวิเคราะห์การเจริญเติบโตด้วยตัวแปรเกี่ยวกับแสง..... | 39 |
| 2.2.4 การวิเคราะห์การเจริญเติบโตด้วยตัวแปรสภาพแวดล้อม..... | 39 |

สารบัญ (ต่อ)

| บทที่ | | หน้า |
|-------|---|------|
| 2 | 2.2.5 การวิเคราะห์การเจริญเติบโตด้วยตัวแปรcarbon dioxide ไซด์ | 40 |
| | 2.2.6 องค์ความรู้ที่เกี่ยวข้องกับงานวิจัย..... | 41 |
| 3 | วิธีดำเนินการวิจัย..... | 42 |
| | 3.1 ศึกษาเกี่ยวกับทฤษฎีและงานวิจัยที่เกี่ยวข้อง..... | 44 |
| | 3.2 วิเคราะห์ปัญหาที่เป็นปัจจัยของงานวิจัย..... | 45 |
| | 3.3 ออกแบบและพัฒนาระบบควบคุมและระบบเก็บข้อมูล..... | 45 |
| | 3.4 จัดระเบียบข้อมูลที่ให้ง่ายต่อการวิเคราะห์..... | 46 |
| | 3.5 วิเคราะห์ข้อมูลเพื่อหาปัจจัยที่มีผลต่อการสังเคราะห์ด้วยแสง..... | 46 |
| 4 | ผลการวิจัย..... | 47 |
| | 4.1 ระบบ IoT เพื่อวัดค่า NDVI และสภาพแวดล้อมที่ใช้ในการปลูกพืช..... | 47 |
| | 4.1.1 โครงสร้างและการทำงานของระบบ..... | 48 |
| | 4.1.2 โรงเรือนที่ใช้ในการเพาะปลูก..... | 50 |
| | 4.1.3 ส่วนประกอบสำคัญในโรงเรือน..... | 51 |
| | 4.1.4 การมอนิเตอร์การสังเคราะห์ด้วยแสงด้วยภาพถ่าย NDVI และระบบควบคุม..... | 53 |
| | 4.2 การประเมินประสิทธิภาพการจำแนกการสังเคราะห์แสงของพืช..... | 58 |
| | 4.2.1 การใช้ k-mean ใน การจัดกลุ่มข้อมูล..... | 58 |
| | 4.2.2 การวิเคราะห์ข้อมูลที่ได้มา..... | 60 |
| | 4.3 การประเมินประสิทธิภาพการจำแนกการสังเคราะห์แสงของพืช..... | 61 |
| | 4.4 การนำโมเดลที่ได้มาไปใช้ในการทำนาย..... | 63 |
| | 4.5 การตรวจสอบการสังเคราะห์แสงและสุขภาพของพืชด้วยดัชนีพืชพรรณ..... | 64 |
| 5 | บทสรุป อภิปราย และข้อเสนอแนะ | 65 |
| | 5.1 สรุปผลการวิจัย..... | 65 |
| | 5.2 ปัญหาและอุปสรรคในการทำวิจัย..... | 66 |

สารบัญ (ต่อ)

| บทที่ | | หน้า |
|-------|---|------|
| 5 | 5.3 ข้อเสนอแนะงานวิจัย..... | 66 |
| | บรรณานุกรม..... | 68 |
| | ภาคผนวก..... | 76 |
| | ภาคผนวก ก. ผลโค้ดโปรแกรม (System Code)..... | 77 |
| | ภาคผนวก ข.การตีพิมพ์ผลงานวิจัย..... | 104 |
| | ภาคผนวก ค. Certificate..... | 111 |
| | ประวัติย่อผู้วิจัย..... | 115 |

สารบัญตาราง

| ตาราง | หน้า |
|---|------|
| 2.1 Confusion Matrix | 18 |
| 2.2 ตารางแสดงรูปคัวตฤณฑ์ที่สิ่งมีชีวิตแต่ละชนิดใช้ในการสังเคราะห์แสง..... | 27 |
| 3.1 ตารางแสดงขั้นตอนการดำเนินงานวิจัย..... | 42 |
| 3.2 ตารางแสดงแผนการดำเนินงานวิจัย..... | 44 |
| 4.1 ตารางสรุปข้อมูลที่ใช้ในการวิเคราะห์..... | 60 |
| 4.2 ตารางแสดงผลประสิทธิภาพการจำแนกตามการสังเคราะห์ด้วยแสงของพืช..... | 62 |

สารบัญรูป

| รูปที่ | | หน้า |
|--------|---|------|
| 2.1 | แสดงถึงหน้าตาของคอมพิวเตอร์ขนาด | 5 |
| 2.2 | แสดงลักษณะรูปร่างหน้าตาของ ไมโครคอนโทรเลอ..... | 6 |
| 2.3 | แผนภาพการทำงานของ Protocol CoAP..... | 8 |
| 2.4 | แผนภาพการทำงานของ Protocol MQTT..... | 9 |
| 2.5 | Sensor และ Actuators | 10 |
| 2.6 | Electromagnetic Spectrum..... | 11 |
| 2.7 | ภาพ NDVI เพื่อใช้ในการบ่งบอกถึงความหนาแน่นของพืช..... | 12 |
| 2.8 | ภาพ NDVI เพื่อใช้ในการตรวจสอบสุขภาพและการสังเคราะห์แสงของพืช..... | 13 |
| 2.9 | ช่วง NDVI ที่แสดงถึงสุขภาพที่ดีของพืช..... | 14 |
| 2.10 | Elbow Point..... | 17 |
| 2.11 | Random Forest..... | 21 |
| 2.12 | Neural Network..... | 23 |
| 2.13 | แสดงการทำงานภายในโหนดชั้น Hidden Layer..... | 24 |
| 2.14 | กระบวนการ CRISP-DM..... | 27 |
| 2.15 | Absorption Spectrum..... | 30 |
| 2.16 | Action Spectrum..... | 30 |
| 2.17 | ลักษณะทั่วไปของขั้นจ่ายเงิน..... | 34 |
| 3.1 | กรอบแนวคิด..... | 43 |
| 4.1 | สถาปัตยกรรมระบบภายใน..... | 48 |
| 4.2 | รูปแบบการทำงานของระบบ ทั้ง 2 ส่วน..... | 48 |
| 4.3 | รูปแบบการเก็บและวิเคราะห์ข้อมูล..... | 50 |
| 4.4 | ภายในและภายนอกในโรงเรือนขนาดเล็ก..... | 51 |
| 4.5 | อุปกรณ์ฮาร์ดแวร์สำหรับระบบ ตรวจสอบการเจริญเติบโตของพืช..... | 51 |
| 4.6 | ระบบควบคุมภายในและระบบแสดงผลหน้าโรงเรือน..... | 54 |
| 4.7 | การต่อวงจรส่วนควบคุม (Master)..... | 55 |
| 4.8 | การต่อวงจรส่วนถูกควบคุม (Slave)..... | 55 |
| 4.9 | ตัวอย่างสคริปต์ที่ทำการอัปโหลดลงบน ESP8266-12E..... | 56 |

สารบัญรูป (ต่อ)

| รูปที่ | | หน้า |
|--------|--|------|
| 4.10 | ตัวอย่างสคริปต์ที่ทำการโปรแกรมบน Raspberry pi..... | 57 |
| 4.11 | ตัวอย่าง Dashboard..... | 58 |
| 4.12 | Elbow point..... | 59 |
| 4.13 | ผลลัพธ์จากการแบ่งกลุ่มโดยใช้ k-mean..... | 59 |
| 4.14 | Analysis Cluster Photosynthesis..... | 60 |
| 4.15 | ขั้นตอนการวัดประสิทธิภาพในการสังเคราะห์แสงของพืช..... | 61 |
| 4.16 | การทำ Ensemble Classifiers | 61 |
| 4.17 | อัลกอริทึมที่ใช้ในการทำ Ensemble Classifiers..... | 62 |
| 4.18 | การนำโมเดลที่ได้มาทำนายการสังเคราะห์แสงของพืชจากชุดข้อมูลที่เก็บมาใหม่ | 63 |
| 4.19 | ผลการทำนายจากโมเดลที่สร้างจากเทคนิค Ensemble Classifiers | 63 |
| 4.20 | แสดงบริเวณที่พืชมีการสังเคราะห์แสง..... | 64 |

บทที่1 บทนำ

1.1 ที่มาและความสำคัญของปัญหา

ประเทศไทยเป็นประเทศทางด้านเกษตรกรรมมาตั้งแต่อดีตจนถึงปัจจุบัน เนื่องจากตั้งอยู่ในเขตมรดกโลกของอาเซียน ไม่ว่าจะเป็น การทำนา การทำสวนผลไม้ การทำพืชไร่ และการทำเลี้ยงสัตว์ เป็นต้น และด้วยภูมิประเทศที่เปลี่ยนแปลงไปการทำเกษตรในปัจจุบันนั้นจากเดิมที่เน้นเพื่อการดำรงชีพเป็นหลักส่วนที่เกินมาจึงจำนำไปขายเพื่อเป็นรายได้เสริม และเปลี่ยนไปสู่การผลิตเชิงการค้าโดยเพิ่มจำนวนผลิตให้มากยิ่งขึ้น และใช้เวลาน้อยลง เกษตรกรบางส่วนได้นำเครื่องจักรและเทคโนโลยีมาใช้เพื่อทุนแรงที่ใช้ในการเกษตรให้ลดลงและเพิ่มประสิทธิภาพในการทำการเกษตรให้ง่ายดายยิ่งขึ้น แต่กระนั้นเทคโนโลยีที่เกษตรกรใช้อยู่ ณ ตอนนี้ส่วนใหญ่แล้วจะเป็นการนำเครื่องจักรใช้ในการเก็บเกี่ยวเพื่อลดแรงงานของคนลง แต่เก็บเกี่ยวได้เร็วยิ่งขึ้น หรือใช้เทคโนโลยีในการควบคุม สั่งการระบบอัตโนมัติ และแสดงผ่านเว็บไซต์ หรือแอปพลิเคชันเท่านั้น ไม่ได้มีการนำข้อมูลหรือปัจจัยเหล่านั้นนำมาศึกษาและวิเคราะห์เพื่อหาปัจจัยที่ใช้ในการเพิ่มผลผลิต โดยปกติแล้ว พืชนั้นจะเจริญเติบโตได้ต้องมีกระบวนการสังเคราะห์ด้วยแสง เพื่อสร้างอาหารและพลังงานที่จำเป็น ต่อการเจริญเติบโตและการดำรงอยู่ของพืชในสภาพแวดล้อมที่เหมาะสมต่อพืชในแต่ละชนิด โดยนำเทคโนโลยี อินเตอร์เน็ตของสรรพสิ่ง (IoT) มาใช้ในการเก็บข้อมูลและทำการวิเคราะห์

จากปัญหาข้างต้นทางผู้วิจัยได้เล็งเห็นถึงปัญหาจึงได้ทำการเริ่มศึกษาและวิจัยปัจจัยที่เกี่ยวข้องในการสังเคราะห์ด้วยแสงของพืชทางเศรษฐกิจในงานวิจัยขึ้นนี้ได้ทำการเลือก ขั้นจ่าย มาใช้ในการศึกษาและวิจัยเพื่อหาปัจจัยในการสังเคราะห์ด้วยแสงของพืช และเพิ่มประสิทธิภาพในการเจริญเติบโตของพืชเพื่อลดเวลาในการเก็บเกี่ยวผลผลิต

1.2 วัตถุประสงค์

- 1.2.1 เพื่อพัฒนาระบบ IoT ในการวัดระดับการสังเคราะห์ด้วยแสงจากดัชนีพืชพรรณ
- 1.2.2 เพื่อวิเคราะห์ปัจจัยที่มีผลต่อการสังเคราะห์ด้วยแสงของพืช และเพิ่มประสิทธิภาพในการเจริญเติบโตของพืชเพื่อลดเวลาในการเก็บเกี่ยวผลผลิต
- 1.2.3 เพื่อศึกษาความสัมพันธ์ของ อุณหภูมิ, ความชื้น, ปริมาณแสง และค่ารบอนไดออกไซด์กับดัชนีความต่างพืชพรรณ

1.3 ขอบเขตงานวิจัย

การศึกษาและวิจัยนี้มีวัตถุประสงค์ในการหาปัจจัยที่มีผลต่อการสังเคราะห์ด้วยแสงและระยะเวลาที่เหมาะสมในการรับแสงต่อวัน เพื่อเพิ่มประสิทธิภาพในการเจริญเติบโตของพืช ซึ่งมีการกำหนดอิสระในสภาพแวดล้อมปิด อุปกรณ์และเครื่องมือที่ใช้ในการทำวิจัย มีขอบเขตของการวิจัย ดังต่อไปนี้

1.3.1 ขอบเขตของการวิจัย

การวิเคราะห์ปัจจัยที่ส่งผลต่อการเจริญเติบโตของข้าวสาลี่ได้นำข้อมูลมาจากการกำหนดตัวแปรที่สอดคล้องกับปัจจัยที่พืชใช้ในการเจริญเติบโตซึ่งได้มาจากการเก็บค่าโดยใช้เซ็นเซอร์ที่ติดตั้งไว้ในโรงเรือน

1.3.2 ขอบเขตด้านเทคนิคและวิธีการ

(1) พืชที่ใช้ในงานวิจัยชิ้นนี้คือ ข้าวสาลี่ เนื่องจากเป็นพืชที่ใช้เวลาในการเจริญเติบโตเร็วและราคาดี สามารถปลูกแบบไฮโดรโปนิกส์ได้ มีรังควัต (Pigment) ที่ใช้ในการสังเคราะห์ด้วยแสงเป็นชนิด คลอโรฟิลล์ (Chlorophyll)

- (2) ปลูกแบบไฮโดรโปนิกส์ เนื่องจากสามารถคงความชุ่มสารอาหารได้
- (3) มีการกำหนดสภาพแวดล้อมในโรงเรือนแบบปิด
- (4) ข้อมูลที่นำมาใช้ในการวิเคราะห์มาจากการเก็บข้อมูลผ่านเซ็นเซอร์ที่ติดตั้งไว้ภายในโรงเรือน

(5) ข้อมูลที่นำมาใช้ในการวิเคราะห์ ได้แก่ อุณหภูมิ, ความชื้น, ปริมาณแสง, ความชื้มแสง, เวลาในการรับแสง, ปริมาณคาร์บอนไดออกไซด์ (CO_2), และค่าดัชนีความต่างพืชพรรณ(NDVI)

- (6) ศึกษาปัจจัยที่ส่งผลต่อสังเคราะห์แสงที่พืชใช้ในการเจริญเติบโต

1.4 ผลที่คาดว่าจะได้รับ

1.4.1 เพื่อเพิ่มประสิทธิภาพในการเจริญเติบโตของข้าวสาลี่

1.4.2 สามารถกำหนดระยะเวลาในการเก็บเกี่ยวได้

1.4.3 เพื่อเป็นแนวทางสำหรับพัฒนาและวิจัยกับพืชชนิดอื่น

1.5 นิยามศัพท์เฉพาะทาง

1.5.1 กระบวนการสังเคราะห์ด้วยแสง (Photosynthesis) เป็นปฏิกิริยาเดียวของสิ่งมีชีวิตที่นำพลังงานแสงเข้ามาในระบบบินิเวศ ส่วนใหญ่พืชจะมีสมการการสังเคราะห์ด้วยแสงเป็น $6\text{CO}_2 + 6\text{H}_2\text{O} \rightarrow \text{C}_6\text{H}_{12}\text{O}_6 + 6\text{O}_2$

$+ 12H_2O + Light$ ถูกสังเคราะห์เป็น $C_6H_{12}O_6 + 6O_2 + 6H_2O$ โดยที่ว่าไปแล้วจะแบ่งออกเป็น 2 ขั้น แต่ละขั้นจำเป็นต้องใช้แสง

1.5.2 **ปฏิกิริยาแสง (Light Reaction)** เป็นการนำพลังงานแสงมาสร้าง NADPH และ ATP เกิดที่บริเวณ thylakoid membrane

1.5.3 **การตรึงคาร์บอนไดออกไซด์ (Carbon dioxide fixation)** เป็นการตรึงคาร์บอนไดออกไซด์ด้วยวัฏจักรคัลวิน (Calvin Cycle) โดยการนำ NADPH และ ATP ที่ได้มานั้นเปลี่ยน CO_2 ให้เป็นน้ำตามสมการข้างต้นที่กล่าวไป

1.5.4 **นิโคตินามีดอะเดนีนไดนิวคลีอิດฟอสเฟต (nicotinamide adenine dinucleotide phosphate : NADPH)** สารอินทรีย์ที่ทำหน้าที่เป็นตัวรับ H ในกระบวนการสังเคราะห์ด้วยแสง เมื่อรับ H แล้วจะอยู่ในรูป $NADPH_2$

1.5.5 **อะดีโนซีนไตรฟอสเฟต (adenosine triphosphate: ATP)** เป็นสารให้หลังงานสูงแก่เซลล์ ผลิตจากกระบวนการสังเคราะห์ด้วยแสง หรือการหายใจระบบเซลล์และถูกใช้ในกระบวนการต่างๆ ของพืช

1.5.6 **รงควัตถุ(Pigment)** คือสารที่ทำหน้าที่ดูดกลืนแสง สีที่ไม่ถูกดูดกลืนจะสะท้อนกลับออกมาทำให้ต้นไม้มีสีสัน

1.5.7 **คลอโรฟิลล์ (Chlorophyll)** เป็นรงควัตถุที่สะท้อนแสงสีเขียว ดูดกลืนแสงสีน้ำเงินและแสงสีแดง เพื่อใช้ในการสังเคราะห์ด้วยแสง

1.5.8 **ไฮโดรโปนิกส์ (Hydroponics)** เป็นการปลูกพืชแบบไร้ดินโดยที่รากของพืชจะแขวนอยู่ในน้ำที่มีสารอาหารพืชละลายน้ำอยู่ ส่วนลำต้นและส่วนอื่นๆ จะอยู่เหนือน้ำที่เป็นสารละลาย โดยมีอุปกรณ์ช่วยในการพยุงลำต้น

1.5.9 **Internet of Things (IoT)** หมายความว่าการที่สิ่งของ, อุปกรณ์, หรือเครื่องจักรสามารถสื่อสารและเชื่อมต่อหากันและกันได้ผ่านทางระบบเครือข่ายอินเตอร์เน็ตไม่ว่าจะเป็นทั้งระบบแบบมีสาย (LAN) หรือแบบไร้สาย (Wireless)

บทที่ 2

แนวคิด ทฤษฎี และงานวิจัยที่เกี่ยวข้อง

งานวิจัยขั้นนี้ผู้วิจัยได้ศึกษาค้นคว้าแนวคิด ทฤษฎี และงานวิจัยที่เกี่ยวข้องจากเอกสารทางวิชาการ บทความ หนังสือ และแหล่งสารสนเทศทางอินเตอร์เน็ต ดังหัวข้อต่อไปนี้

2.1 ทฤษฎีที่เกี่ยวข้อง

2.1.1 เทคโนโลยีของอินเตอร์เน็ตของสรรพสิ่ง

รู้จักกันในชื่อ Internet of Things (IoT) [1][2] หมายความว่าการที่สิ่งของ อุปกรณ์ หรือเครื่องจักรสามารถสื่อสารและเชื่อมต่อหากันและกันได้ผ่านทางระบบเครือข่ายอินเตอร์เน็ตไม่ว่าจะเป็นทั้งระบบแบบมีสาย (LAN) หรือแบบไร้สาย (Wireless) โดยใช้โปรโตคอลเฉพาะในการสื่อสาร ทำให้สามารถควบคุม ตรวจสอบ บริหารจัดการ หรือ สามารถระบุตัวตนของสิ่งนั้นผ่านเครือข่ายอินเตอร์เน็ตได้ พังก์ชันในการทำงานของอุปกรณ์ IoT อาจจะมีหลายพังก์ชันหรือพังก์ชันเดียวก็ได้ ขึ้นอยู่กับจุดประสงค์ของอุปกรณ์นั้นๆ ในประเทศไทยอุปกรณ์ IoT ไม่ค่อยเป็นที่แพร่หลายเท่าไหร่นัก ส่วนใหญ่จะใช้ในทางด้านอุตสาหกรรม การคมนาคม และสินค้าบางชนิด ในปัจจุบันทางด้านภาครัฐกรรมก็เริ่มนำเทคโนโลยี IoT เข้ามาช่วยในการทำการเกษตรแต่ยังไม่แพร่หลายนัก สังเกตได้ จากที่เกษตรกรบางคนเริ่มที่จะระบบ Smart farm ของตัวเองเพื่อลดต้นทุนทางด้านแรงงานคนลง การวางแผนทำให้การดูแลพืชผลต่างๆง่ายขึ้นและสามารถควบคุมและตรวจสอบแค่เพียงปลายนิ้วเท่านั้น ไม่ว่าจะเป็นการตรวจสอบความชื้นหรืออุณหภูมิภายในฟาร์มของตนเอง การควบคุมการให้น้ำ การให้แสง หรือปริมาณแร่ธาตุในกรณีที่เป็นการปลูกแบบไฮโดรโปนิกส์ เป็นต้น นอกจากนี้ยังมีการเก็บค่าทางสถิติผ่านเซ็นเซอร์หลายอย่างที่ติดตั้งอยู่ภายใน Smart farm เพื่อนำมาวิเคราะห์หาความสัมพันธ์ระหว่างตัวแปรต่างๆภายในฟาร์มที่ส่งผลต่อการเจริญเติบโตของพืชหรือผลผลิต

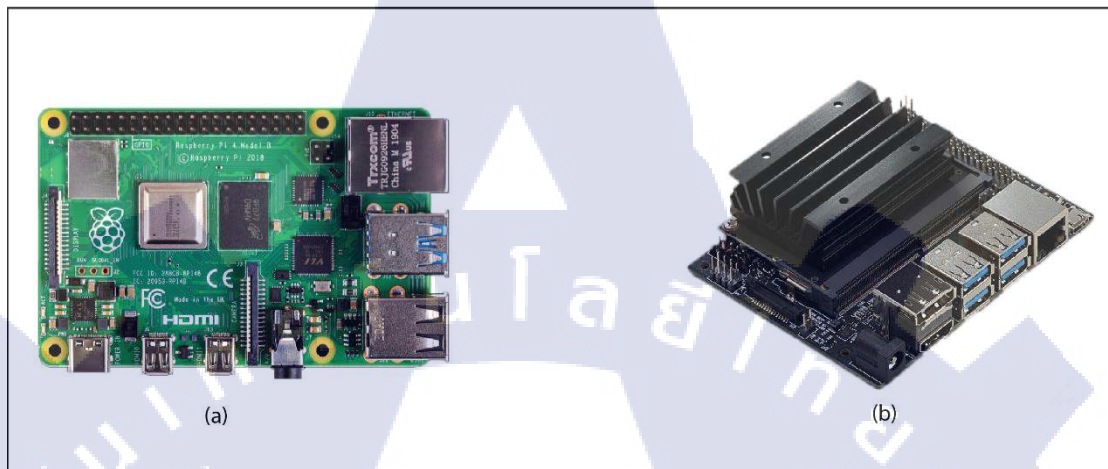
2.1.1.1 อุปกรณ์สำหรับควบคุมและสั่งการของ Internet of Things

ในปัจจุบันอุปกรณ์ที่ใช้สำหรับควบคุมและสั่งการระบบของ Internet of Things มีอยู่ 2 ประเภทได้แก่

- (1) Embedded Computer, Single Board Computer [3][4]

เป็นคอมพิวเตอร์ขนาดเล็กที่ประกอบไปด้วย microprocessors, memory, I/O อยู่ภายในบอร์ดเดียว มีพอร์ต GPIO สำหรับเชื่อมต่อกับอุปกรณ์ภายนอกได้ นิยมใช้ระบบปฏิบัติการ Linux พร้อมทั้งมีพอร์ต HDMI, USB type B, RJ45 และ built-in wireless LAN สำหรับเชื่อมต่อ Internet เช่น บอร์ด Raspberry pi, NVIDIA Jetson Nano ดังรูปที่ 2.1 ซึ่งค่อนข้าง

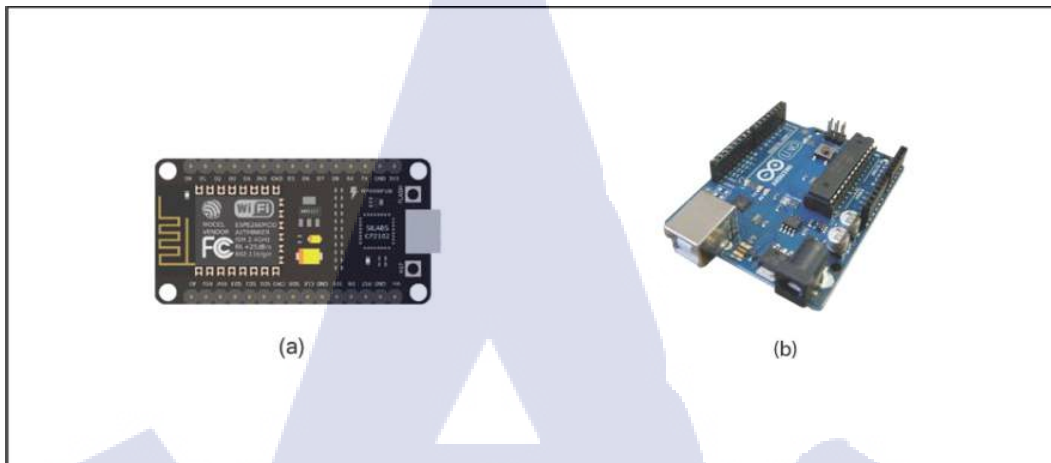
เป็นที่นิยมในปัจจุบันและได้มีการอุกมาหลาภหลายรุ่นพร้อมทั้งเพิ่มประสิทธิภาพในการประมวลผลให้ดียิ่งขึ้น พร้อมทั้งรองรับการประมวลผลด้วยภาษา Python ยิ่งขึ้น ดังเช่น NVIDIA Jetson Nano ที่สนับสนุนการประมวลผลด้วยภาพและการทำ Machine learning



รูปที่ 2.1 แสดงถึงหน้าตาของคอมพิวเตอร์ขนาดเล็ก (a) Raspberry pi 3 b+, (b) Jetson Nano Developer Kit

(2) Microcontroller [5]

อุปกรณ์ควบคุมขนาดเล็ก ซึ่งบรรจุความสามารถที่คล้ายคลึงกับระบบคอมพิวเตอร์ โดยไม่ครอบครองทรัลเลอร์ได้รวมเอา microprocessors, memory, I/O ซึ่งเป็นส่วนประกอบหลักสำคัญของระบบคอมพิวเตอร์เข้าไว้ด้วยกัน โดยทำการบรรจุเข้าไว้ในตัวถังเดียวกัน สามารถโปรแกรมคำสั่งเพื่อควบคุมขา GPIO เพื่อสั่งงานให้ไปควบคุมอุปกรณ์ต่างๆตามที่โปรแกรมเอาไว้ เหมาะสมสำหรับงานที่เฉพาะเจาะจงโดยส่วนมากจะต้องเขียนด้วยภาษาที่เป็นภาษาระดับล่าง เช่น C/C++ ตัวอย่างเช่น Arduino UNO และ ESP8266-12E ดังรูปที่ 2.2 ในบางรุ่นจะมี built-in wireless LAN ติดตั้งมาให้พร้อมกับตัวบอร์ดอยู่แล้ว เพื่อรองรับระบบ IoT เช่น ESP8266-12E



รูปที่ 2.2 แสดงลักษณะรูปร่างหน้าตาของ ไมโครคอนโทรเลอร์ (a) ESP8266-12E, (b) Arduino UNO

2.1.1.2 โปรโตคอลการสื่อสารสำหรับ Internet of Things [6]

โปรโตคอล (Protocol) เป็นข้อกำหนดหรือข้อตกลงที่ใช้ในการสื่อสารระหว่างคอมพิวเตอร์หรือเรียกได้ว่าเป็นภาษาของเครื่องที่สามารถเข้าใจกันที่สามารถสื่อสารกันได้นั้นจำเป็นจะต้องมีสื่อกลางที่เรียกว่า โปรโตคอล เช่นเดียวกับการที่คำเรามีภาษาพูดเพื่อใช้ในการสื่อสารซึ่งกันและกันโดยภาษาของคนเราซึ่งเป็นภาษาอังกฤษ ซึ่งโปรโตคอลที่ใช้สำหรับการสื่อสารมีอยู่หลายประเภทยกตัวอย่างเช่น

(1) Protocol HTTP (Hypertext Transfer Protocol) [7]

HTTP เป็นโปรโตคอลที่ใช้ในการสื่อสารและเปลี่ยนข้อมูลระหว่าง Client กับ Server โดยเชื่อมต่อกับ World Wide Web (www) ซึ่งมีการออกแบบให้มีประสิทธิภาพสูงสามารถทำงานได้รวดเร็วและไม่ซับซ้อน โดยจะใช้มีอีกหนึ่งชั้น叫做Protocol Layer ที่มีชื่อว่า TCP/IP ที่จะรับข้อมูลจาก Client และส่งข้อมูลนั้นกลับมาให้แก่ Client ที่เรียกว่า Browser และ Browser จะนำข้อมูลนั้นมาแสดงผ่านหน้าจอของ Client

(2) Protocol TCP/IP [8]

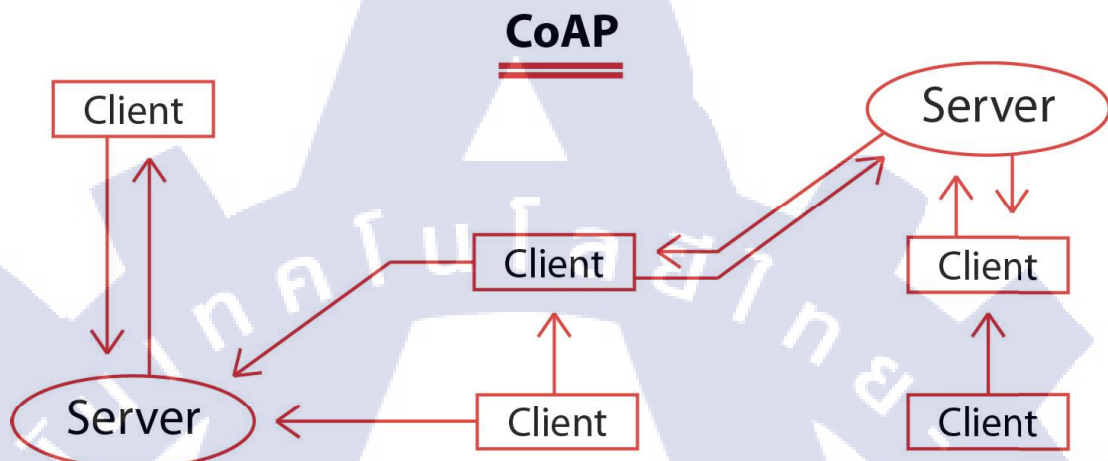
TCP/IP เป็นโปรโตคอลที่สำคัญมากที่สุดชนิดหนึ่งเนื่องจากใช้ในการสื่อสารผ่านเครือข่าย Internet เพื่อให้สามารถ Client ต้นทางสามารถสื่อสารข้ามเครือข่ายไปยังจุดหมายปลายทางที่อยู่คนละเครือข่ายได้และสามารถค้นหาเส้นทางในการส่งข้อมูลด้วยตัวเองได้โดยอัตโนมัติโดยแบ่งออกเป็น

- TCP (Transmission Control Protocol) ซึ่งจะทำหน้าที่ในการแยกชิ้นส่วนของ package ก่อนส่งออกไป โดยปลายทางจะทำการรวมและนำไปประมวลผลต่อในขั้นต่อๆไป ในระหว่างการรับ-ส่งข้อมูลนั้นจะมีการตรวจสอบความถูกต้องของข้อมูลเสมอ ถ้าหากมีข้อมูลแตกหักหรือผิดแปลกไปจากต้นทาง ปลายทางจะทำการร้องขอข้อมูลส่วนนั้นใหม่อีกครั้งจนกว่าข้อมูลจะสมบูรณ์
 - IP (Internet Protocol) เป็นส่วนที่ทำการส่งข้อมูลจาก IP Address ต้นทางไปยัง IP Address ปลายทาง
- (3) Protocol SMTP (Simple Mail Transfer Protocol) [9] เป็นโปรโตคอลที่ใช้สำหรับการรับและส่งจดหมายอิเล็กทรอนิก (E-Mail) ภายใต้เครือข่าย Internet
 - (4) Protocol FTP (File Transfer Protocol) [10] เป็นโปรโตคอลที่ใช้ในการถ่ายโอนข้อมูลระหว่างกัน เช่นการอัปโหลดข้อมูลหรือไฟล์ไปยัง Server
 - (5) Protocol NNP (Network News Transfer Protocol) [11] เป็นโปรโตคอลสำหรับถ่ายโอนข่าวสารระหว่างกันและกัน
 - (6) Protocol ICMP (Internet Control Message Protocol) [12] เป็นโปรโตคอลที่ใช้สำหรับการสอบถามข้อมูลระหว่างกัน
 - (7) Protocol DHCP (Dynamic Host Configuration Protocol) [13]

DHCP เป็นโปรโตคอลในการจัดการ Internet Protocol (IP) โดย DHCP Server จะทำการกำหนด IP Address และค่าพารามิเตอร์อื่นๆภายในเครือข่ายโดยอัตโนมัติ เพื่อให้สามารถสื่อสารกับเครือข่ายอื่นๆได้

- (8) CoAP (Constrained Application Protocol) [14]
- CoAP เป็นโปรโตคอลที่ถูกพัฒนาขึ้นมาใหม่โดย IEIF ในปี 2014 ซึ่งมีการออกแบบให้มีการทำงานที่คล้ายกับโปรโตคอล HTTP ซึ่งเป็น Document Transfer Protocol แต่มีขนาดที่เล็กกว่ามาก CoAP มีขนาดของ Headerอยู่ที่ 4byte เท่านั้น เพราะมีการตัดส่วนที่ไม่จำเป็นออกไปและทำงานอยู่ภายใต้ UDP ซึ่งเป็นโปรโตคอลที่ไม่มีการสร้างการเชื่อมต่อ กับอุปกรณ์ปลายทาง จึงทำให้ส่งข้อมูลเร็วมากแต่จะไม่มีการรับรองความถูกต้องของข้อมูลเมื่อถูกส่งไปปลายทาง CoAP นั้นเป็นสถาปัตยกรรมแบบ Client/Server โดย Client จะทำการร้องขอทรัพยากรไปที่ Server โดยตรง จากนั้น Server จะทำการตอบกลับคำร้องพร้อมกับอพชัน ‘Content-Type’ เพื่อว่าบอก Client ว่ากำลังจะได้รับข้อมูลในรูปแบบไหนกลับไป (เช่น JSON, XML, CBOR เป็นต้น) โดย Client สามารถ GET, PUT, POST และ DELETE ทรัพยากรบน Server ด้วย URL และ query

string คล้ายกับ REST API ซึ่ง CoAP ถูกออกแบบมาสำหรับการแลกเปลี่ยนข้อมูลแบบ One-to-One ซึ่งหมายความว่าสำหรับกระจาดศูนย์ที่มีอุปกรณ์อยู่บนภายนอกเครือข่ายเดียวกันและสามารถเชื่อมต่อกันได้โดยตรง ยกตัวอย่างเช่น Smart Home, Smart Farm หรือระบบอื่นๆ ที่ต้องมีการควบคุมและสั่งการโดยผู้ใช้งานเป็นหลัก



รูปที่ 2.3 แผนภาพการทำงานของ Protocol CoAP [15]

(9) MQTT (Message Queuing Telemetry Transport) [16]

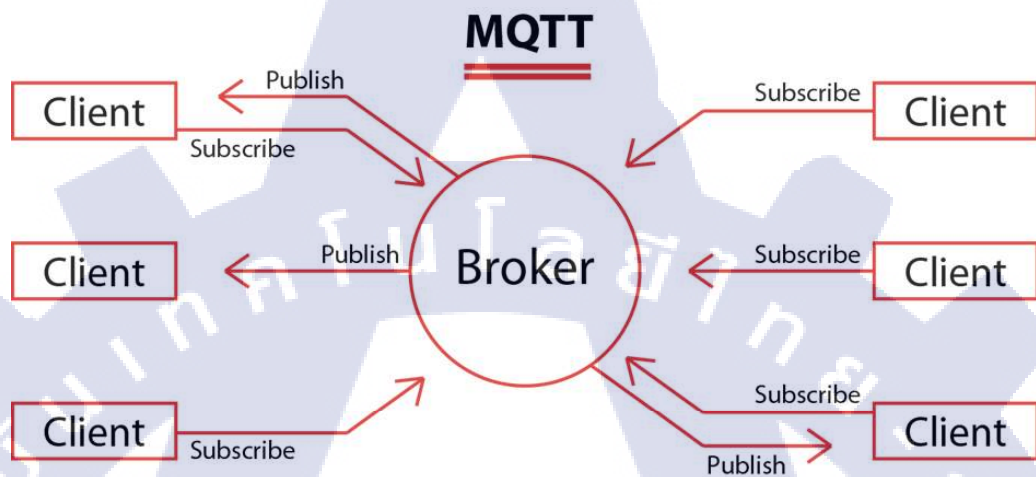
MQTT เป็นโปรโตคอลที่ถูกออกแบบมาให้มีขนาดเล็กสำหรับการสื่อสารแบบ Machine to Machine (M2M) โดยถือกำเนิดจากวิศวกรจาก IBM และ Eurotech ในปี 1999 เพื่อนำไปใช้ในระบบ SCADA (Supervisory Control and Data Acquisition) สำหรับเชื่อมต่อท่อส่งน้ำมันบนเครือข่ายที่ไม่มีความเสถียรอย่างอินเตอร์เน็ตดาวเทียม ก่อนที่จะถูกบริจาคและเปลี่ยนเป็น Open Standard ในปี 2014 โดย OASIS

MQTT เป็นสถาปัตยกรรมแบบ Client/Server ซึ่งมี Topology แบบ Hub-And-Spoke เชี่ยวชาญหรืออุปกรณ์ปลายทางจะทำหน้าที่เป็น Client ซึ่งทำการสร้างการเชื่อมต่อแบบ TCP ไปยัง Server ที่มีชื่อเรียกว่า Broker ซึ่งมีหน้าที่เป็นเสมือนท่อส่งข้อมูลในการรับส่ง ‘Message’ ระหว่าง Client ที่เป็นได้ทั้ง Publisher และ Subscriber

Client หมายถึง Publisher หรือ Subscriber ที่เชื่อมต่อแบบรวมศูนย์ไปยัง Broker ซึ่งสามารถเชื่อมต่อได้ทั้งแบบ Persistent ที่ทำการสร้าง Session คงไว้เปิดตลอดเวลาเพื่อติดต่อกับ Broker ซึ่งตรงกันข้ามกับ Client ที่เชื่อมต่อแบบ Transient ซึ่ง Broker ไม่สามารถติดตามสถานะได้

Broker เป็น software ที่ทำหน้ารับข้อความทั้งหมดที่ได้จาก Publisher และจัดส่งต่อไปให้ Subscriber ตามแต่ Topic ที่ Client ได้ทำการ Subscribe ไว้

Topic ทำหน้าที่เปรียบเสมือน Address หรือ Endpoint บน Broker ที่ Client ทำการเขื่อมต่อเพื่อรับส่งข้อความระหว่างกันและกัน



รูปที่ 2.4 แผนภาพการทำงานของ Protocol MQTT [15]

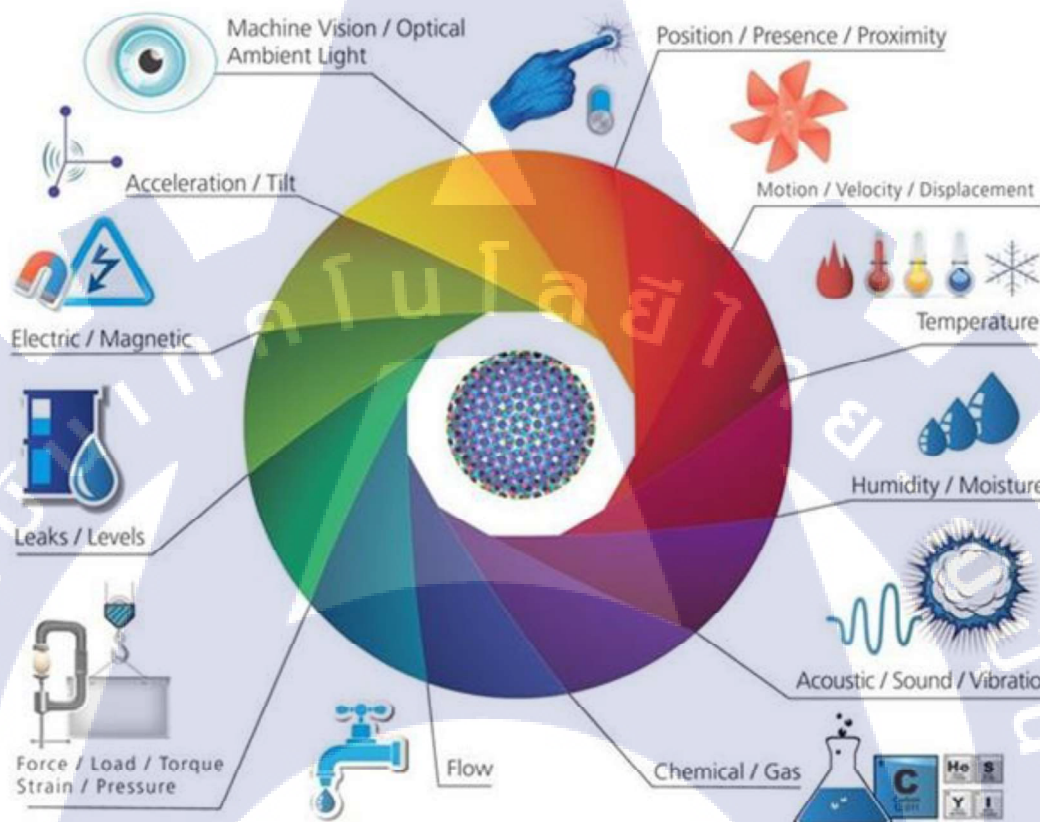
MQTT เหมาะสำหรับการนำไปใช้ในระบบคลาวด์ที่ให้บริการแบบรวมศูนย์เนื่องจากถูกพัฒนาให้เหมาะสมกับการกระจายข้อมูลบนระบบคลาวด์ที่ให้บริการแบบรวมศูนย์ เนื่องจากถูกพัฒนาให้เหมาะสมกับการกระจายข้อมูลแบบ Many-to-Many และอพลิเคชันที่นำ MQTT ไปใช้นั้นจะเป็น IoT Platform เป็นส่วนใหญ่

2.1.1.3 เซ็นเซอร์และอุปกรณ์ที่ปฏิบัติตัวต่อสิ่งแวดล้อมทางกายภาพ

- เซ็นเซอร์(Sensors) [17] นั้นเป็นส่วนรับรู้สภาพแวดล้อมภายนอก รอบตัวเพื่อใช้ในการบอกสภาพแวดล้อมบริเวณนั้นว่ามีการเปลี่ยนแปลงอะไรบ้าง ไม่ว่าจะเป็นการเคลื่อนไหว, ความดัน, สภาพอากาศ, การมองเห็น เปรียบเสมือนส่วนรับรู้ประสานผสานทั้ง 5 ของมนุษย์
- อุปกรณ์ที่ปฏิบัติตัวต่อสิ่งแวดล้อมทางกายภาพ (Actuator) [18] เป็นส่วนที่แสดงการกระทำการทางกายภาพ เช่น มอเตอร์ที่ใช้ในการหมุนเพื่อเปิดปิดของประตูอัตโนมัติ โดยรับคำสั่งมากจากส่วนควบคุม (Controller) เปรียบเสมือนส่วนแขน ขา นิ้วมือ ของมนุษย์ ที่รับคำสั่งมาจากการมองให้มีการเคลื่อนไหวตามที่สมองสั่งการ

1 SENSORS & ACTUATORS

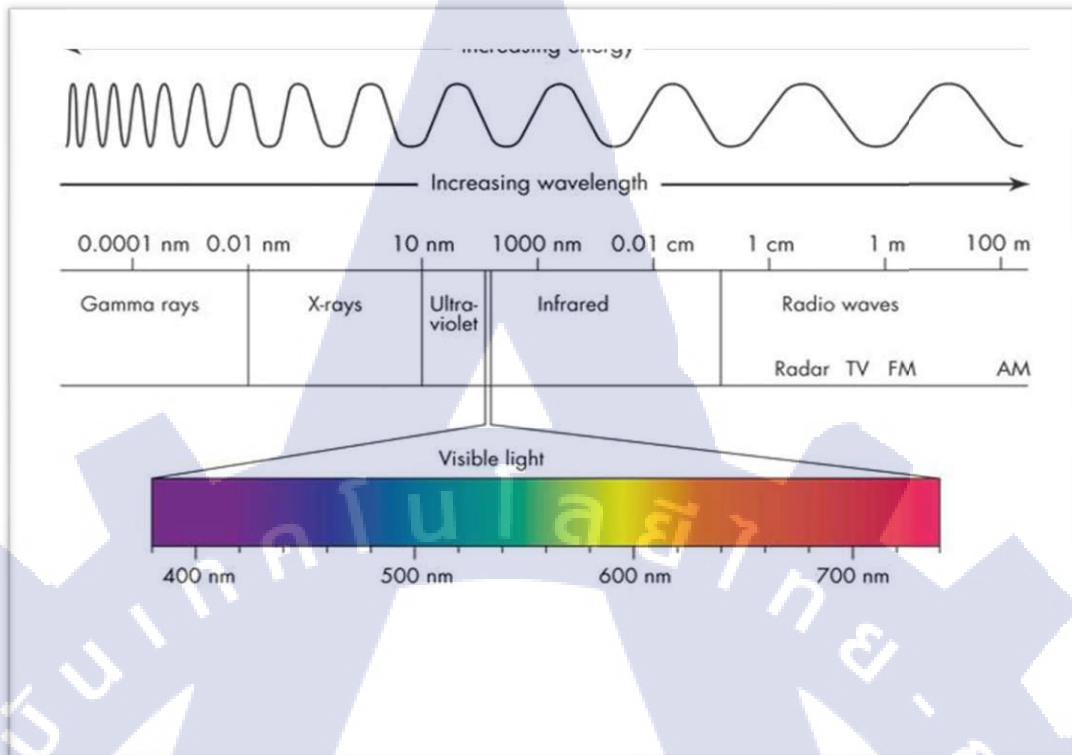
We are giving our world a digital nervous system. Location data using GPS sensors. Eyes and ears using cameras and microphones, along with sensory organs that can measure everything from temperature to pressure changes.



รูปที่ 2.5 Sensor และ Actuators [19]

2.1.2 คลื่นแม่เหล็กไฟฟ้า (Electromagnetic wave)

คลื่นแม่เหล็กไฟฟ้า [20] ประกอบไปด้วย สนามแม่เหล็กไฟฟ้าและสนามไฟฟ้าซึ่งทำมุตั้งจากและเคลื่อนที่ผ่านอากาศด้วยความเร็ว $3 \times 10^8 \text{ m/s}$ ประเภทของคลื่นแม่เหล็กไฟฟ้าจะประกอบไปด้วย รังสีแกมม่า, รังสีเอกซ์, อัลตราไวโอเล็ต, แสงที่ตามองเห็น, อินฟารेड, ไมโครเวฟ, และคลื่นวิทยุ ซึ่งในที่นี้จะกล่าวแค่ แสงที่ตามองเห็น และอินฟารेडเท่านั้น



รูปที่ 2.6 Electromagnetic Spectrum [21]

2.1.2.1 แสงที่ตามองเห็น (Visible Light) [22] เป็นคลื่นแม่เหล็กไฟฟ้าเพียงช่วงเดียวที่ตาของมนุษย์สามารถมองเห็นผ่านจօประสาทตาจะมีช่วงความยาวคลื่นอยู่ที่ประมาณ 400 - 700 nm โดยจะแบ่งออกเป็น สีม่วง, คราม, น้ำเงิน, เขียว, เหลือง, แสดง, แดง เรียกว่าสเปกตรัม แสงแต่ละสีจะมีความยาวคลื่นต่างกัน ทั้งนี้สีม่วงจะมีความยาวคลื่นน้อยที่สุดและสีแดงจะมีความยาวคลื่นมากที่สุด

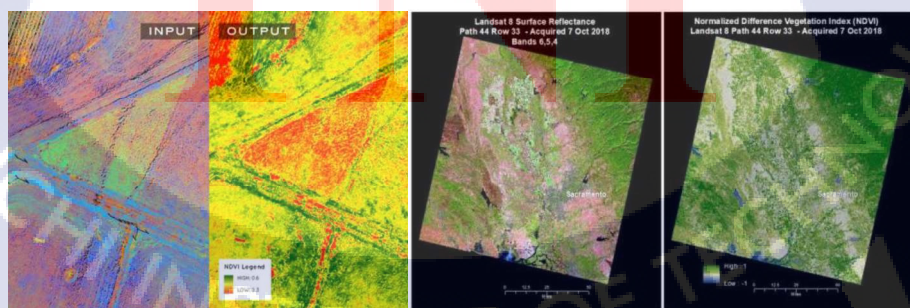
2.1.2.2 อินฟารेडใกล้ Near Infrared (NIR) [23] เป็นคลื่นแม่เหล็กไฟฟ้าที่ตาของมนุษย์ไม่สามารถมองเห็นได้ด้วยตาเปล่าโดยจะมีช่วงความยาวคลื่นอยู่ที่ประมาณ 700-1100 nm ทั้งนี้น้ำมีความสามารถในการดูดซับ NIR ได้ดีเยี่ยม ดังนั้นความยาวคลื่นในช่วงนี้จึงมีประโยชน์อย่างมากสำหรับการแยกและขอบเขตของพื้นที่แหล่งน้ำกับดินที่ไม่สามารถระบุได้ด้วย眼นคลื่นแสงที่ตาสามารถมองเห็น ในทางกลับกันพื้นที่ที่ไม่สามารถมองเห็น NIR อย่างมาก และในพื้นที่ที่มีสุขภาพและสภาพความเป็นอยู่ที่ดีจะมีการสะท้อน NIR ได้ดีกว่าพื้นที่ที่มีความเครียดสูง

2.1.3 ค่าดัชนีความต่างพืชพรรณ (Normalized Difference Vegetation Index : NDVI)

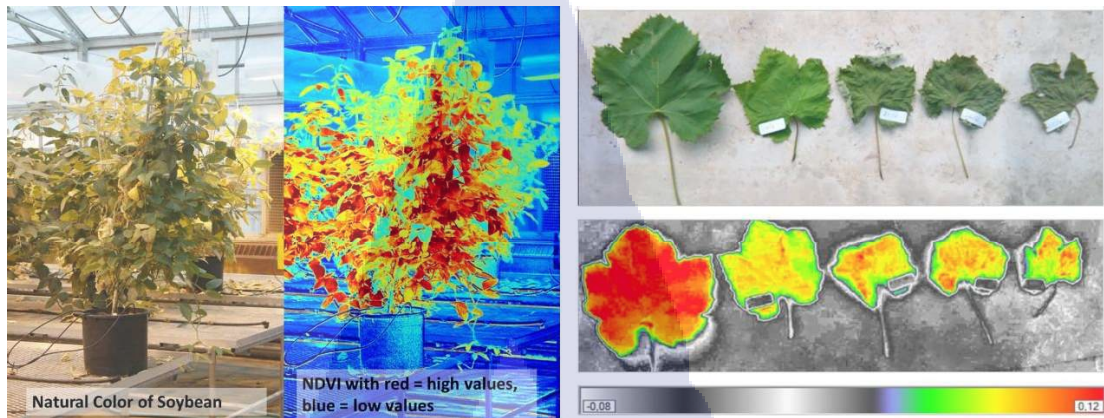
NDVI [24] เป็นการสังเคราะห์ข้อมูลขึ้นมาใหม่โดยใช้หลักการสะท้อนคลื่นแม่เหล็กไฟฟ้าที่พืชสะท้อนกลับออกมามา คลื่นแม่เหล็กไฟฟ้าจะมีความยาวคลื่นและความถี่แตกต่างกันออกໄไปในแต่ละประเภทได้แก่ คลื่นอัลตราไวโอเลต (200-315nm), คลื่นแสงที่ตามองเห็น (400-700nm), คลื่นอินฟราเรด (1mm-700nm), คลื่นไมโครเวฟ และคลื่นวิทยุ โดยในการคำนวณจะใช้การสะท้อนของคลื่นอินฟราเรดใกล้ Near Infrared (NIR) กับ แสงที่ตามนุษย์สามารถมองเห็น (Visible Light) ใน การคำนวณค่าของดัชนีความต่างพืชพรรณโดยที่ว่าไปแล้วเมื่อแสงตกกระทบไปไม่โดยมี Chlorophyll a และ Chlorophyll b ที่ทำหน้าที่ค่อยดูดซับแสงในช่วงสีแดงและนำเงินซึ่งจำเป็นต่อกระบวนการ สังเคราะห์ด้วยแสงเพื่อใช้ในการสร้างสารอาหารแก่พืช พร้อมกับสะท้อนแสงในช่วงสีเขียวออกมามา จึง เป็นเหตุผลว่าทำไมจึงมองเห็นพืชเป็นสีเขียว ในส่วนของคลื่นอินฟราเรดจะถูก Carotenoid สะท้อน กลับออกมามา ในสัดส่วนที่ค่อนข้างสูง พืชต่างชนิดต่างสายพันธุ์จะสะท้อนคลื่นแม่เหล็กไฟฟ้าในสัดส่วน ที่แตกต่างกันหรือพืชชนิดเดียวกันแต่มีอายุหรือความสมบูรณ์ต่างกัน การสะท้อนคลื่นแม่เหล็กไฟฟ้าก็ จะแตกต่างด้วยเช่นกันพืชที่สมบูรณ์จะมีการสะท้อน NIR มากกว่าคลื่นช่วงสีแดง และพืชในกลุ่มที่ไม่ สมบูรณ์จะมีการสะท้อนNIR น้อยกว่าหรือเท่ากับคลื่นช่วงสีแดงจากการสะท้อนที่แตกต่างกันข้างต้น จึงนำมาสู่การคำนวณสัดส่วนความแตกต่างระหว่าง 2 ช่วงคลื่นดังกล่าวโดยใช้สมการดังนี้ [25][26]

$$\text{NDVI} = \frac{\text{NIR} - \text{RED}}{\text{NIR} + \text{RED}} \quad (1)$$

ซึ่งภาพถ่าย NDVI ส่วนใหญ่จะถูกสังเคราะห์ขึ้นมาจากภาพถ่ายมุมสูงหรือภาพถ่าย ดาวเทียมเพื่อใช้ในการตรวจสอบการมีอยู่ของพืชในพื้นที่ที่ทำหากส่วนราชการ หรือสำรวจความหนาแน่น ของพืชจากภาพมุมสูงดังภาพที่ 2.7 และ มีการนำ NDVI นำมาประยุกต์ใช้ภายในโรงพยาบาลเพื่อใช้ในการตรวจสุขภาพของพืช หรือ ใช้ในการตรวจสอบการสังเคราะห์แสงของพืช ดังรูปที่ 2.8



รูปที่ 2.7 ภาพ NDVI เพื่อใช้ในการบ่งบอกถึงความหนาแน่นของพืช [27][28]



รูปที่ 2.8 ภาพ NDVI เพื่อใช้ในการตรวจสอบสุขภาพและการสังเคราะห์แสงของพืช [29][30]

มีงานวิจัยสรุปอุปกรณ์แล้วว่าค่าดัชนีความต่างพืชพรรณนั้นมีความลับพันธุ์อย่างมากต่อการสังเคราะห์ด้วยแสงของพืชจากการวัดปริมาณการตระหง่าน CO₂ เทียบกับดัชนีความต่างพืชพรรณ ในการณ์ที่เป็นภาพถ่ายที่ได้มาจากการที่มีความสามารถในการถ่ายภาพคลื่นแม่เหล็กไฟฟ้า NIR สมการของค่าดัชนีความต่างพืชพรรณจะเป็นดังสมการที่ 3 ที่กล่าวไปแล้วข้างต้น แต่เนื่องด้วยอุปกรณ์ที่ใช้ในการวัดค่าครั้งนี้เป็นกล้องที่มีความสามารถถ่ายภาพคลื่นแสงในช่วง NIR ได้แล้วมีการเพิ่มพิวเตอร์สีน้ำเงินบริเวณหน้าเลนส์เพื่อกรองแสงย่างที่ไม่ต้องการออกไปจากภาพที่จะนำไปประมวลผล ทำให้ต้องมีการเปลี่ยนแปลงสมการที่ใช้คำนวณเนื่องด้วยกล้องที่ถ่ายนั้นคลื่นแสงในช่วง NIR จะเก็บอยู่ในส่วนของเซลล์รับแสงสีแดง และเนื่องจากได้ทำการเพิ่มพิวเตอร์สีน้ำเงินเข้าไปทำให้เหลือแต่แสงสีน้ำเงินเท่านั้นที่ผ่านเข้ามายังเซลล์รับแสงของกล้องได้ ทำให้สมการเปลี่ยนเป็น [31]

$$\text{NDVI} = \frac{\text{RED} - \text{BULE}}{\text{RED} + \text{BULE}} \quad (2)$$

โดยที่ค่าของ NDVI นั้นจะมีค่าตั้งแต่ -1 ถึง 1 ยิ่งค่า NDVI เข้าใกล้ 1 มาเท่าใดแสดงว่าบริเวณนั้นมีพืชอยู่อย่างหนาแน่น แสดงถึงพืชมีสุขภาพที่ดี หรือแสดงถึงการสังเคราะห์แสงที่ดีของพืช



รูปที่ 2.9 ช่วง NDVI ที่แสดงถึงสุขภาพพืช [32]

2.1.4 การเรียนรู้ของเครื่องและอัลกอริทึมที่เกี่ยวข้อง (Machine Learning and Algorithms)

2.1.4.1 รูปแบบของข้อมูล

โดยทั่วไปแล้วข้อมูลที่สามารถนำมาวิเคราะห์ได้นั้นจะต้องเป็นข้อมูลแบบมีโครงสร้าง (Structured Data) หรืออยู่ในรูปแบบของตาราง เช่น ข้อมูลของสมาชิก ข้อมูลการซื้อขาย โดยส่วนใหญ่จะเก็บอยู่ในฐานข้อมูลเชิงสัมพันธ์ (Relational Databases) ซึ่งจะเป็นรูปแบบของตารางข้อมูลที่มีความสัมพันธ์ต่อกัน แต่ในยุคปัจจุบันโลกได้ก้าวเข้าสู่ยุคของบิ๊ก ดาต้า (Big Data) ซึ่งมีข้อมูลอย่างมากตามมาหากาลแต่ข้อมูลเหล่านี้มักจะไม่มีโครงสร้าง หรือก็คือข้อมูลแบบไม่มีโครงสร้าง (Unstructured Data) เช่น วิดีโอ, รูปภาพ, หรือข้อความต่างๆ ที่อยู่ในเครือข่ายสังคมออนไลน์ (Social Network) ต่างๆ ไม่ว่าจะเป็น Facebook, Twitter, หรือ Instagram หากต้องนำข้อมูลที่ไม่มีโครงสร้างเหล่านี้ไปทำการวิเคราะห์ จะเป็นจะต้องทำการแปลงสภาพข้อมูลให้เป็นรูปแบบของข้อมูลแบบมีโครงสร้าง หรือให้อยู่ในรูปแบบตารางเสียก่อน

(1) ข้อมูลแบบมีโครงสร้าง (Structured Data) [33]

ข้อมูลแบบมีโครงสร้างเป็นข้อมูลทั่วๆ ไป ที่สามารถพับเห็นในรูปแบบของตาราง โดยปกติแล้วข้อมูลเหล่านี้มักจะเก็บอยู่ในรูปแบบของ Microsoft Excel หรืออยู่ภายในฐานข้อมูลต่างๆ ซึ่งจะประกอบด้วยแถว (Row) และคอลัมน์ (Column) ในทางด้านเทคนิคของ Data Mining จะเรียกข้อมูลในแต่ละ แถว ว่าเป็น ตัวอย่าง (Example) หรือ อินสแটนซ์ (Instance) และข้อมูลในส่วนของ คอลัมน์ จะเรียกว่า แอตทริบิวต์ (Attribute) หรือ ฟีเจอร์ (Feature)

(2) ข้อมูลแบบไม่มีโครงสร้าง (Unstructured Data) [34]

ดังที่กล่าวไปข้างต้นข้อมูลประเภท ข้อความ, รูปภาพ, เสียง, หรือวิดีโอ นั้น ล้วนเป็นข้อมูลที่ไม่มีโครงสร้าง ซึ่งข้อมูลในส่วนนี้จะมีปริมาณที่มหาศาลมากตามการเติบโตของโลก สังคมออนไลน์ เราจึงต้องทำการแปลงไปให้อยู่ในรูปแบบที่มีโครงสร้างเพื่อง่ายต่อการวิเคราะห์ต่อไป เช่นข้อมูลที่เป็นข้อความยาวๆ ต้องทำการตัดออกมาเป็นคำๆ เพื่อดูแนวโน้มของข้อความนั้นว่าเป็น ข้อความที่แสดงถึงอารมณ์ของผู้เขียนว่าเป็นอย่างไร

2.1.4.2 เทคนิคการวิเคราะห์ข้อมูลด้วยดาต้า ไม่นิ่ง [35]

เทคนิคการวิเคราะห์ข้อมูลด้วย Data นั้นมีอยู่ด้วยกัน 2 ประเภทหลักๆ คือ

(1) เทคนิคการเรียนรู้แบบไม่มีผู้สอน (Unsupervised Learning)

เทคนิคการเรียนรู้แบบไม่มีผู้สอน หรือ Unsupervised Learning เป็น เทคนิคที่จะเน้นการพิจารณาข้อมูลเป็นหลัก เช่นการพิจารณาความสัมพันธ์ของข้อมูลมีลักษณะใดบ้าง Unsupervised Learning สามารถแยกย่อยลงไปได้อีก คือ เทคนิคการหากกฎความสัมพันธ์ (Association Rule) และ การแบ่งกลุ่มข้อมูล (Clustering) โดยงานวิจัยชิ้นนี้จะอธิบายเพียง การ แบ่งกลุ่มข้อมูลเท่านั้น ในหัวข้อที่ 2.1.4.3 การแบ่งกลุ่มข้อมูล (Clustering) ต่อไป

(2) เทคนิคการเรียนรู้แบบมีผู้สอน (Supervised Learning)

เทคนิคการเรียนรู้แบบมีผู้สอน หรือ Supervised Learning นั้นจะเน้นการ เรียนรู้จากข้อมูลที่มีอยู่ในอดีตเพื่อนำมาสร้างโมเดลใช้ในการทำนายหรือคาดการณ์สิ่งที่จะเกิดขึ้นใน อนาคต โมเดลในที่นี้ ไม่ว่าจะเป็นสมการทางคณิตศาสตร์ กฏต่างๆ ก็สามารถเป็นโมเดลเพื่อใช้ในการ ทำนายหรือคาดการณ์ได้ Supervised Learning นั้นสามารถแยกย่อยลงไปได้อีก คือ การจำแนก ประเภทข้อมูล (Classification) และ การประมาณค่าข้อมูล (Regression) โดยทั้ง 2 ประเภทนี้ จะมี ลักษณะคล้ายกัน แต่ผลลัพธ์ที่ได้จากการทำนายจะต่างกัน โดยที่ Classification นั้นคำตอบจะเป็น ประเภท นอมินอล (Nominal) เช่น ชื่อ, ประเภท, หรือชนิด ตามที่กำหนดเอาไว้ซึ่งเป็นคำตอบที่ไม่ใช่ ตัวเลข ส่วน Regression จะกลับกัน ผลการทำนายในส่วนของ Regression นั้นจะตอบกลับมาเป็น ตัวเลข เช่น ราคา, ปริมาณการสะสมของแก๊สต่อปี เป็นต้น

2.1.4.3 การแบ่งกลุ่มข้อมูล (Clustering) [36]

เทคนิคการแบ่งกลุ่มข้อมูล หรือที่เรียกว่า คลัสเตอร์ing (Clustering) เทคนิคนี้จะ จัดอยู่ในประเภทการเรียนรู้แบบไม่มีผู้สอน Unsupervised Learning เป็นการจัดข้อมูลออกเป็นกลุ่ม ย่อลักษณะความคล้านคลึงกันของตัวข้อมูล โดยต้องการให้ข้อมูลที่อยู่ในกลุ่มเดียวกันมีความ คล้ายคลึงกันมากที่สุดและข้อมูลที่อยู่ต่างกลุ่มกันมีความแตกต่างกันมากที่สุด วิธีการแบ่งกลุ่มข้อมูล นั้นมีหลากหลายวิธีซึ่ง ในงานวิจัยชิ้นนี้จะเลือก วิธีการแบ่งข้อมูลด้วย K-Means

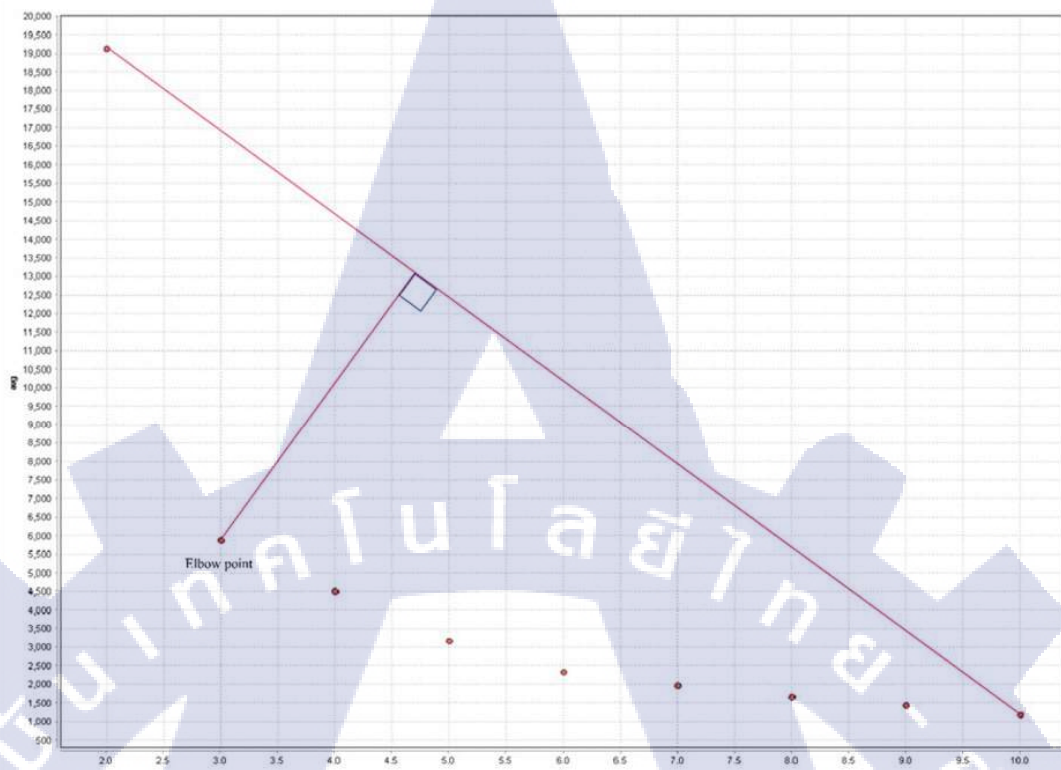
(1) เทคนิคการแบ่งกลุ่มข้อมูลด้วย K-Means

เทคนิค K-Means นั้นเป็นเทคนิคที่นิยมใช้ในการแบ่งกลุ่มข้อมูล ซึ่งจะแบ่งกลุ่มออกเป็นจำนวน K Cluster ตามที่ผู้ใช้งานกำหนดขึ้นมา โดยใช้วัดระยะห่างระหว่างข้อมูลแต่ละตัวกับจุดศูนย์กลาง หรือที่เรียกว่า Centroid ของแต่ละ Cluster ซึ่ง Centroid ในแต่ละ Cluster นั้นคือค่าเฉลี่ยของแต่ละ Attribute ของข้อมูล โดยขั้นตอนการแบ่งข้อมูลด้วยเทคนิค K-Means นั้นแบ่งออกเป็น 5 ขั้นตอน ดังนี้

- กำหนดจุดศูนย์กลาง (Centroid) ของแต่ละ Cluster โดยทำการสุ่มให้มีตามจำนวน K ที่กำหนด
- คำนวณระยะห่างระหว่างข้อมูลแต่ละตัวเทียบกับ Centroid ของแต่ละ Cluster ที่ได้มาจากการขั้นตอนแรก
- กำหนดให้ข้อมูลอยู่ใน Cluster ที่ใกล้กับ Centroid ของ Cluster นั้น
- คำนวณหา Centroid ของแต่ละ Cluster ใหม่อีกครั้ง
- ทำซ้ำขั้นตอนที่ 2 และ 3 จนกว่าข้อมูลทุกตัวอยู่ใน Cluster เดิมหรือจนกว่าครบตามจำนวนรอบที่กำหนด

(2) การวัดประสิทธิภาพ การแบ่งกลุ่มข้อมูลด้วย K-Means

สามารถทำการวัดประสิทธิภาพได้โดยการ คำนวณหาค่าเฉลี่ยระยะห่างของทุกจุดจาก Centroid ในแต่ละ Cluster ที่กำหนด พร้อมทั้งปรับเปลี่ยนจำนวนกลุ่มของ Cluster แล้วนำมาคำนวณหาค่าเฉลี่ยระยะห่างของทุกจุดจาก Centroid ในแต่ละ Cluster จากนั้นจึงนำมาสร้างกราฟระหว่างจำนวนกลุ่มข้อมูลของ Cluster (ค่า K) แกน x เทียบกับค่า ค่าเฉลี่ยระยะห่างของทุกจุดจาก Centroid ในแต่ละ Cluster ซึ่งอยู่ในแกน y จำนวนกลุ่มที่เหมาะสมที่สุดจะเป็น Elbow Point [37] ซึ่งหาได้จากการลากเส้นตรงระหว่างจุดสูงสุดและสุดต่ำสุด จากนั้นจึงหาระยะห่างระหว่างเส้นตรงดังกล่าวจุดที่เหลือ โดยลากเส้นตั้งฉากระหว่างเส้นตรงกับจุดที่เหลือ จุดใดที่มีระยะทางมากที่สุด จุดนั้นคือ Elbow Point ซึ่งจะบ่งบอกถึงค่า K (จำนวน Cluster) ที่เหมาะสมที่สุด ดังรูปที่ 2.10



รูปที่ 2.10 Elbow Point

2.1.4.4 การจำแนกประเภทข้อมูล (Classification) [38]

เทคนิคแบบ Classification จำแนกข้อมูลจากในอดีตมาสอนระบบให้เกิดการเรียนรู้รูปแบบที่เกิดขึ้นในข้อมูลแล้วจึงนำมาสร้างเป็นสมการหรือโมเดล (Model) ขึ้นมาเพื่อใช้ค้นหาคำตอบสำหรับข้อมูลใหม่ที่นำมาใช้ในการคำนวณ คำตอบที่เป็นประเภทของค่าต่างๆ ในการวิเคราะห์ข้อมูลจะเรียกว่า คลาส (Class) หรือ ลาเบล (Label)

(1) ขั้นตอนการสร้างโมเดล

ขั้นตอนนี้เป็นขั้นตอนแรกในการจำแนกประเภทข้อมูล โดยการนำข้อมูลสำหรับใช้ในการเรียนรู้ (Training Data) มาสร้างโมเดลขึ้นด้วยการเทคนิคการเรียนรู้ของเครื่อง (Machine Learning) โดยการจำแนกประเภทข้อมูล (Classification) เช่น Random Forest, Naïve Bayes และ Neural Network เป็นต้น

ในการ Classification นั้นจำเป็นที่จะต้องมีข้อมูลที่ใช้สำหรับการเรียนรู้ (Training Data) เพื่อให้คอมพิวเตอร์เกิดการเรียนรู้จากตัวอย่างของข้อมูลที่ป้อนให้ โดยที่ Training Data คือชุดข้อมูลที่มีอยู่แล้วในอดีตซึ่งประกอบไปด้วย 2 ส่วนนั้นคือ แอตทริบิวต์ที่ว่าไปและแอตทริบิวต์ที่เป็น ลาเบล คำตอบที่สนใจ และสิ่งที่ควรจะคำนึงถึงเป็นอย่างยิ่งคือแอตทริบิวต์ที่ว่าไปจะต้องมี

ความสัมพันธ์กับกับแอ็ตทริบิวต์ที่เป็น ลabeL คำตอบจึงจะทำให้โมเดลที่สร้างขึ้นมานั้นมีประสิทธิภาพ และความน่าเชื่อถือมาก

(2) ขั้นตอนการทดสอบประสิทธิภาพของโมเดล

เมื่อสร้างโมเดลขึ้นมาได้แล้ว ขั้นตอนถัดไปก็คือ ต้องนำมาทำการวัด ประสิทธิภาพของโมเดลที่สร้างขึ้นมาได้ ซึ่งในงานวิจัยขึ้นนี้จะยกล่าวในหัวข้อที่ 3.3 การแบ่งข้อมูล เพื่อใช้ในการวัดประสิทธิภาพของโมเดลการจำแนกประเภทข้อมูลและหัวข้อที่ 3.4 การเรียนรู้ของ เครื่อง ต่อไป

(3) ขั้นตอนนำโมเดลไปใช้งานเพื่อทำนายข้อมูลใหม่

เมื่อทำการวัดประสิทธิภาพของโมเดลแล้วพบว่าผลเป็นที่น่าพอใจและ น่าเชื่อถือแล้วนั้น จึงจะสามารถนำโมเดลที่สร้างได้มานั้นไปใช้ในการทำนายข้อมูลที่นำเข้ามาใหม่

2.1.4.5 ตัววัดประสิทธิภาพของโมเดลการจำแนกประเภทข้อมูล

(1) Confusion Matrix

Confusion Matrix มีรูป่างหน้าตาเป็นตารางแบบจัตุรัสโดยจะมีจำนวน แฉวเท่ากับจำนวนคอลัมน์และเท่ากับจำนวนคลาสโดยข้อมูลที่อยู่ในด้านคอลัมน์คือ คลาสที่อยู่ในชุด Training Data (Actual) แบบข้อมูลในแทร คือ คลาสที่ทำนายมาได้ (Prediction)

ตารางที่ 2.1 Confusion Matrix

| Prediction/Actual | Yes | No |
|-------------------|-----|----|
| Yes | TP | FP |
| No | FN | TN |

จากตารางที่ 2.2 ค่าที่แสดงอยู่ในช่องต่างๆของตารางจะประกอบไปด้วย

- 1) True Positive (TP) คือ จำนวนข้อมูลที่ทำนายคำตอบถูกกว่าเป็นคลาสที่กำลังสนใจอยู่
- 2) True Negative (TN) คือ จำนวนข้อมูลที่ทำนายคำตอบถูกกว่าเป็นคลาสที่ไม่ได้สนใจอยู่
- 3) False Positive (FP) คือ จำนวนข้อมูลที่ทำนายผิดมาเป็นคลาสที่กำลังสนใจอยู่
- 4) False Negative (FN) คือ จำนวนข้อมูลที่ทำนายผิดมาเป็นคลาสที่ไม่ได้สนใจอยู่

(2) Precision

Precision เป็นการวัดความแม่นยำของโมเดล โดยพิจารณาแยกทีละคลาส โดยมีสมการดังนี้

$$\text{Precision} = \frac{\text{True Positive}}{\text{True Positive} + \text{False Positive}} \quad (3)$$

(3) Recall

Recall เป็นการวัดความถูกต้องของโมเดล โดยพิจารณาแยกทีละคลาส โดย มีสมการดังนี้

$$\text{Recall} = \frac{\text{True Positive}}{\text{True Positive} + \text{False Negative}} \quad (4)$$

(4) F-measure

F-measure เป็นการวัดค่า Precision และ Recall ของโมเดลพร้อมกัน โดยจะพิจารณาแยกทีละคลาส มีสมการเป็น

$$F - \text{measure} = \frac{2 \times \text{Precision} \times \text{Recall}}{\text{Precision} + \text{Recall}} \quad (5)$$

(5) Accuracy

Accuracy เป็นการวัดค่าความถูกต้องของโมเดล โดยพิจารณาร่วมทุกคลาส มีสมการเป็น

$$\text{Accuracy} = \frac{\text{True Positive} + \text{True Negative}}{\text{True Positive} + \text{True Negative} + \text{False Positive} + \text{False Negative}} \quad (6)$$

2.1.4.6 การแบ่งข้อมูลเพื่อใช้ในการวัดประสิทธิภาพของโมเดลการจำแนกประเภทข้อมูล

ในการวัดประสิทธิภาพที่ได้ก่อร่างไว้แล้วในข้างต้นจำเป็นที่จะต้องแบ่งข้อมูลออกเป็น 2 ส่วนด้วยกัน นั่นคือส่วนที่ 1 ใช้เพื่อสร้างโมเดล และส่วนที่ 2 ใช้ในการทดสอบโมเดล เพื่อให้โมเดลทำนายค่าคลาสคำตอบของมา การแบ่งข้อมูลเพื่อทำการทดสอบมีอยู่ 3 วิธีการใหญ่ดังนี้

(1) Set Consistency Test

วิธี Set Consistency Test หรือที่เรียกว่า Use Training Set นั้นเป็นวิธีที่ง่ายที่สุดในการแบ่งข้อมูลเพื่อทดสอบประสิทธิภาพ โดยข้อมูลที่ใช้ในการสร้างโมเดลและข้อมูลที่ใช้ในการทดสอบนั้นเป็นข้อมูลชุดเดียวกัน กระบวนการนี้เริ่มจากการสร้างโมเดลด้วย Training Data หลังจากนั้นจึงนำโมเดลที่ได้มาทำการทำนายด้วยข้อมูลชุดเดิม ซึ่งผลการวัดที่ได้นั้นไม่เหมาะสมที่จะนำไปรายงานในผลการวิจัยต่างๆ ซึ่งวิธีการนี้เหมาะสมแก่การใช้สำหรับทดสอบประสิทธิภาพเพื่อดูแนวโน้มของโมเดลที่สร้างขึ้น ถ้าได้ผลการวัดที่น้อยแสดงว่าโมเดลไม่เหมาะสมกับข้อมูล จึงไม่ควรนำไปใช้ทดสอบด้วยวิธีการแบ่งข้อมูลแบบต่างๆ

(2) Split Test

วิธีการ Split Test นั้นเป็นการแบ่งข้อมูลออกเป็น จำนวน 2 ส่วนด้วยกัน ส่วนแรกจะเป็นส่วนที่ใช้ในการเทรน หรือคือ Training Data ส่วนที่สองนั้นจะเป็นข้อมูลที่ใช้ในการทดสอบ (Test Data) โดยปกติแล้วจะแบ่งกันในอัตราส่วน 70 เปอร์เซ็นต์ ต่อ 30 เปอร์เซ็นต์ หรือ 80 เปอร์เซ็นต์ ต่อ 20 เปอร์เซ็นต์ ซึ่งการแบ่งแบบนี้เป็นที่นิยมกันอย่างแพร่หลาย เพื่อใช้ในการทดสอบประสิทธิภาพโมเดล แต่การทดสอบแบบ Split Test นั้นเป็นการสุ่มข้อมูลเพียงครั้งเดียวซึ่งในบางครั้งถ้าการสุ่มข้อมูลที่ใช้ในการทดสอบมีลักษณะที่คล้ายกับข้อมูลที่ใช้ในการสร้างโมเดลทำให้ผลการวัดออกมากดี ในทางตรงข้ามถ้าการสุ่มข้อมูลที่ใช้ในการทดสอบมีลักษณะที่แตกต่างจากข้อมูลที่ใช้ในการเรียนรู้เพื่อสร้างโมเดลมากจะส่งผลให้ประสิทธิภาพแย่ลงอย่างมาก ดังนั้นจึงควรทำการ Split Test หลายครั้งเพื่อเพิ่มความแม่นยำและความหลากหลายของข้อมูลที่ใช้ในการสร้างโมเดล ข้อดีของวิธีการนี้คือ ใช้เวลาในการสร้าง โมเดลน้อยซึ่งหมายความว่ามีขนาดใหญ่มาก

(3) Cross-validation Test

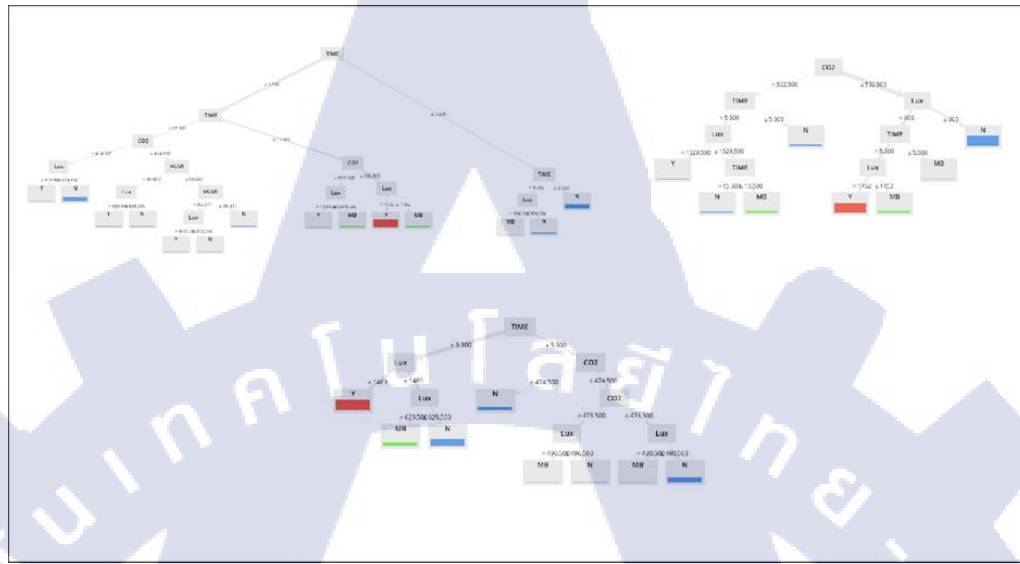
Cross-validation Test นั้นเป็นวิธีที่นิยมใช้กันอย่างแพร่หลายในการทดสอบประสิทธิภาพ ของโมเดลเนื่องจากผลที่ได้มีความน่าเชื่อถือ การวัดประสิทธิภาพด้วยวิธีการ Cross-validation นั้นจะทำการแบ่งย่อยข้อมูลออกเป็นหลายส่วนด้วยกัน โดยแต่ละส่วนจะมีจำนวนข้อมูลเท่ากัน ส่วนใหญ่จะแบ่งออกเป็น 10 ส่วน หลังจากนั้นข้อมูลหนึ่งส่วนจะใช้เป็นตัวทดสอบประสิทธิภาพของโมเดล ทำงานซ้ำไปเรื่อยๆ จนครบตามจำนวนที่แบ่งเอาไว้

2.1.4.7 อัลกอริทึม (Algorithms) [39]

(1) แรนdomฟอร์เรส (Random Forest)

Random Forest [40] เป็นอังกอริทึมที่พัฒนาต่ออดมาจาก Decision Tree [41] ซึ่งจะเป็นการจำแนกแบบไม่ตัดกิ่งของต้นไม้ทั้ง หรือที่เรียกว่าต้นไม้สดโดย ซึ่งถูกสร้างจากการนำข้อมูลที่ใช้ในการเรียนรู้ไปสุมเลือกตัวอย่างข้อมูลและคุณลักษณะข้อมูลแล้วจึงนำมาสร้างเป็น Decision Tree ซึ่งจะมีตัวอย่างที่ไม่ถูกเลือกโดยจะเรียกข้อมูลในส่วนนี้ว่า Out-of-Bag (OOB)

จะถูกนำมายังตัดสินใจ Decision Tree ที่สร้างขึ้นมาได้แล้วจึงนำผลทำนายที่ได้มาทำการโหวต (Vote) เพื่อหาคำตัดสินใจที่ดีที่สุดท้าย



รูปที่ 2.11 Random Forest

(2) นาϊฟ์เบย์ (Naïve Bayes)

การจำแนกประเภทข้อมูลด้วยวิธี Naïve Bayes [42] เป็นอีกวิธีการนึงที่นิยมใช้เนื่องจากการสร้างโมเดลที่ง่ายและไม่ซับซ้อน โดยอาศัยทฤษฎีความน่าจะเป็น (Probability) เป็นหลักดังสมการ

$$P(A|B) = \frac{P(A \cap B)}{P(B)} \quad (7)$$

โดยที่

$P(A|B)$ คือ ค่า Conditional Probability หรือค่าความน่าจะเป็นที่เกิดเหตุการณ์ B ขึ้น ก่อนแล้วจึงเกิดเหตุการ A ตามมา

$P(A \cap B)$ คือ ค่า Joint Probability หรือค่าความน่าจะเป็นที่เหตุการณ์ A และเหตุการณ์ B เกิดร่วมกัน

$P(B)$ คือ ค่าความน่าจะเป็นที่เกิดขึ้น

ในลักษณะเดียวกันนั้นสามารถเขียนสมการให้ความน่าจะเป็นที่เหตุการณ์ A เกิดขึ้นก่อนเหตุการณ์ B หรือ $P(B|A)$ ได้เป็น

$$P(B|A) = \frac{P(A \cap B)}{P(A)} \quad (8)$$

จากสมการทั้ง 2 แบบ จะสังเหตุเห็นได้ว่ามี ตัวแปร $P(A \cap B)$ ที่เหมือนกันอยู่ด้วยนั่นจึงสามารถเขียนสมการของ $P(A \cap B)$ ได้เป็น

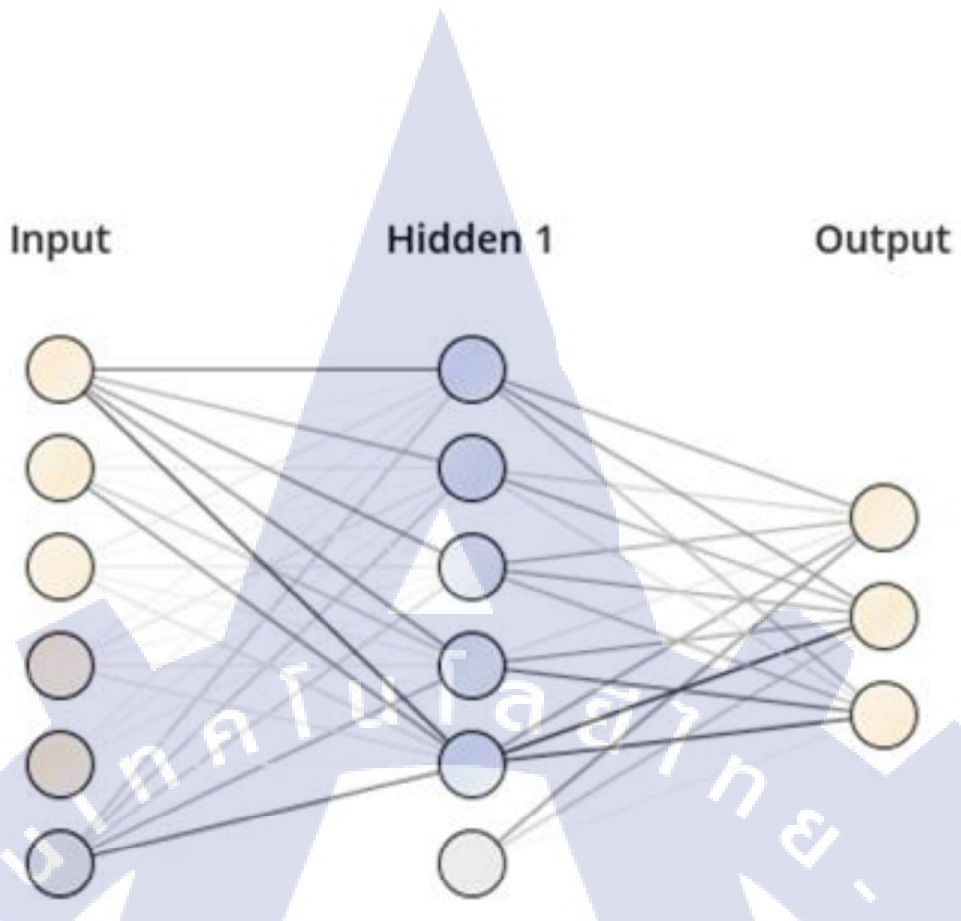
$$P(B|A) = \frac{P(A|B) \times P(B)}{P(A)} \quad (9)$$

สมการที่ 9 ซึ่งแสดงถึงการสมการที่เป็นทฤษฎีของเบย์ในการนำไปใช้งานเพื่อจำแนกประเภทข้อมูล

(3) โครงข่ายประสาทเทียม (Neural Network)

Neural Network [43] หรือ Multi-layer Perceptron เป็นอีกหนึ่งวิธีที่นิยมใช้กันอย่างแพร่หลายเนื่องจากให้ประสิทธิภาพที่ดีกว่าวิธีที่กล่าวไปข้างต้น แต่การแปลความหมายจากโมเดล Neural Network นั้นยากมากเนื่องจากเป็นสมการคณิตศาสตร์นั้นสูงที่ซับซ้อน ข้อดีของ Neural Network นั้นมีข้อดีตรงที่สามารถทำนายข้อมูลที่เป็นทั้ง Classification และ Regression ได้ วิธีการของ Neural Network นั้นเป็นวิธีการที่เลียนแบบการทำงานของสมองมนุษย์ซึ่งจะประกอบด้วยประสาทหลายหน่วยที่เชื่อมต่อกันเป็นระบบประสาทขึ้นมา หรือเรียกในชื่อภาษาไทยว่า โครงข่ายประสาทเทียม





รูปที่ 2.12 Neural Network

จากรูปที่ 2.12 แสดงให้เห็นถึงโครงสร้างของ Neural Network ซึ่งประกอบไปด้วยโหนด และเส้นเชื่อมโยงในแต่ละโหนด เมื่อพิจารณาจากการวางแผนของโหนดแล้วจะแบ่งออกมาได้เป็น 3 ชั้น (Layer) นั้นคือ

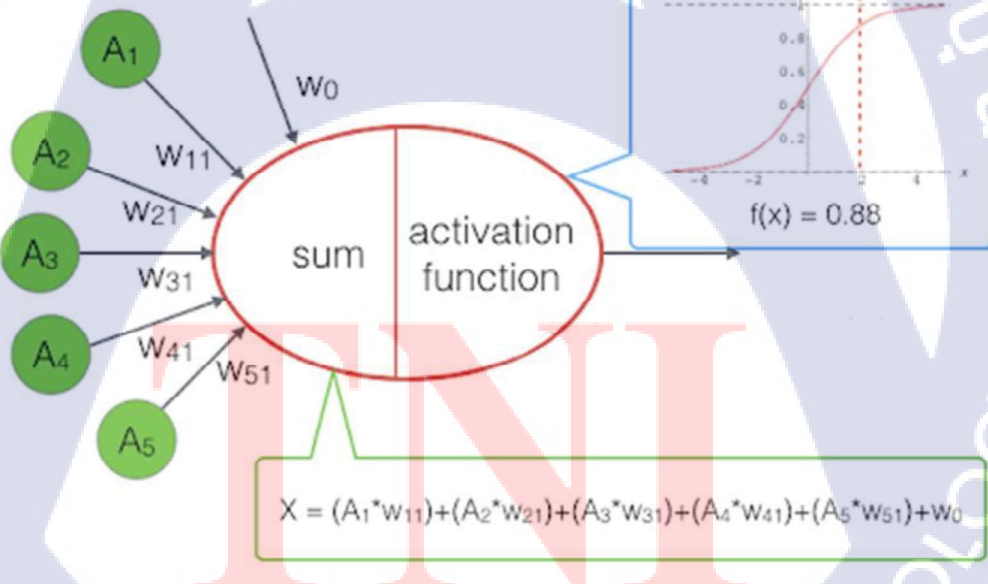
- ชั้นที่ 1 จะเรียกว่า Input Layer ประกอบไปด้วยโหนดซึ่งจะแสดงถึง Attribute ต่างๆที่อยู่ภายใน Training Data ที่ใช้ในการเรียนรู้เพื่อสร้างโมเดล
- ชั้นที่ 2 จะเรียกว่า Hidden Layer ประกอบไปด้วยโหนดต่างๆซึ่งจำนวนของโหนดในชั้นนี้โดยปกติแล้วจะเท่ากับจำนวน Attribute ทั้งหมดหารด้วย 2
- ในชั้นที่ 3 จะเรียกว่า Output Layer ประกอบไปด้วยโหนดที่เป็นคำตอบ หรือ Class ในกรณีที่ข้อมูลที่ต้องการทำนายเป็นแบบ Classification หากเป็นกรณีที่ต้องการผลการทำนายที่เป็นตัวเลขนั้นจะมีโหนด Output Layer เพียงโหนดเดียวเท่านั้น โดยระหว่างชั้นจะเห็นถึงเส้นเชื่อมโยงระหว่างโหนดต่างๆ และมีค่าน้ำหนักปรากฏอยู่ด้วย การสร้างโมเดลของ Neural Network จะอาศัยการปรับตัวของค่าน้ำหนักระหว่างใน

แต่ละโหนดจะคำนวณค่าผลรวมของตัวแปรที่ได้รับจากโหนดชั้นก่อนหน้าแล้วนำมารวบกันเป็นค่าผลรวม (Sum) น้อยที่สุด การทำงานในแต่ละโหนดของ Neural Network ที่อยู่ในชั้น Hidden Layer และ Output Layer จะประกอบด้วย 2 ส่วนคือ

- ส่วนคำนวณค่าผลรวม (Sum) ในส่วนนี้จะนำค่าของโหนดที่เชื่อมโยงกันอยู่เข้ามาคูณกับค่าน้ำหนักในแต่ละเส้นเชื่อมโยงแล้วจึงนำมารวมกันเป็นค่าสุดท้าย ตัวอย่างเช่น $X = w_{11}a_1 + w_{21}a_2 + w_{31}a_3 + w_{41}a_4 + w_{51}a_5 + w_0$
- ส่วนคำนวณค่าที่ส่งออกโดยผ่าน Activate Function ซึ่งพังก์ชันส่วนใหญ่ที่ใช้นั้นคือ Sigmoid Function ซึ่งมีลักษณะที่คล้ายคลึงกับตัวอักษร S โดยมีสมการคณิตศาสตร์ดังนี้

$$\frac{1}{1 + e^{-x}} \quad (10)$$

โดยที่ X คือ ค่าของผลรวมที่ได้มาจากการส่วนแรก



รูปที่ 2.13 แสดงการทำงานภายในโหนดชั้น Hidden Layer [44]

การคำนวณหาค่าความคลาดเคลื่อน (Error) ที่เกิดขึ้นในโหนดต่างๆ ของชั้น Hidden Layer นั้นสามารถคำนวณได้จากการที่ 11 ดังนี้

$$\text{Error}_i = \text{Output}_i(1 - \text{Output}_i) \sum_{j=1}^N \text{Error}_j \times w_{ij} \quad (11)$$

โดยที่ Error_i คือค่าความคลาดเคลื่อนของโหนดที่ i ในชั้น Hidden ค่า Error_j คือค่าความคลาดเคลื่อนของโหนดที่ j ในชั้น Output และ w_{ij} คือค่าน้ำหนักของเส้นเชื่อมระหว่างโหนด i และโหนด j

หลักจากที่คำนวณค่า Error ของโหนดใน Hidden Layer เรียบร้อยแล้ว ต้องย้อนกลับมาปรับค่าน้ำหนักของเส้นเชื่อมโดยระหว่างโหนดในชั้น Input Layer และ Hidden Layer อีกครั้งตามสมการที่ 12

$$w_{ij} = w_{ij} + l \times \text{Error}_j \times \text{Output}_i \quad (12)$$

โดยที่ w_{ij} คือค่าน้ำหนักของเส้นเชื่อมระหว่างโหนด i และโหนด j ตัวแปร l คือค่า Learning Rate เป็นตัวกำหนดว่าจะปรับเปลี่ยนค่าน้ำหนักได้เร็วหรือช้าแค่ไหน

(4) Ensemble Classifiers [45]

เทคนิคแบบ Ensemble นั้นจะเป็นการนำโมเดลที่ใช้ในการ Classification หลายแบบมาช่วยกันในการหาคำตอบหรือทำนายผลลัพธ์ให้กับข้อมูล ทำให้มีประสิทธิภาพดีกว่าการใช้โมเดล Classification เพียงชนิดเดียวในการทำนาย โดยในงานวิจัยนี้ได้ใช้เทคนิค Ensemble แบบ Vote กล่าวคือเป็นการรวมผลการทำนาย จากโมเดลต่างๆ ที่เป็น Independent ต่อกันโดยการโหวตเพื่อถูกคำตอบที่เหมือนกันมากที่สุดเพื่อให้ง่ายต่อการเข้าใจกล่าวคือเป็นโมเดลที่ใช้หลักการประชาธิปไตยในการตัดสินใจ

2.1.4.8 กระบวนการวิเคราะห์ข้อมูลด้วย CRISP-DM [46]

CRISP-DM ถูกพัฒนาขึ้นในปี 1996 จากการร่วมมือกันของ 3 บริษัทได้แก่ Daimler Chrysler, SPSS, และ NCR ซึ่งเป็นกระบวนการมาตรฐานในการวิเคราะห์ข้อมูลด้าน Data Mining ซึ่งเรียกชื่อกระบวนการนี้ว่า Cross-Industry Standard Process for Data Mining มีตัวย่อคือ CRISP-DM [46] กระบวนการ CRISP-DM นั้นจะประกอบไปด้วย 6 ขั้นตอนดังนี้

(1) Business Understanding

เป็นขั้นตอนแรกในกระบวนการ CRISP-DM ซึ่งจะเน้นไปที่การทำความเข้าใจปัญหาและแปลงปัญหานั้นให้อยู่ในรูปของโจทย์การวิเคราะห์ข้อมูลทาง Data Mining พร้อมทั้งวางแผนการคร่าวๆ

(2) Data Understanding

ขั้นตอนนี้เริ่มจากการเก็บรวบรวมข้อมูลจากแหล่งต่างๆ ข้อมูลที่เกี่ยวข้อง และทำการตรวจสอบข้อมูลที่ได้รวบรวมมาเพื่อดูความถูกต้องของข้อมูล พร้อมทั้งพิจารณาว่าจะใช้ข้อมูลทั้งหมดที่มีหรือจะใช้เฉพาะข้อมูลบางส่วนมาใช้ในการวิเคราะห์

(3) Data Preparation

ในขั้นตอนนี้เป็นแปลงข้อมูลที่ได้ทำการเก็บรวบรวมมาจากขั้นตอนที่แล้ว ซึ่งเป็น Raw Data ให้กลายเป็นข้อมูลที่สามารถนำไปวิเคราะห์ในขั้นตอนถัดไปได้ โดยการแปลงข้อมูลนี้จะต้องทำการทำความสะอาดข้อมูล (Cleaning) เพื่อป้องกันการตกหล่นหรือป้องกันข้อมูลที่ผิดพลาดออกจากวิเคราะห์

(4) Modeling

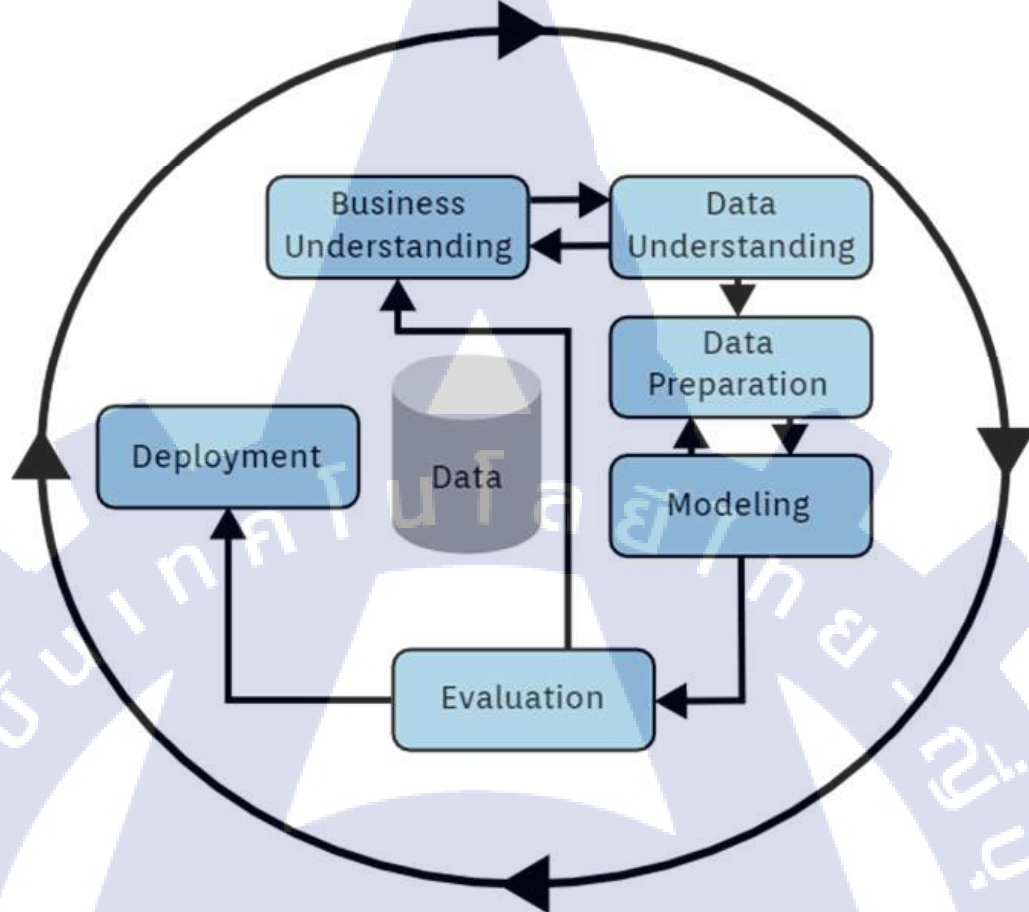
ในขั้นตอนนี้จะเป็นการวิเคราะห์ข้อมูลด้วยเทคนิค Classification, Regression, หรือ Clustering ที่ได้กล่าวไปข้างต้น ซึ่งในขั้นตอนนี้เทคนิคในการวิเคราะห์ต่างๆ ที่กล่าวไปจะถูกนำมาใช้เพื่อให้ได้มาซึ่งคำตอบที่ดีที่สุด ดังนั้นในบางกรณีอาจต้องย้อนกลับไปทำขั้นตอน Preparation ใหม่อีกรอบหนึ่ง เพื่อจัดการแปลงข้อมูลให้เหมาะสมกับในแต่ละเทคนิค

(5) Evaluation

ขั้นตอนนี้เราจะได้ผลการวิเคราะห์ข้อมูลด้วยเทคนิค Data Mining มาแล้ว ก่อนที่จะนำผลลัพธ์ที่ได้ไปใช้งานต้องมีการวัดประสิทธิภาพของโมเดลที่ได้ด้วยว่าตรงกับวัตถุประสงค์ที่ตั้งไว้ในขั้นตอนแรกหรือไม่ และมีความน่าเชื่อถือมากน้อยเพียงใด ซึ่งอาจจะต้องย้อนกลับไปในขั้นตอน Modeling ใหม่อีกรอบเพื่อปรับเปลี่ยนให้ได้ผลลัพธ์ตามวัตถุประสงค์ที่ตั้งเอาไว้

(6) Deployment

ในขั้นตอนสุดท้ายนี้ กระบวนการของ CRISP-DM ไม่ได้หยุดเพียงแค่ผลลัพธ์ที่ได้จากการวิเคราะห์ข้อมูลด้วย Data Mining เท่านั้น ถึงแม้ว่าผลลัพธ์ที่ได้จะแสดงถึงองค์ความรู้ที่มีประโยชน์ แต่จะต้องนำองค์ความรู้นั้นไปใช้จริงในองค์กรหรือบริษัท

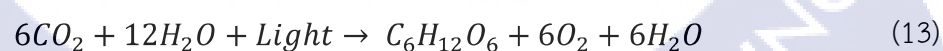


รูปที่ 2.14 กระบวนการ CRISP-DM [46]

2.1.5 ทรุษภีเกี่ยวกับที่พืช

2.1.5.1 ทรุษภีการสังเคราะห์ด้วยแสง [47]

การสังเคราะห์ด้วยแสงนั้นเป็นเพียงปฏิกริยาเพียงปฏิกริยาเดียวที่สิ่งมีชีวิตนำพลังงานแสงเข้ามายังระบบบินิเวศเพื่อนำมาสร้างพลังงาน พืชนั้นโดยทั่วไปแล้วสมการการสังเคราะห์ด้วยแสงดังสมการที่ 13



แบคทีเรียบางชนิดจะใช้กำมะถัน (S) ในการสังเคราะห์ด้วยแสงแบบไม่ใช้อ็อกซิเจน (O) ดังสมการที่ (14)



โดยที่ว่าไปแล้วการสังเคราะห์ด้วยแสงจะแบ่งออกเป็นสองขั้น ในแต่ละขั้นนั้นแสงมีความจำเป็นอย่างมากเพื่อใช้ในการสังเคราะห์ด้วยแสง

- 1) ปฏิกิริยาแสง เป็นการนำพลังงานแสงมาสร้าง NADPH และ ATP เกิดที่ thylakoid membrane
- 2) การตรึงcarbon dioxide เป็นการตรึงcarbon dioxide ด้วยวัฏจักรคัลวิน (Calvin Cycle) โดยการนำNADPH และ ATP ที่ได้มานั้น เปลี่ยน CO_2 ให้เป็นน้ำตามสมการข้างต้นที่กล่าวไป

รงควัตถุ คือสารที่ทำหน้าที่ในการดูดกลืนแสง สีที่ไม่ถูกดูดกลืนจะสะท้อนกลับออกมานะ ทำให้ดันไม่มีสีสนิม รงควัตถุที่นำแสงที่ดูดกลืนมาสังเคราะห์ด้วยแสงได้แก่

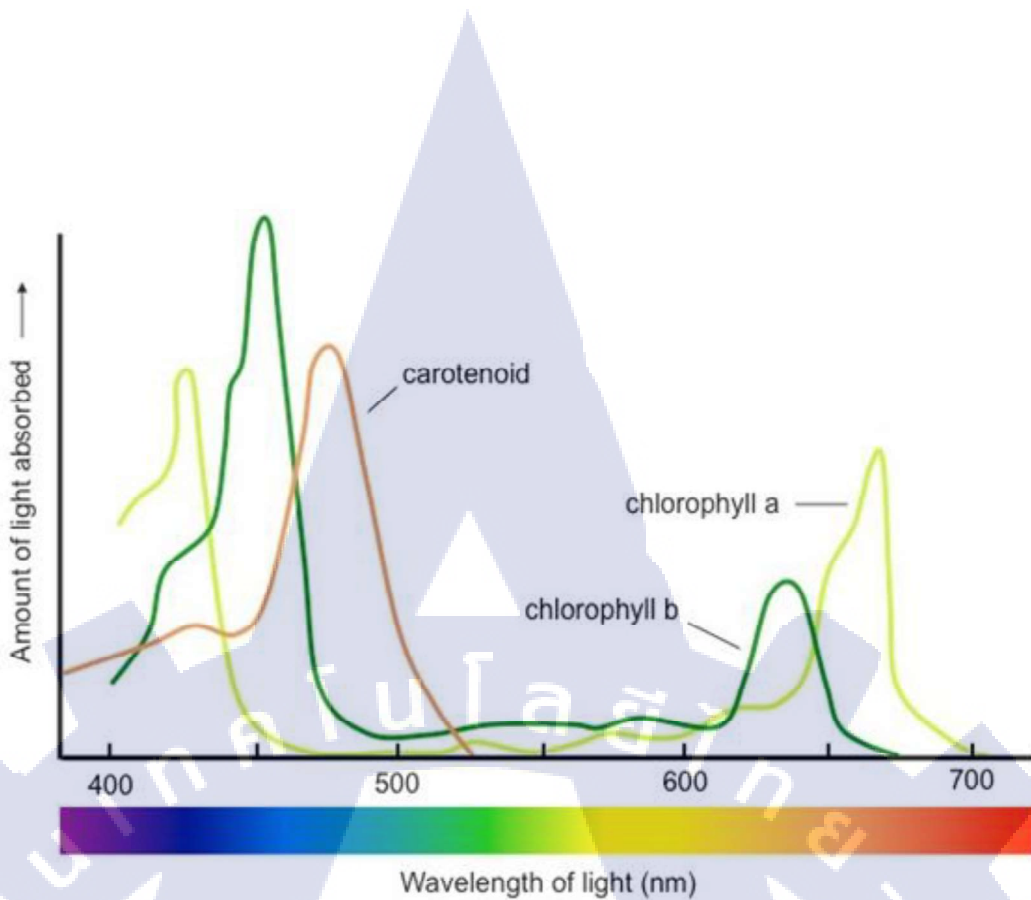
- 1) Chlorophyll เป็นรงควัตถุที่ดูดกลืนสีในย่านสีน้ำเงินและย่านสีแดงมาใช้ในการสังเคราะห์ด้วยแสง และสะท้อนแสงสีขาวออกไป Chlorophyll นั้นมีองค์ประกอบของ แมกนีเซียม (Mg) และ ไนโตรเจน(N) เป็นองค์ประกอบสำคัญ chlorophyll นั้นมีหลายชนิด ได้แก่ ชนิด a, b, c, d, และ f
 - a. Chlorophyll a ($C_{55}H_{72}O_5N_4Mg$) สามารถพบร้าได้ทั่วไปในสิ่งมีชีวิตที่การสังเคราะห์ด้วยแสง ดูดกลืนแสงในย่านสีฟ้าดีที่สุดที่ 430nm และย่านสีแดงดีที่สุดที่ 662nm
 - b. Chlorophyll b ($C_{55}H_{70}O_6N_4Mg$) พบร้าในพืชใบเขียว ดูดซับแสงดีที่สุดในช่วง 453nm และ 642 nm
 - c. Chlorophyll c ($C_{35}H_{30}O_5N_4Mg, C_{35}H_{28}O_5N_4Mg$) Chlorophyll c1 ดูดซับแสงดีที่สุดในช่วง 444, 577, 626 nm และ 447, 579, 629 nm Chlorophyll c2 ดูดซับแสงดีที่สุดในช่วง 447, 580, 627 nm และ 450, 581, 629 nm พบร้าในสิ่งมีชีวิตประเภท สาหร่าย
 - d. Chlorophyll d ($C_{54}H_{70}O_6N_4Mg$) ดูดซับแสงดีที่สุดในช่วง 710 nm พบร้าในไซาโนแบคทีเรีย ซึ่งเป็นแบคทีเรียที่สังเคราะห์ด้วยแสงได้
 - e. Chlorophyll f ($C_{55}H_{70}O_6N_4Mg$) เป็น Chlorophyll ดูดซับแสงอินฟารेडเพื่อใช้ในการสังเคราะห์ด้วยแสงของแบคทีเรีย พบร้าในไซาโนแบคทีเรีย ซึ่งเป็นแบคทีเรียที่สังเคราะห์ด้วยแสงได้

- 2) Carotenoid แบ่งเป็น carotene ที่สะท้อนแสงสีส้มแดง และ xanthophyll สะท้อนแสงสีส้มเหลือง สิ่งมีชีวิตทุกชนิดที่สังเคราะห์ด้วยแสงได้จะมี Carotenoid เป็นสารต้านอนุมูลอิสระ ซึ่งมีหน้าที่ช่วยป้องกันอันตรายที่เกิดจากแสงนอกเหนือจากการดูดกลืนแสงมาใช้
- 3) Phycobilin แบ่งเป็น phycocyanin สะท้อนแสงสีน้ำเงิน และ phycoerythrin สะท้อนสีแดง

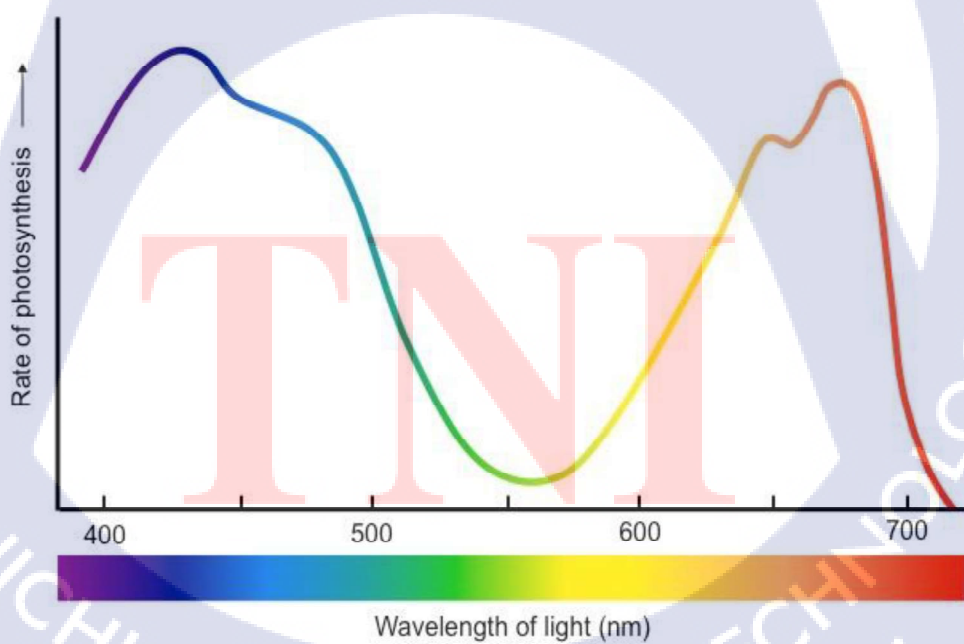
ตารางที่ 2.2 แสดงรังควัตถุที่สิ่งมีชีวิตแต่ละชนิดใช้ในการสังเคราะห์แสง

| Photoautotroph | 1 | | | | | 2 | 3 |
|--------------------------|---|---|---|---|---|---|---|
| | a | b | c | d | f | | |
| พืช | + | + | | | | + | |
| สาหร่ายสีเขียว | + | + | | | | + | |
| สาหร่ายสีน้ำตาล | + | | + | | | + | |
| สาหร่ายสีแดง | + | | | + | | + | + |
| สาหร่ายสีเขียวแกมน้ำเงิน | + | | | | | + | + |
| ไชยโนแนบคทีเรีย | | | | + | + | + | |

ตามที่กล่าวไปข้างต้นนั้นจะทราบว่าองค์ประกอบสำคัญของ Chlorophyll ที่มีความยาวคลื่นแตกต่างกัน แสดงได้ด้วยกราฟ Absorption Spectrum ดังรูปที่ 2.15 ขององค์ประกอบที่ต่างๆ ในงานวิจัยนี้จะกล่าวถึงแต่เพียง Chlorophyll a, Chlorophyll b, และ Carotenoid ซึ่งเป็นองค์ประกอบที่พืชจำเป็นต้องใช้ในการดูดกลืนแสง และเมื่อรังคุณภาพนิยามมาทำงานร่วมกันภายใน Chloroplast จะทำให้สิ่งมีชีวิตนั้นๆ สังเคราะห์ด้วยแสงที่มีความยาวคลื่นต่างๆ ได้แตกต่างกัน แสดงตามกราฟ Action Spectrum ดังรูปที่ 2.16



รูปที่ 2.15 Absorption Spectrum [47]



รูปที่ 2.16 Action Spectrum แสดงอัตราการสังเคราะห์ด้วยแสงของพืช ตามความยาวคลื่นแสง [47]

พืชนั้นจัดเป็นประเภท Eukaryote เพราะออร์แกนเนลและนิวเคลียสมีเยื่อหุ้มอยู่ด้วย เฉพาะประเภท Eukaryote เท่านั้นที่มีรังควัตถุสำหรับการสังเคราะห์ด้วยแสงอยู่ใน Chloroplast ซึ่งเป็นออร์แกนเนลที่มีเยื่อหุ้มสองชั้น เยื่อภายในพับซ้อนหากันเข้าไปเรียกว่า thylakoid membrane หรือเรียกว่า lamella ซึ่งเป็นที่อยู่ของรังควัตถุต่าง ๆ บางส่วนนั้นจะพับทับกับเป็นตั้งคล้ายเหรียญเรียกว่า granum แต่ละเหรียญจะเชื่อมกันด้วย stroma lamella ภายใน thylakoid membrane จะมีซ่องเรียกว่า lumen และภายใน Chloroplast มีของเหลวเรียกว่า stroma บรรจุเอนไซม์ที่ใช้ในการสังเคราะห์ด้วยแสง, 70s ribosome, RNA, DNA ของพืชเอาไว้

2.1.5.2 ปัจจัยที่ส่งผลกระทบการสังเคราะห์ด้วยแสงของพืช [47][48]

ปัจจัยที่มีผลต่อการสังเคราะห์ด้วยแสงได้แก่

(1) ความยาวคลื่นแสง เช่นแสงสีน้ำเงินและแสงสีแดงจะทำได้สังเคราะห์แสงได้ดี ส่วนสีเขียวหรือสีอื่นๆนั้นจะสังเคราะห์แสงได้น้อยสเกต์ได้จากราฟ Action Spectrum ที่ได้กล่าวไปข้างต้น

(2) ความเข้มแสง ความเข้มแสงที่ทำให้เกิดอัตราการสังเคราะห์ด้วยแสงเท่ากับอัตราการหายใจเรียกว่า light compensation point ทำให้อัตราการตรึง CO_2 สูงเป็น 0 ส่วนจุดอิ่มแสง(light saturation point) คือจุดที่เพิ่มความเข้มแสงแล้วอัตราการสังเคราะห์ด้วยแสงไม่เพิ่มขึ้นตามไปด้วย พืช C_3 นั้นจะมี light compensation point และ light saturation point ต่ำกว่าพืชชนิด C_4 แต่ถ้าความเข้มแสงมากจนเกินไปจะทำให้อัตราการสังเคราะห์ด้วยแสงลดลงในพืชทั้งสองชนิด ทำให้เกิดอนุมูลอิสระส่งผลให้ใบของพืชไหม้ ส่วนพืชที่อยู่ในร่มใช้แสงแค่เล็กน้อยก็สามารถสังเคราะห์ด้วยแสงได้เต็มที่จึงมี light saturation point ต่ำกว่าพืชที่อยู่ในที่โล่งแจ้ง

(3) ปริมาณ CO_2 พืชจะมี CO_2 compensation point และ CO_2 saturation point เมื่อกันนั้น แต่พืช C_4 จะมี CO_2 compensation point และ CO_2 saturation point ต่ำกว่า C_3 แต่ถ้าปริมาณ CO_2 น้อยเกินไปจะพบว่าอัตราการสังเคราะห์ด้วยแสงเป็นศูนย์ พืชจะไม่สร้างอาหารแต่จะใช้อาหารในการหายใจระดับเซลล์ไปเรื่อยๆ นั่นคือพืชจะไม่สามารถดำรงอยู่ได้เมื่อค่า ความเข้มแสงหรือ CO_2 ค่าใดค่าหนึ่งน้อยเกินไป

(4) ปริมาณ O_2 จะส่งผลต่อพืชชนิด C_3 เท่านั้น เนื่องจากเกี่ยวข้องกับ photorespiration โดยเมื่อ O_2 ยิ่งมากขึ้นเท่าใดการสังเคราะห์แสงก็ลดลงเท่านั้น

(5) ปริมาณน้ำในเดิน ปัจจัยนี้ส่งผลกระทบการเปิดปิดของปากใบ ซึ่งถูกควบคุมโดยแรงดันตึงของเซลล์คุม (Guard Cell) เมื่อมีน้ำออกมายังเซลล์ เซลล์จะตึงทำให้ปากใบเปิดออก แต่เมื่อมีน้ำออกมายังเซลล์จะทำให้แรงตึงลดลงทำให้ปากใบปิด กระบวนการนี้จะถูกควบคุมโดยแสงและ K^+ ในตอนเช้าแสงจะกระตุ้นให้ K^+ แพร่เข้าสู่เซลล์คุมทำให้ในเซลล์นั้นมีความเข้มข้นเพิ่มผลให้ปากใบเปิดและเมื่อ

มีแก๊สและแสงที่จำเป็น เชล์คุ่มจึงเริ่มการสังเคราะห์ด้วยแสงได้น้ำตาลและสารอนิทริพลังงานสูง ออกมาเพื่อใช้เป็นพลังงานและอาหารแก่พืช ยิ่งภายในเซลล์มีความเข้มข้นปากใบจะยิ่งเปิดออกจนถึง ตอนเย็นเมื่อแสงหมด ความเข้มข้นภายในเซลล์ลดลงปากใบจึงปิด การเปิดปิดของปากใบส่งผลให้เกิด การแลกเปลี่ยนแก๊ส แต่ในขณะเดียวกันนั้นพืชก็ต้องสูญเสียความชื้นภายใน mesophyll ซึ่งมีความชื้นสัมพัสร์สูงมากอย่างหลีกเลี่ยงไม่ได้ เมื่อใดที่พืชขาดน้ำหรือน้ำในดินมีน้อยจนเกินไป ออร์บิน abscisic acid จะควบคุมบังคับให้ปากใบปิดแม้ว่าจะมีแสงก็ตาม

(6) อุณหภูมิ มีผลต่อการทำงานของเอนไซม์ต่างๆ ถ้าอุณหภูมิสูงหรือต่ำจนเกินไปเอนไซม์จะไม่สามารถทำงานได้อย่างมีประสิทธิภาพ นอกจากนี้อาการสร้อนยังมีผลต่อปริมาณ CO_2 และการเกิด photorespiration ถ้าอุณหภูมิเพิ่มสูงขึ้นพืชตระกูล C_3 จะสังเคราะห์ด้วยแสงได้น้อยลง แต่พืชตระกูล C_4 และ CAM ยังสามารถสังเคราะห์แสงต่อไปได้ เนื่องจากมีโครงสร้างและการทนต่อสภาพแวดล้อมที่แตกต่างกัน

(7) อายุของใบ เป็นที่ทราบกันดีกว่าใบที่มีอายุมากแล้วจะมีอัตราการสังเคราะห์ด้วยแสงลดลงเมื่อเทียบกับใบที่มีอายุน้อยกว่า อย่างมากเนื่องจากการเสื่อมประสิทธิภาพของเซลล์ต่างๆ

(8) ธาตุอาหาร เมื่อพืชขาด Mg และ N ซึ่งเป็นส่วนประกอบหลักทางโครงสร้างเคมีของ Chlorophyll สังเกตุได้จากสมการเคมีที่กล่าวไปในส่วนของ Chlorophyll ส่งผลให้พืชขาด Chlorophyll เมื่อพืชขาด Chlorophyll จะทำให้ใบเหลืองซีด ธาตุอื่นๆก็มีส่วนช่วยในการสังเคราะห์ด้วยแสง เช่น Mn + Cl ช่วยในการ palisade mesophyll, Cu + Fe ช่วยในการถ่ายทอดอิเล็กทรอน (e^-)

2.1.5.3 ผักชีน่วย [49]

ข้อมูลทางวิทยาศาสตร์

ชื่อวิทยาศาสตร์

Aqium graveolens L. vat. Dulce Pers.

ชื่อสามัญ

Celery

ชื่อวงศ์

Umbelliferae

ส่วนที่ใช้

ต้น, ใบ, ราก, เมล็ด

สารที่พบ

Apirin

ประโยชน์ของชีน่วย

(1) ช่วยต่อต้านอนุมูลอิสระช่วยเสริมสร้างภูมิคุ้มกันให้กับร่างกายป้องกันหวัดและช่วยลดความเสื่อมของร่างกายได้เป็นอย่างดี

- (2) ช่วยยับยั้งการเกิดมะเร็งและเนื้องอกขึ้นฉ่ายมีสารที่ช่วยยับยั้งหรือช่วยการขยายตัวของเซลล์มะเร็งช่วยต่อต้านมะเร็งได้ และยังมีสารที่ช่วยขับของเสียจากบุหรี่ในผู้สูบบุหรี่และผู้ที่ได้รับควันบุหรี่อีกด้วย
- (3) ช่วยบำรุงกระดูกและฟันให้แข็งแรง เนื่องจากขึ้นฉ่ายอุดมไปด้วยแคลเซียมและฟอสฟอรัส
- (4) การศึกษาของทีมนักวิจัยสหราชบูรพาฯ มีสารเคมีบางชนิดในผักช่วยบำรุงสมอง ช่วยในเรื่องของความจำ
- (5) ช่วยบำรุงสายตาและผิวพรรณ เนื่องจากในผักขึ้นฉ่ายนั้นประกอบไปด้วยวิตามินหลายชนิด เช่น วิตามินเอ วิตามินบี วิตามินซี และเบต้าแคโรทีน เป็นต้น
- (6) เมล็ดขึ้นฉ่ายเมื่อนำมาสกัดด้วย petroleum ether จะได้สารที่ช่วยทำให้น้ำมันไม่มีกลิ่นเหม็นหืน
- (7) นำมันขึ้นฉ่ายสามารถนำมาใช้ในการแต่งกลิ่นเครื่องสำอาง ยาทาผิว ครีม และสบู่
- (8) ใช้รับประทานเป็นผักช่วยเพิ่มรสชาติ ช่วยดับกลิ่นอาหาร และช่วยเพิ่มความหอมของน้ำซุป เพราะในขึ้นฉ่ายมีสารจำพวกน้ำมันหอมระเหย ซึ่งได้แก่ ไลโมนีน (limonene) ซีลินีน (selinene) ฟทาไอลิต (phthalides) ซึ่งเป็นตัวที่ทำให้เกิดกลิ่นหอมเฉพาะตัว นอกจากใช้เป็นส่วนประกอบในอาหารแล้ว ยังสามารถนำผักขึ้นฉ่ายมาคั้นเป็นน้ำดื่มสมุนไพรเพื่อสุขภาพ โดยขึ้นฉ่ายมาปั่นแล้วกรองเอาแต่น้ำ ผสมเกลือเล็กน้อย เป็นอันเสร็จใช้ดื่มเพื่อบำรุงร่างกายได้ทันที
- (9) ขึ้นฉ่ายสามารถนำมาประกอบอาหารได้หลากหลายเมนู เช่น ปลาน้ำดื่มขึ้นฉ่ายปลากระพงผัดขึ้นฉ่ายปลาทับทิมผัดขึ้นฉ่ายป้านิลผัดขึ้นฉ่ายขึ้นฉ่ายยำวุ้นเส้นผัดเต้าหู้ขึ้นฉ่าย, กะเพราหมูผัดขึ้นฉ่าย เป็นต้น

ลักษณะทางพฤกษาศาสตร์

ลำต้น ขึ้นฉ่ายเป็นพืชใบเลี้ยงคู่ประเภทล้มลุกมีอายุประมาณ 1-2 ปี ลำต้นและใบมีกลิ่นหอม ลักษณะลำต้นกลวงกลม ต้นสูงประมาณ 30-50 เซนติเมตร ใบ เป็นใบประกอบใบหนึ่งๆ มีใบย่อย 2-3 คู่ ก้านใบยาวประมาณ 36-45 เซนติเมตร ลักษณะก้านใบเป็นสันมองเห็นได้อย่างชัดเจน ใบย่อยที่อยู่ขั้นล่างมีก้านใบยาว กว่าใบย่อยอยู่บนสุด ใบย่อยมีขนาดกว้าง 5 เซนติเมตร ขอบใบหยักเป็นแฉกเล็ก แต่ละแฉกเป็นรูปสามเหลี่ยมหรือห้าเหลี่ยม ก้านใบอวบหนา ดอก ออกเป็นช่อคล้ายชี้ร่ม ดอกແ僚ออกเป็นวง ดอกย่อยมีขนาดเล็ก แต่ละดอกเป็นแบบสมบูรณ์เพศ ส่วนใหญ่สมพันธุ์ในตัวเอง ผลเมล็ด มีรูปร่างลักษณะกลมรี มีขนาดเล็กและแห้ง ขนาดประมาณ 1.5 มิลลิเมตร เวลา แก่

เต็มที่จะแยกเป็นสองชีก ภายใน 1 เมล็ด พันธุ์ที่ใช้ปลูก ขึ้นจ่ายพันธุ์จีนก้านใบจะมีขนาดเล็กแต่ละใบประกอบด้วยใบย่อยประมาณ 3-7 ใบ มีลำต้นสั้น



รูปที่ 2.17 แสดงถึงลักษณะทั่วไปของขึ้นจ่ายจีน

การดูแลรักษา

- (1) การให้น้ำต้องรดน้ำความชุ่มชื้นอย่างสม่ำเสมอและพอเพียง ควรรดน้ำชุ่มน้ำวันละ 2 ครั้ง เข้าและเย็นแต่อย่าให้แห้งเกินไป เพราะจะทำให้ต้นพืชเน่าเสียหายได้
- (2) การป้องกันกำจัดวัชพืชต้องหมั่นใช้มือถอนกำจัดวัชพืช เพื่อป้องกันไม่ให้วัชพืชแย่งน้ำและอาหารจากต้นขึ้นจ่าย
- (3) การให้ปุ๋ย ในช่วงแรก ต้นขึ้นจ่ายยังคงได้ปุ๋ยจากปุ๋ยคอกที่อยู่ในแปลง แต่เมื่อต้นกล้าอายุได้ 1 เดือนจะมีใบจริง 2-5 ใบ เกษตรกรต้องใส่ปุ๋ยเคมีช่วย โดยจะใช้ปุ๋ยเคมีสูตรเสนอ 16-16-16 หัว่านบางๆ ให้ทั่วแปลงปลูก โดยจะหัว่านให้ทุกๆ 10-15 วัน ตามความเหมาะสม โดยพิจารณาจากสภาพพื้นและการเจริญเติบโตว่าดีมากน้อยเพียงใด ถ้าสังเกตว่าต้นขึ้นจ่ายเจริญเติบโตไม่ดี หยุดชะงัก ก็อาจมีการกระตุ้นการเจริญเติบโตด้วยการหัว่นปุ๋ยเรีย (46-0-0) ช่วยให้บ้างตามความเหมาะสมซึ่งการให้ปุ๋ยเคมีทุกครั้งต้องให้น้ำตาม จนกว่าปุ๋ยจะละลายจนหมดทุกครั้ง

การเก็บเกี่ยว

หลังจากย้ายกล้ามาปลูกได้ประมาณ 90 วัน ก็สามารถเก็บเกี่ยวต้นขึ้นจ่ายได้โดยการใช้มือถอนหากว่าดินในแปลงปลูกแห้งเกินไปควรจะต้องรดน้ำให้ชุ่มเสียก่อน

2.1.5.4 การปลูกพืชแบบไฮโดรปอร์นิกส์ [50]

ในปัจจุบันผักไฮโดรปอร์นิกส์ กำลังเป็นที่นิยมของผู้บริโภคจำนวนมาก เนื่องจากกระบวนการปลูกที่สะอาด ปลอดภัยจากสารเคมี และมีคุณค่าทางโภชนาการสูง ทำให้เกษตรกรเริ่มหันมาให้ความสนใจเกี่ยวกับการปลูกพืชแบบไฮโดรปอร์นิกส์ และมีอัตราการผลิตเพิ่มขึ้นในทุกๆ ปี การปลูกพืชด้วยระบบไฮโดรปอร์นิกส์จะใช้การไฟหลอดong น้ำเพื่อใช้ในการลำเลียงเอาสารอาหารและธาตุอาหารที่จำเป็นไปให้พืช ทำให้สามารถกำหนดชนิดของธาตุอาหารที่เหมาะสม กับการปลูกพืชได้เนื่องจากมีการจัดการที่ไม่ยุ่งยากและพืชสามารถเจริญเติบโตได้ดีด้วยการนำรากพืชจุ่มแขวนในสารละลายน้ำโดยตรง ทั้งนี้รากของพืชสามารถทำงานได้ 2 หน้าที่ด้วยกัน นั้นคือ ดูดซับออกซิเจน (O_2) และดูดซับสารอาหาร ส่วนที่ดูดซับ O_2 นั้นจะอยู่บริเวณโคนราก ซึ่งจะสัมผัสกับอากาศโดยตรง ส่วนปลายรากนั้นจะมีหน้าที่ในการดูดซับสารอาหาร โดยจะจุ่มแขวนอยู่ในสารละลายน้ำและสามารถพัฒนาไปเป็นรากดูดอากาศได้ สามารถแบ่งได้ 2 ประเภทดังนี้

1) สารละลายน้ำมีหมุนเวียน วิธีนี้จะเป็นการปลูกพืชโดยให้พืชนั้นลอยอยู่บนน้ำและให้สารละลามาสัมผัสกับรากของพืชโดยตรงทั้งนี้จะไม่มีการหมุนเวียนของน้ำหรือสารละลายน้ำ หรือที่เรียกอย่างง่ายว่าการปลูกแบบน้ำนิ่ง การปลูกแบบน้ำนิ่งนี้จะมีทั้งการเติมอากาศเข้าไปในน้ำและไม่เติมอากาศเข้าไปในน้ำ

2) สารละลายน้ำมีหมุนเวียน วิธีนี้จะเป็นการปลูกพืชโดยให้พืชลอยอยู่บนน้ำและจะใช้ปั๊มเพื่อทำให้น้ำนั้นไหลไปตามรางเพื่อนำพาสารละลายน้ำไปให้แก่พืช อีกทั้งเป็นการเพิ่มปริมาณ O_2 ในน้ำอีกด้วย และช่วยรักษาอุ่นให้รากอาหารที่ให้ไปนั้นเกิดการตกตะกอน พืชแต่ละต้นนั้นจะได้รับธาตุอาหารอย่างครบถ้วนสมบูรณ์

สารอาหารที่ใช้

ในการปลูกพืชไม่ใช้ดินนั้น ปัจจัยหลักที่ทำให้พืชนั้นเจริญเติบโต นั้นคือ ธาตุอาหารที่เป็นวัตถุดินในการใช้พืชนั้นเจริญเติบโต, กระบวนการสร้างอาหาร, และกระบวนการสังเคราะห์ด้วยแสง วัตถุดินหลักที่ใช้นั้นคือ คาร์บอนไดออกไซด์ (CO_2) เมื่อพืชนั้นได้รับแสง บริเวณคลอโรฟิลล์ จะเกิดกระบวนการสังเคราะห์ด้วยแสงจนได้สารคาร์บอไฮเดรต และ O_2 จะเห็นได้ว่าพืชนั้นจะใช้ คาร์บอน (C) จาก คาร์บอนไดออกไซด์ (CO_2) และ ไฮโดรเจน (H) กับ ออกซิเจน (O_2) จากน้ำ (H_2O) ในกระบวนการดังกล่าว เพื่อสร้างสารคาร์บอไฮเดรตซึ่งก็คือ น้ำตาลกลูโคส ($C_6H_{12}O_6$) พร้อมทั้งขับเออน้ำและออกซิเจนออกสู่บรรยากาศ ในส่วนของ Chlorophyll ที่พืชใช้นั้นน้มีธาตุที่เป็นองค์ประกอบหลักได้แก่ คาร์บอน (C), ไฮโดรเจน (H), ออกซิเจน (O), ไนโตรเจน (N), และแมกนีเซียม (Mg) ซึ่งหารได้รับในสัดส่วนที่ไม่เหมาะสมพืชก็จะเจริญเติบโตได้ไม่ปกติ

- ธาตุที่พืชมีความต้องการสูง [51][48]

คาร์บอน (C) เป็นองค์ประกอบหลักในโครงสร้างของพืช ซึ่งมีความจำเป็นในกระบวนการสังเคราะห์แสงที่กล่าวมาข้างต้น ซึ่งในบรรยายกาศมีเพียงพอในธรรมชาติ

ไฮโดรเจน (H) ไฮโดรเจนมีความจำเป็นในกระบวนการสังเคราะห์แสง ซึ่งพืชสามารถได้จากน้ำเป็นส่วนใหญ่ หรืออาจได้จากในบรรยายกาศ เช่น กลวยไม้

ออกซิเจน (O) ช่วยในการถ่ายทอดอิเล็กตรอนแบบไม่เป็นวัฏจักร

ไนโตรเจน (N) ในไนโตรเจนเป็นองค์ประกอบของสารอินทรีย์โดยอยู่เป็นส่วนประกอบโครงสร้างของพืช เช่น คลอโรฟิลล์ กรดอะมิโน และองค์ประกอบของโปรตีน ซึ่งเกี่ยวข้องกับกระบวนการเจริญเติบโตของพืชหากขาดธาตุไนโตรเจนจะทำให้ต้นแครอแกรน์ใบอ่อนเล็กเรียว ใบล่างแก่จะมีสีเหลืองซีด แหล่งไนโตรเจนสามารถได้จากการตระปึงในบรรยายกาศ หรือจากการย่อยสลายสารอินทรีย์ ซากพืชซากสัตว์ที่ตายแล้ว บทบาทของไนโตรเจนจะทำให้ต้นพืชมีการขยายเชลล์กว้างให้ต้นอ่อนแออ่อนต่อการทำลายของโรค และในพืชที่ให้ผลผลิตอาจจะมีปัญหาในการเจริญทางกิ่งใบ ไม่มีการสะสมอาหารเมื่อให้ผลผลิต จึงจำเป็นต้องศึกษาในระดับที่เหมาะสม แต่อย่างไรผักที่นิยมปลูกโดยไม่ใช้ดิน จะนิยมกินใบและเก็บเกี่ยวผลผลิตเร็ว จึงนิยมให้รากไนโตรเจนในปริมาณสูง

- ธาตุที่พืชต้องการเพียงเล็กน้อย [51][48]

แมกนีเซียม (Mg) ส่วนประกอบหลักของ Chlorophyll

เหล็ก (Fe) มีบทบาทในการช่วยให้พืชสังเคราะห์แสง ถ้าหากขาดทำให้ใบเหลืองซีดหักใบอ่อนและใบแกะ

คลอร์อฟิลล์ (Cl) มีบทบาทในการกระบวนการสังเคราะห์แสงช่วยเพิ่มความเป็นกรดในเซลล์ กระตุ้นการทำงานของเอนไซม์ ซึ่งคลอร์อฟิลล์ในสภาพทั่วไปจะมีความเพียงพอต่อความต้องการของพืช

บอรอน (B) เกี่ยวข้องกระบวนการเจริญเติบโตของพืช ทำให้พืชใช้รากต่ำและแข็งมากขึ้น ในการสร้างโครงสร้างผนังเซลล์ และอาจช่วยในการกระบวนการเคลื่อนย้ายสารอาหารในพืช หากขาดทำให้การสร้างน้ำตาลลดลงในพืชบางชนิดมีลำต้นกลวง เช่น บลอดโคลี

แมงกานีส (Mn) มีบทบาทในกิจกรรมกระบวนการสังเคราะห์แสง ช่วยการกระตุ้นเอนไซม์ในการสังเคราะห์กรดไขมันและเอนไซม์ที่เกี่ยวข้องกับการเกิด DNA และ RNA หากขาดทำให้รากเหล็กในรูป Fe^{2+} เกิดเป็นพิษกับต้นพืชและมีลักษณะใบดำในตระกูลตัว ถ้ามากไปทำให้ Fe^{3+} ถูกนำไปใช้ได้น้อยลงทำให้ต้นพืชขาดธาตุเหล็ก

ทองแดง (Cu) เป็นตัวคตตะไล์ และเป็นตัวอิเลคตรอนในการตรึงในโตรเจน ถ้าหากขาดทำให้พืชอ่อนแอกไปเหลืองซีด หรือเป็นจุดเหลือง (Chlorotic spot) ซึ่งพบในถั่วเหลือง

สังกะสี (Zn) เป็นธาตุที่เกี่ยวข้องในการสร้างสารควบคุมการเจริญเติบโต พวกรอกซิน (Auxin) ที่ปลายยอด และเกี่ยวข้องกับการสังเคราะห์คลอโรฟิลล์ หากขาดทำให้ต้นพืชเตี้ยใบเล็ก

โมลิบดินัม (Mo) เป็นธาตุที่เกี่ยวข้องกับในการเปลี่ยนการในโตรทไปเป็นเอมโมเนียมเพื่อไปสร้างกรดอะมิโนในเซลล์มีความจำเป็นในการตรึงในโตรเจน ถ้าหากขาดทำให้พืชตระกูลถั่วมีประสิทธิภาพในการตรึงในโตรเจนเป็นบรรณาการสน้อยลง

2.2 งานวิจัยที่เกี่ยวข้อง

จากการศึกษาและค้นคว่างานวิจัยที่ผ่านมากผู้วิจัยได้พบว่าในตั้งแต่ต่อตีติงปัจจุบันมีการศึกษาและพัฒนาระบบในการวัดค่า NDVI เพื่อใช้วิเคราะห์การเจริญเติบโตของพืชอยู่เป็นจำนวน 5 ฉบับ ซึ่งผู้วิจัยพบว่างานวิจัยเหล่านี้สามารถจัดกลุ่มได้ออกเป็นจำนวน 2 ประเภท ตามลักษณะของภาพที่นำมาใช้ในการวิเคราะห์ ได้แก่

2.2.1 การวิเคราะห์ภาพถ่ายพืชที่เพาะปลูกเป็นบริเวณกว้าง

งานวิจัยที่ศึกษาภาพถ่ายในบริเวณกว้างด้วยการวิเคราะห์ NDVI นั้น โดยส่วนมากจะเป็นภาพถ่ายมุมสูงอาทิเช่นภาพถ่ายดาวเทียมหรือใช้โดรนที่มีประสิทธิภาพสูงในการถ่ายภาพ จุดประสงค์ของงานวิจัยลักษณะนี้โดยมากมักจะเป็นการวิเคราะห์หรือคาดการประมวลผลผลิตทางการเกษตรในภาพรวมของพืชบริเวณนั้น อาทิเช่น งานวิจัยของ

กราดร ภัญจนสุธรรม และคณะ [52] การประมวลผลผลิตต่อเรื่องข้าวนำปรังด้วยข้อมูลดาวเทียม SMMS โดยใช้ดัชนีความแตกต่างพืชพรรณ(NDVI) การศึกษาครั้งนี้จึงมีวัตถุประสงค์เพื่อศึกษาหาค่าผลผลิตต่อเรื่องข้าวนำปรัง โดยใช้วิธีการสะท้อนคลื่นแม่เหล็กไฟฟ้าที่บันทึกได้จากดาวเทียม SMMS และคำนวณหาค่า NDVI และจัดเก็บข้อมูลเป็น 4 ระยะตามระยะเวลาเจริญเติบโตของข้าว จากนั้นคำนวณค่าผลผลิตต่อเรื่องด้วยค่าดัชนีความแตกต่างของพืชพรรณ NDVI จากข้อมูลภาพถ่ายดาวเทียม SMMS โดยใช้การวิเคราะห์ความถดถอยและสหสัมพันธ์อย่างง่าย ซึ่งได้ค่าเฉลี่ยเท่ากับ 1,229 กก./ไร่ คือค่าคาดการประมวลต่อเรื่องได้มา ซึ่งปริมาณเฉลี่ยผลผลิตจากไตรตัวอย่างนั้นเท่ากับ 1,230 กก./ไร่ ซึ่งถือว่าใกล้เคียงอย่างมาก

นฤมล อินทร์วิจัย และคณะ [53] ได้ทำการศึกษา “ความสัมพันธ์ระหว่างอุณหภูมิพื้นผิว และดัชนีความแตกต่างพืชพรรณของพื้นที่นาข้าวในแต่ละช่วงการเจริญเติบโต จากข้อมูลดาวเทียม” การวิจัยครั้งนี้มีวัตถุประสงค์เพื่อตรวจวัดอุณหภูมิพื้นผิว และค่าดัชนีความแตกต่างพืชพรรณ (NDVI)

ของพื้นที่นาข้าวจำนวน 4 ระยะการเจริญเติบโต พร้อมกับวิเคราะห์ความสัมพันธ์ระหว่างค่าทั้งสอง ซึ่ง เมื่อทำการวิเคราะห์การถดถอย เพื่อหาความสัมพันธ์ระหว่างอุณหภูมิพื้นผิว กับค่า NDVI พบร่วม ความสัมพันธ์ในทิศทางลบหรือแปรผกผันกัน

P. M. Cristiano et al. [54] ได้นำเสนองานวิจัยเรื่อง “High NDVI and Potential Canopy Photosynthesis of South American Subtropical Forests despite Seasonal Changes in Leaf Area Index and Air Temperature” มีวัตถุประสงค์เพื่อประเมินการเปลี่ยนแปลงตามฤดูกาล ของดัชนีความต่างพืชพรรณ (NDVI) และการสังเคราะห์ด้วยแสงที่มีความสัมพันธ์กับการเปลี่ยนแปลง ตามฤดูกาลของดัชนีพื้นที่ใบ (LAI) อุณหภูมิในอากาศสูงและต่ำอาจมีผลกระทบเล็กน้อยต่อการ สังเคราะห์แสงในช่วงฤดูร้อนและฤดูหนาว ความเข้มข้นของคลอรอฟิลล์ในใบสูงกว่าในฤดูหนาว มากกว่าฤดูอบอุ่นซึ่งอาจมีผลต่อการลดเชยความผันแปรของค่า NDVI ตามฤดูกาล NDVI ของป่าก็ เขตร้อนยังคงอยู่ในระดับสูงและค่อนข้างคงที่ตลอดทั้งปี เทียบเคียงกับค่าของการปลูกต้นไม้ที่ให้ผล ผลิตสูง ผลลัพธ์เหล่านี้ชี้ให้เห็นว่าป่าก็เขตร้อนนี้ในภาคตะวันออกเฉียงเหนือของอาร์เจนติน่า สามารถรักษาระดับแสงสังเคราะห์สูงตลอดทั้งปีและระบบ呢เว่นอาจเป็นแหล่งกักเก็บcarbonขนาดใหญ่

J. A. Amon et al. [26] ได้นำเสนองานวิจัยเรื่อง RELATIONSHIPS BETWEEN NDVI, CANOPY STRUCTURE, AND PHOTOSYNTHESIS IN THREE CALIFORNIAN VEGETATION TYPES1 มีวัตถุประสงค์เพื่อหาความสัมพันธ์กันระหว่าง NDVI, โครงสร้างของทรงต้นไม้ และการ สังเคราะห์ด้วยแสงของต้นไม้ ค่า NDVI และ SR มาจากการสะท้อนของแสงแบบคลื่นสีแดงและ NIR เป็นตัวชี้วัดที่มีประโยชน์อย่างมากต่อการสังเคราะห์ด้วยแสง

2.2.2 การวิเคราะห์ภาพถ่ายพืชในพื้นที่จำกัด

งานวิจัยที่ใช้ภาพถ่ายในพื้นที่จำกัดในการศึกษาและวิเคราะห์ NDVI นั้นมีค่อนข้างจำกัดโดย จะนิยมนำกล้องที่มีความสามารถในการถ่ายภาพในช่วงอินฟราเรดไกล จุดประสงค์ของงานวิจัย ลักษณะนี้จึงโดยส่วนมากแล้วจะเป็นการวิเคราะห์การสังเคราะห์ด้วยแสงของพืชหรือใช้ตรวจสอบ สุขภาพของพืช อาทิเช่น งานวิจัยของ

J. Bicans et al. [55], IoT Camera-based Approach to Capture and Process SI-NDVI Sensor Data for Industrial Tomato Greenhouse ได้นำเสนอวิธีการ จับภาพเพื่อ ประมวลผลที่ใช้ในการวิเคราะห์ และจัดเก็บข้อมูลจากเซ็นเซอร์ NDVI โดยมีสมมติฐานว่า สามารถใช้ ในการตรวจสอบสภาวะความเป็นอยู่ของพืชและสถานะปัจจุบันของพืชแบบเรียลไทม์ก่อนที่จะเกิด การลดลงของผลผลิต

และงานวิจัยที่ศึกษาเกี่ยวกับการเจริญเติบโตของพืชที่ผู้วิจัยได้ทำการศึกษาค้นคว้ามาแล้วนั้น พบว่าโดยส่วนใหญ่จะเป็นการศึกษาเกี่ยวกับตัวแปรในเรื่องของแสง อุณหภูมิ และความชื้น รวมทั้งปริมาณคาร์บอนไดออกไซด์ (CO_2) เป็นจำนวน 4 ฉบับด้วยกัน โดยผู้วิจัยได้แบ่งตามประเภทของตัวแปรที่ใช้ในการศึกษาของแต่ละงานวิจัย ตามลักษณะของตัวแปรที่นำมาใช้ในการวิเคราะห์ได้แก่

2.2.3 การวิเคราะห์การเจริญเติบโตด้วยตัวแปรเกี่ยวกับแสง

งานวิจัยที่ศึกษาเกี่ยวกับการเจริญเติบโตของพืชโดยการการวิเคราะห์ด้วยตัวแปรแสงนั้น จะเป็นการกำหนดประมาณแสงไฟ และความเข้มแสงที่ให้แก่พืชที่ทำการทดลอง อาทิ เช่น งานวิจัยของ

พิชญ์สินี เพชรไธย และ ธรรมศักดิ์ ทองเกตุ [56] ได้ทำการศึกษาเกี่ยวกับผลของความเข้มแสงและระยะเวลาในการรับแสงต่อการเจริญเติบโตของผักกาดหอม จากการทำการศึกษาค้นคว้าและวิจัย ผลของความเข้มแสงและระยะเวลาที่ได้รับแสงที่มีต่อการเจริญเติบโต และคุณภาพของผักกาดหอมบัตเตอร์ไฮด์และเรดโว๊คที่ปลูกในระบบแพลนท์แฟคทอรี่ โดยควบคุมปัจจัยอุณหภูมิความชื้น แสง ปริมาณ CO_2 และกำหนดเวลาการให้แสง ผลลัพธ์ที่ได้มี 2 แบบ ได้แก่

1) แสงจากหลอดไฟฟลูออเรสเซนต์ 8 หลอด ที่ให้ความเข้มแสง $180.79 \mu\text{mol m}^{-2}\text{s}^{-1}$ เปิดนาน 16 ชั่วโมง ให้การเจริญเติบโตและปริมาณวิตามินซีในผักกาดหอมบัตเตอร์ไฮด์สูงที่สุดและทำให้เกิดปริมาณในเกรดสะสมน้อยที่สุด

2) แสงจากหลอดไฟแอลอีดี (ความเข้มแสง $298.98 \mu\text{mol m}^{-2}\text{s}^{-1}$) เปิดนาน 12 ชั่วโมง ให้การเจริญเติบโตของผักกาดหอมเรดโว๊คที่ดีกว่าของหลอดไฟฟลูออเรสเซนต์ 8 หลอด ($180.79 \mu\text{mol m}^{-2}\text{s}^{-1}$) เปิดนาน 12 และ 16 ชั่วโมง แต่ไม่ให้ความแตกต่างกันในเรื่องของปริมาณวิตามินซี คลอโรฟิลล์ เอ บี และคาโรทีนอยด์ และผลที่ได้จากการทดลองครั้นนี้ยังชี้ให้เห็นว่าความต้องการแสงของผักกาดหอมทั้งในเรื่องของความเข้มแสงหรือระดับพลังงานและคุณภาพแสงหรือความยาวคลื่นขึ้นกับชนิดและพันธุ์ของผักกาดหอมด้วย

2.2.4 การวิเคราะห์การเจริญเติบโตด้วยตัวแปรสภาพแวดล้อม

งานวิจัยที่ศึกษาเกี่ยวกับสภาพแวดล้อมที่ส่งผลกระทบต่อการเจริญเติบโตของพืช โดยส่วนมากจะเป็นงานวิจัยที่ใช้ตัวแปรเกี่ยวกับอุณหภูมิ ความชื้น ที่ส่งผลกระทบต่อการเจริญเติบโตของพืช อาทิเช่น งานวิจัยของ

วริศรา ปานพรหม และ วิสาคร วงศ์พิมพา [57] ได้ทำการศึกษาเกี่ยวกับ ผลของระดับอุณหภูมิในบรรยายกาศที่แตกต่างกัน ที่มีต่อปริมาณธาตุอาหารในดินและปริมาณผลผลิตของถั่วเหลือง

วัตถุประสงค์เพื่อศึกษาผลของระดับอุณหภูมิและที่แตกต่างกันที่มีผลต่อปริมาณธาตุอาหารในดินของถั่วเหลืองและผลของระดับอุณหภูมิและที่แตกต่างกันที่มีผลต่อปริมาณองค์ประกอบผลผลิตของถั่วเหลือง โดยมีวิธีการควบคุมสภาพปัจจัยระดับอุณหภูมิและที่แตกต่างกันการเก็บข้อมูลปริมาณธาตุอาหารหลักในดินและองค์ประกอบผลวิเคราะห์ข้อมูลทางสถิติ โดยนำข้อมูลที่ได้ทำการตรวจวัดมาวิเคราะห์ทางสถิติ โดยเลือกใช้สถิติเพื่อการวิเคราะห์ข้อมูลระหว่าง 3 สิ่งทดลอง แบบ F-Test และเลือกวิเคราะห์แบบ Randomized Complete Block Design (RCBD) และเลือกวิธี Duncan's New Multiple Range Test (DMRT) ทดลองเปรียบเทียบความสัมพันธ์ทุกกลุ่มทดลอง ผลการศึกษาผลของระดับอุณหภูมิในบรรยายกาศที่แตกต่างกัน ที่มีต่อปริมาณธาตุอาหาร และองค์ประกอบผลผลิตพบว่าอุณหภูมิที่ระดับต่างๆ กว่าธรรมชาติส่งผลชัดเจนว่ามีอิทธิพลต่อการยับยั้งการดึงธาตุอาหารไปใช้เนื่องจากพบว่าธาตุอาหารที่จำเป็นเหลืออยู่ในดินมากอย่างมีนัยสำคัญทางสถิติ (ที่ระดับ $P < 0.05$) แต่อย่างไรก็ตามยังไม่พบว่าส่งผลต่อปริมาณของผลผลิตแต่อย่างใด

C. Körner [58] ได้นำเสนองานวิจัยเรื่อง When Growth Controls Photosynthesis มีวัตถุประสงค์เพื่อสรุปเนื้อหาเกี่ยวกับ การควบคุมการเจริญเติบโตภายใต้สภาพแวดล้อมธรรมชาติ โดยได้ข้อสรุปว่า ภัยแล้งและอุณหภูมิต่างส่งผลกระทบต่อการเจริญเติบโตโดยตรง พืชส่วนใหญ่จะไม่เติบโตในช่วงกลางแดดจัดเนื่องจากสูญเสียความชื้นภายในอย่างรวดเร็ว ในตอนกลางคืนการเจริญเติบโตของพืชนั้นต่ำมากจนเข้าใกล้ศูนย์ เพราะตอนกลางคืนนั้นมีอุณหภูมิที่ค่อนข้างต่ำ

2.2.5 การวิเคราะห์การเจริญเติบโตด้วยตัวแปรคาร์บอนไดออกไซด์

งานวิจัยที่ทำการวิเคราะห์เพื่อดูการเจริญเติบโตของพืชโดยใช้ตัวแปร ปริมาณกําชคาร์บอนไดออกไซด์ในการวิเคราะห์ว่าปริมาณกําชคาร์บอนไดออกไซด์ มีผลต่อการเจริญเติบโตหรือมีการสังเคราะห์ อथิ งานวิจัยของ

R. Salazar et al. [59] ได้นำเสนองานวิจัยเรื่อง “A Neural Network Model for Photosynthesis Prediction” งานวิจัยนี้มีวัตถุประสงค์สร้างโมเดลคาดการการสังเคราะห์ด้วยแสงและการใช้ CO_2 เพื่อค้นหาปัจจัยสำคัญที่สุดที่ส่งผลต่อการสังเคราะห์ด้วยแสงกับ CO_2 โดยใช้โครงข่ายประสาทเทียม ผลการทดลองในการคำนวณค่าล่วงหน้า 5 ถึง 10 นาทีนั้นมีความถูกต้องในทางที่ดีมาก จากการวิเคราะห์แสดงให้เห็นว่าความชื้นสัมพัทธ์เป็นหนึ่งในสิ่งที่สำคัญที่สุดตัวแปรที่มีผลต่อ CO_2 และการสังเคราะห์ด้วยแสง

2.2.6 องค์ความรู้ที่เกี่ยวข้องกับงานวิจัย

งานวิจัยที่เป็นองค์ความรู้ที่เกี่ยวข้องในการศึกษาในครั้งนี้นั้นมีทั้ง การใช้ปุ่ย, การใช้โรงเรือนอัจฉริยะในการเพาะปลูก, ทฤษฎีเกี่ยวกับ IoT, IoT Protocol ที่ผู้จัดได้ทำการศึกษามาเป็นจำนวน อีก 4 ฉบับ อาทิ งานวิจัยของ

นริศรา ชวนานา [60] ได้นำเสนองานวิจัย ผลของไโคโตซานและปุ๋ยน้ำจากแทนแดง ต่อ ผลผลิตของพักขี้นฉ่าย วิทยาลัยการแพทย์แผนตะวันออก มหาวิทยาลัยรังสิต ได้ระบุไว้ว่าการให้ปุ่ย ขี้นฉ่ายนั้นมักใช้สูตร 15-15-15 หรือ 13-13-21 โดยใช้ในอัตรา 30-50 กิโลกรัม / ไร่ และควรใส่ปุ่ย ในโตรเจนเสริมในอัตรา 10-20 กิโลกรัม / ไร่ โดยเริ่มใส่เมื่อก้ามีอายุได้ 10-15 วัน และปุ่ยในโตรเจน นั้นควรแบ่งใส่ 2 ครั้งโดยใส่แบบห่วง

รัตติกานต์ วินูลัยพาณิช [61] ได้นำเสนองานวิจัยเกี่ยวกับการออกแบบระบบโรงเรือน อัจฉริยะเพื่อส่งเสริมความหลากหลายแก่ผู้สูงอายุโดยใช้เทคโนโลยีอินเตอร์เน็ตเพื่อทุกสรรพสิ่ง ระบุ ไว้ว่า ประเทศไทยเป็นประเทศที่มีสภาพอากาศแปรปรวนตลอดทั้งปีซึ่งเป็นปัจจัยที่ส่งผลต่อพืช จึง เห็นสมควรว่า โรงเรือนนั้นมีความสามารถในการควบคุมสภาพแวดล้อมและสภาพอากาศให้เหมาะสม กับพืชแต่ละชนิดได้ ช่วงป้องกันลม และฝน ที่อาจจะก่อให้เกิดความเสียหายต่อพืชได้ และยังสามารถ ป้องกันศัตรุพืชจากการหมาดได้ด้วย ในการเลือกโรงเรือนนั้นต้องคำนึงถึงความเหมาะสมของพืชที่และ พืชที่ปลูกด้วย

เจษฎา ขอฤทธิ์ และคณะ [62] ได้นำเสนองานวิจัยในหัวข้อ การประยุกต์ใช้เทคโนโลยี Internet of Things ในการควบคุมระบบส่องสว่างสำหรับบ้านอัจฉริยะ มีวัตถุประสงค์ในการ ออกแบบชุดต้นแบบสำหรับการควบคุมไฟส่องสว่างภายในครัวเรือนโดยใช้ Protocol MQTT ในการ สื่อสารระหว่าง Microcontroller และ Application ที่เขียนขึ้นเองบนสมาร์ทโฟนผ่านทาง NETPIE

สุวิทย์ ภูมิฤทธิ์กุล และ ปานวิทย์ ธุระนุติ [63] ได้เสนองานวิจัยเรื่อง Internet of Thing เพื่อการเฝ้าระวังและเตือนภัยต่อสุขภาพของมนุษย์ และการวิเคราะห์ข้อมูลที่ได้โดยใช้โปรแกรม Hadoop โดยมีวัตถุประสงค์เพื่อนำเสนอแนวทางการประมวลผลข้อมูลขนาดใหญ่ในการวิเคราะห์ ข้อมูลที่ถูกจัดเก็บเอาไว้บน Cloud ซึ่งจะเป็นประโยชน์ต่อการเฝ้าระวังและเตือนภัยต่อสุขภาพของ มนุษย์

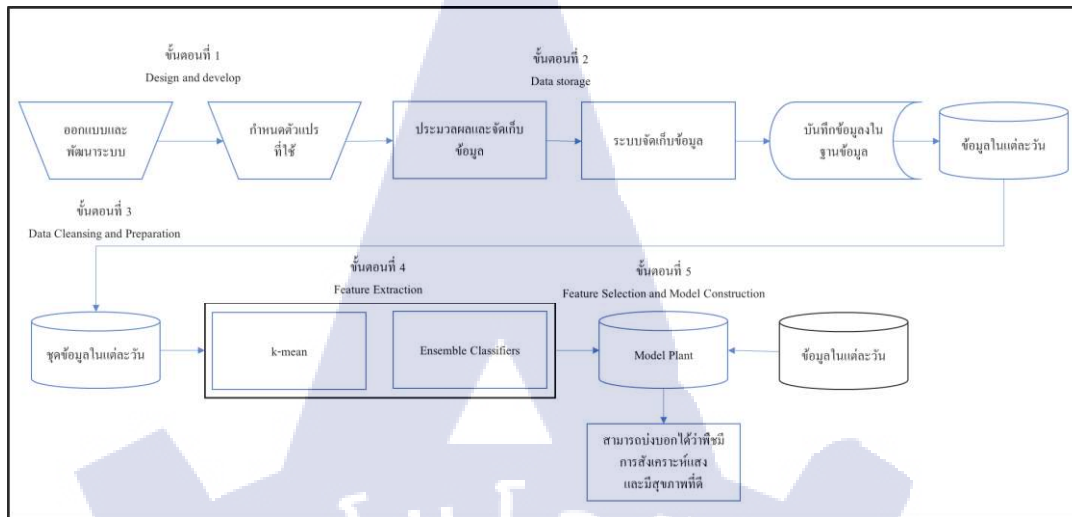
บทที่3

วิธีการดำเนินการงานวิจัย

งานวิจัยเรื่อง การศึกษาปัจจัยที่มีผลต่อการสังเคราะห์ด้วยแสงและระยะเวลาในการรับแสง ต่อวันที่พืชใช้ในการเจริญเติบโตผ่านระบบ IoT นักศึกษาได้มีขั้นตอนการวิจัยดังนี้

ตารางที่ 3.1 ขั้นตอนการดำเนินงานวิจัย

| ขั้นตอนหลัก | ขั้นตอนย่อย |
|----------------------|--|
| ขั้นตอนการนิยามปัญหา | ขั้นที่ 1 การวิเคราะห์ปัญหางานวิจัย ขั้นที่ 2 ศึกษาทฤษฎีและงานวิจัยที่เกี่ยวข้องกับดัชนีพืชพรรณ, การสังเคราะห์ด้วยแสง และวิธีการปลูกข้าวถ่าย |
| ขั้นตอนการดำเนินงาน | ขั้นที่ 3 ออกแบบและพัฒนาระบบควบคุมและระบบเก็บข้อมูล ขั้นที่ 4 จัดระเบียบข้อมูลที่ทำการเก็บมาจากเซ็นเซอร์ให้ง่ายต่อการนำไปวิเคราะห์ ขั้นที่ 5 วิเคราะห์ข้อมูลเพื่อหาปัจจัยที่มีผลต่อการสังเคราะห์ด้วยแสง ขั้นที่ 6 พัฒนาโมเดลต้นแบบสำหรับการปลูกข้าวถ่าย |
| ขั้นตอนการสรุปผล | ขั้นที่ 7 จัดทำและนำเสนอทบทวนทางวิชาการสำหรับงานวิทยานิพนธ์ ขั้นที่ 8 สรุปผลและจัดทำวิทยานิพนธ์ |



รูปที่ 3.1 กรอบแนวคิด

กรอบแนวคิดสำหรับงานวิจัยนี้ ประกอบด้วย ขั้นตอนดังนี้

ขั้นที่ 1 Design and develop เริ่มจากการออกแบบและพัฒนาระบบเพื่อใช้ในการควบคุมสภาพแวดล้อมภายในโรงเรือนขนาดเล็กพร้อมทั้งเก็บข้อมูลจากเซ็นเซอร์ และทำการประมวลผลเพื่อใช้ในการควบคุมสภาพแวดล้อมภายในแล้วหลังจากนั้นจึงส่งไปเก็บไว้ยังฐานข้อมูล

ขั้นที่ 3 Data Cleaning and preparation เมื่อร่วบรวมข้อมูลจากเซ็นเซอร์ได้จำนวนที่มากพอแล้วจึงนำมาทำการทำความสะอาดและจัดกลุ่มข้อมูลให้อยู่ภายใต้คอลัมน์เดียวกัน โดยมีเวลา และวันที่เป็น Primary Key ในการจัดกลุ่มข้อมูล

ขั้นที่ 4 Feature Extraction นำข้อมูลที่ทำการจัดระเบียบเรียบร้อยแล้วเข้าสู่อัลกอริทึม k-mean เพื่อใช้ในการแบ่งกลุ่มข้อมูลเพื่อสร้าง Label ในการ Classifier เพื่อหาความสัมพันธ์ของปัจจัยที่ใช้ในการสังเคราะห์ด้วยแสง โดยผู้วิจัยได้เลือกใช้เทคนิค Ensemble Vote โดยมีอัลกอริทึม Random Forest, Naïve Bayes และ Neural Network ที่ใช้ในการวิเคราะห์ในงานวิจัยขึ้นนี้

ขั้นที่ 5 Feature Selection and Model Construction จากนั้นทำการให้อัลกอริทึมทั้ง 3 ออกคะแนนเสียงในการประมวลผล Howard เพื่อเพิ่มความแม่นยำในการวิเคราะห์และปรับปรุงพัฒนาการเพาะปลูกพืชต่อไป

ตารางที่ 3.2 แผนการดำเนินงานวิจัย

| การดำเนินการ | 2019 | | | | | | 2020 | | | | | | | | | | | | |
|-----------------------------|-------|---|---|---|---|---|------|---|---|----|----|----|---|---|---|---|----|----|----|
| | เดือน | | | | | | | | | | | | 6 | 7 | 8 | 9 | 10 | 11 | 12 |
| | 1. | 2 | 3 | 4 | 5 | 6 | 7 | 8 | 9 | 10 | 11 | 12 | | | | | | | |
| ค้นหาหัวข้อที่สนใจ | | | | | | | | | | | | | | | | | | | |
| ทบทวนวรรณกรรม | | | | | | | | | | | | | | | | | | | |
| ร่างเค้าโครงวิทยานิพนธ์ | | | | | | | | | | | | | | | | | | | |
| นำเสนอเค้าโครงวิทยานิพนธ์ | | | | | | | | | | | | | | | | | | | |
| ออกแบบโรงเรือนและระบบควบคุม | | | | | | | | | | | | | | | | | | | |
| เก็บข้อมูลจากเซ็นเซอร์ | | | | | | | | | | | | | | | | | | | |
| วิเคราะห์และประมวลผล | | | | | | | | | | | | | | | | | | | |
| สรุปผลงานวิจัย | | | | | | | | | | | | | | | | | | | |
| เขียนวิทยานิพนธ์ฉบับสมบูรณ์ | | | | | | | | | | | | | | | | | | | |

งานวิจัยเรื่อง การศึกษาปัจจัยที่มีผลต่อการสังเคราะห์ด้วยแสงและระยะเวลาในการรับแสง ต่อวันที่พืชใช้ในการเจริญเติบโตผ่านระบบ IoT มีขั้นตอนดำเนินการ 5 ขั้นตอนดังนี้

3.1 ศึกษาเกี่ยวกับพฤติกรรมและงานวิจัยที่เกี่ยวข้อง

ทบทวนวรรณกรรมที่เกี่ยวข้องกับการสังเคราะห์ด้วยแสงของพืชปัจจัยต่างๆ กระบวนการหายใจระดับเซลล์ของพืช กระบวนการสร้างพลังงานของพืช ตลอดจนวัฏจักรที่พืชใช้ในการสังเคราะห์แสงเพื่อสร้างพลังงานออกมานอกตัวพืชเอง และทบทวนเกี่ยวกับปัจจัยหลักที่พืชใช้ในการดำรงอยู่ไม่ว่า จะเป็น แสง อุณหภูมิ ความชื้น ปริมาณธาตุในดิน ปริมาณน้ำในดิน ไปจนถึง เอนไซม์ที่มีผลต่อการเปิดปิดของปากใบ

3.2 วิเคราะห์ปัญหาที่เป็นปัจจัยของงานวิจัย

3.2.1 ศึกษาข้อมูลและปัญหา

การศึกษาข้อมูลและปัญหาในการวิจัยในครั้งนี้ เป็นส่วนหนึ่งของการหาปัจจัยที่ส่งผลต่อการสังเคราะห์ด้วยแสงของพืช เช่น ลักษณะทางกายภาพและชีวะภาพของพืช กระบวนการสังเคราะห์ด้วยแสง ความสมัมพันธ์ของการสังเคราะห์ด้วยแสงกับสิ่งแวดล้อม การแลกเปลี่ยนและการตอบสนองของพืช เป็นต้น หัวข้อที่กล่าวไปข้างต้นนั้นเป็นกระบวนการและหลักการทำงานชีววิทยา ทำให้สามารถทราบถึงปัจจัยโดยคร่าวๆ ที่พืชใช้ในการสังเคราะห์ด้วยแสง

3.2.2 วิเคราะห์แนวทางปัจจัยที่เกี่ยวข้อง

การเลือกหัวข้อวิจัยของปัญหาที่กล่าวมาจากข้างต้น ทำให้ผู้วิจัยเห็นถึงปัจจัยสำคัญที่มีผลต่อการสังเคราะห์ด้วยแสงของพืชเพื่อนำไปออกแบบระบบตรวจจับและเก็บข้อมูลเพื่อนำมาวิเคราะห์ต่อไปได้ ในการวิเคราะห์การสังเคราะห์ด้วยแสงนั้นจะนำค่า ดัชนีความต่างพืชพรรณมาคิดคำนวณกับปริมาณความชื้นและอุณหภูมิภายในบริเวณโรงเรือนเพื่อดูว่าพืชนั้นมีการสังเคราะห์ด้วยแสงได้มากหรือน้อยต่อปัจจัยที่ทำการกำหนดควบคุมเอาไว้โดยจะนำอุปกรณ์ IoT มาช่วยในการเก็บข้อมูลและคำนวณประสิทธิภาพการสังเคราะห์แสงของพืชและทำการสรุปผลออกมา

3.2.3 เสนอหัวข้อกับอาจารย์ที่ปรึกษา

จากการวิเคราะห์ข้อมูลทางชีววิทยาและปัญหา ทฤษฎีการเรียนรู้การศึกษางานวิจัยที่เกี่ยวข้องต่างๆ ซึ่งผู้วิจัยได้นำมาประยุกต์กับอุปกรณ์ทางด้าน IoT เพื่อสร้างระบบที่ใช้เพื่อรัดปริมาณการสังเคราะห์แสงของพืชต่อวัน ว่าพืชแต่ละชนิดมีความต้องการปัจจัยในการสังเคราะห์ด้วยแสงที่แตกต่างกันทำให้การเจริญเติบโตของพืชเร็วไม่เท่ากัน หลังจากนั้นผู้วิจัยจึงได้รวบรวมข้อมูลที่ศึกษามาเสนอหัวข้อต่ออาจารย์ที่ปรึกษาโดยใช้ชื่อหัวข้อว่า “การศึกษาปัจจัยที่มีผลต่อการสังเคราะห์ด้วยแสงและระยะเวลาในการรับแสงต่อวันที่พืชใช้ในการเจริญเติบโตผ่านระบบ IoT”

3.3 ออกแบบและพัฒนาระบบควบคุมและระบบเก็บข้อมูล

ในส่วนนี้จะเป็นการออกแบบระบบสถาปัตยกรรม, พังก์ชั่น ที่ใช้ในการจัดเก็บข้อมูลและวิธีการวิเคราะห์ข้อมูล ได้ทำการออกแบบฐานข้อมูลที่ใช้จัดเก็บข้อมูลที่ได้รับมาจากเซ็นเซอร์ภายในโรงเรือนขนาดเล็ก หลังจากที่เก็บรวมข้อมูลได้เพียงพอแล้วจึงนำข้อมูลที่ได้มาทำการวิเคราะห์ในขั้นตอนต่อไปโดยใช้ เครื่องมือที่ชื่อว่า RapidMiner Studio ใน การวิเคราะห์และทำนายข้อมูล ให้ได้มาซึ่งโมเดลที่มีประสิทธิภาพในการเพาะปลูก แนวทางในการทดลองจะทำการปลูกขึ้นฝ่ายแบบไฮโดรโปนิกส์เพื่อย้ายต่อการควบคุมสารอาหารจึงใช้เป็นแบบไฮโดรโปนิกส์ชนิดน้ำนึ่งโดยออกแบบให้

มีการควบคุมสภาพแวดล้อมภายในโรงเรือนขนาดเล็กที่ใช้ทำการปลูกพร้อมทั้งมีการเก็บข้อมูลจากเซ็นเซอร์ภายในโรงเรือนเพื่อใช้ในการวิเคราะห์ ภายในตัวโรงเรือนขนาดเล็กจะมีทั้งระบบปรับความชื้นและระบบแสงที่ช่วยในการเจริญเติบโตแก่พืช สามารถปรับแต่ง ระบบแสงรวมทั้งสภาพอากาศภายในให้เหมาะสมพืชในแต่ละชนิดได้

3.4 จัดระเบียบข้อมูลที่ทำการเก็บมาจากการเชื่อมโยงให้ง่ายต่อการนำไปวิเคราะห์

การทำความสะอาดและจัดระเบียบข้อมูลเพื่อเตรียมไปใช้ในการวิเคราะห์ จำเป็นต้องทำให้ข้อมูลนั้นมีประสิทธิภาพเพื่อใช้ในการแยกแยะปัจจัยที่สิ่งผลต่อการสังเคราะห์ด้วยแสงของพืช เนื่องจากหากมีความคลาดเคลื่อนของข้อมูลอาจส่งผลให้ผลลัพธ์จากการวิเคราะห์ผิดพลาดได้

3.5 วิเคราะห์ข้อมูลเพื่อหาปัจจัยที่มีผลต่อการสังเคราะห์ด้วยแสง

จากการศึกษาพบว่า ปริมาณ CO_2 , O_2 อุณหภูมิ, ความชื้น, แสง น่าจะเป็นปัจจัยสำคัญที่ส่งผลต่อการสังเคราะห์แสงของพืช โดยการนำค่าดัชนีความต่างพืชพรรณ (NDVI) ที่ได้จากการถ่ายภาพด้วยกล้องที่มีความสามารถถ่ายภาพที่มีคลื่นแม่เหล็กไฟฟ้าในช่วง NIR นำมาเข้าสมการ NDVI ดังสมการที่ (2) ที่กล่าวไปแล้ว เพื่อทำการสังเคราะห์ค่า NDVI ที่พืชมี ณ ช่วงเวลานั้น เทียบกับอุณหภูมิและความชื้นสัมพัทธ์ขณะนั้น และสร้างกราฟเพื่อดูความสัมพันธ์ของค่าทั้งสอง จากนั้นจึงนำวิเคราะห์ปัจจัยที่ส่งผลให้พืชนั้นมีการสังเคราะห์แสงที่เพิ่มมากขึ้นไม่ว่าจะเป็นการเปรียบเทียบกันระหว่าง NDVI กับ ความชื้น, NDVI กับ อุณหภูมิ ภายใต้โรงเรือนขนาดเล็ก



บทที่ 4

ผลการวิจัย

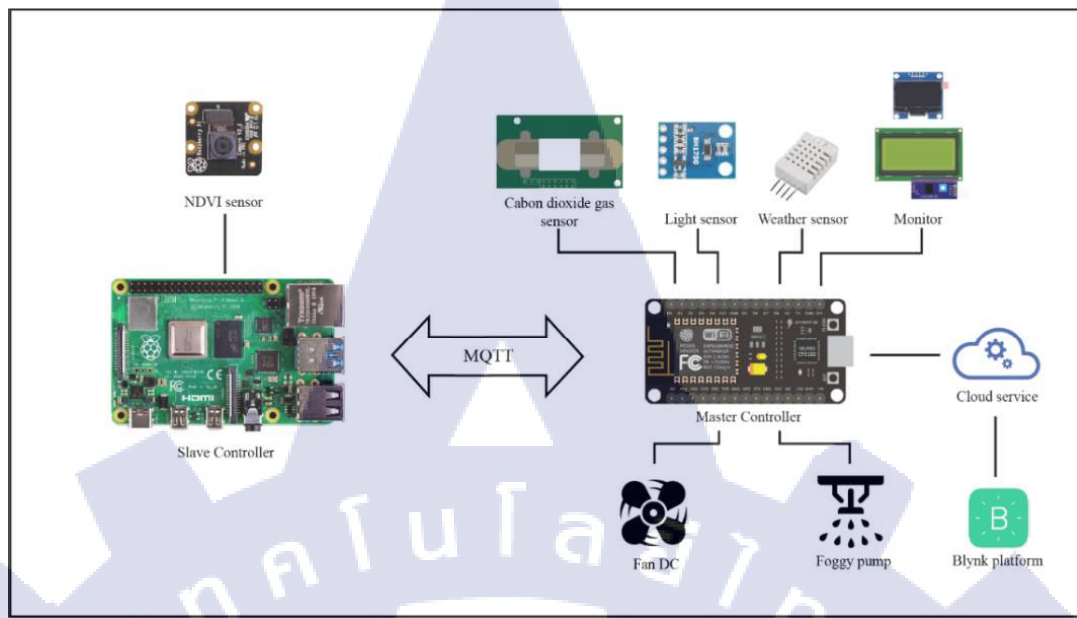
จากการศึกษาแนวคิด ทฤษฎี และงานวิจัยต่างๆที่เกี่ยวข้องเพื่อเป็นองค์ความรู้สำหรับ การศึกษาปัจจัยที่มีผลต่อการสังเคราะห์ด้วยแสงและระยะเวลาในการรับแสงต่อวันที่พืชใช้ในการ เจริญเติบโตผ่านระบบ IoT ผู้วิจัยได้ทำการทดลองเพื่อศึกษาและสร้างโมเดลในการปลูกพืชในโรงเรือน ขนาดเล็กโดยใช้อุปกรณ์ IoT ในการควบคุมและดูแลสภาพแวดล้อมภายในโรงเรือนพร้อมทั้งเก็บ ข้อมูลที่ได้จากเซ็นเซอร์ลงบนฐานข้อมูลเพื่อใช้ในการวิเคราะห์หาปัจจัยที่ส่งผลต่อการสังเคราะห์ด้วย แสง

4.1 ระบบ IoT เพื่อวัดค่า NDVI และสภาพแวดล้อมที่ใช้ในการปลูกพืช

งานวิจัยฉบับนี้ได้ทำการออกแบบและพัฒนาระบบสถาปัตยกรรมเพื่อใช้ในการช่วยเก็บ ข้อมูลและควบคุมสภาพแวดล้อมภายในโรงเรือนขนาดเล็ก โดยระบบสถาปัตยกรรมจะแบ่งออกเป็น 2 ระบบอยู่ด้วยกัน Master และ Slave พร้อมทั้งใช้การสื่อสารระหว่างระบบทั้ง 2 ด้วย โปรโตคอล MQTT ซึ่งเป็นโปรโตคอลสำหรับการสื่อสารแบบ M2M ในส่วนของ Master นั้นเป็นส่วนควบคุมหลัก ซึ่งจะรับค่าจากเซ็นเซอร์ที่ติดตั้งเอาไว้และค่อยควบคุมสภาพแวดล้อมภายในให้เป็นไปตามที่กำหนด อีกทั้งยังค่อยสั่งการไปยัง Slave เพื่อทำการบันทึกภาพและคำนวณค่าดัชนีพืชพรรณ และค่อยรับค่า ดัชนีพืชพรรณกลับมาจาก Slave ผ่านทางโปรโตคอล MQTT เมื่อข้อมูลส่งกลับมายัง Master และนั้น Master จะทำการส่งข้อมูลขึ้นไปเก็บบน Cloud Server ดังรูปที่ 4.1

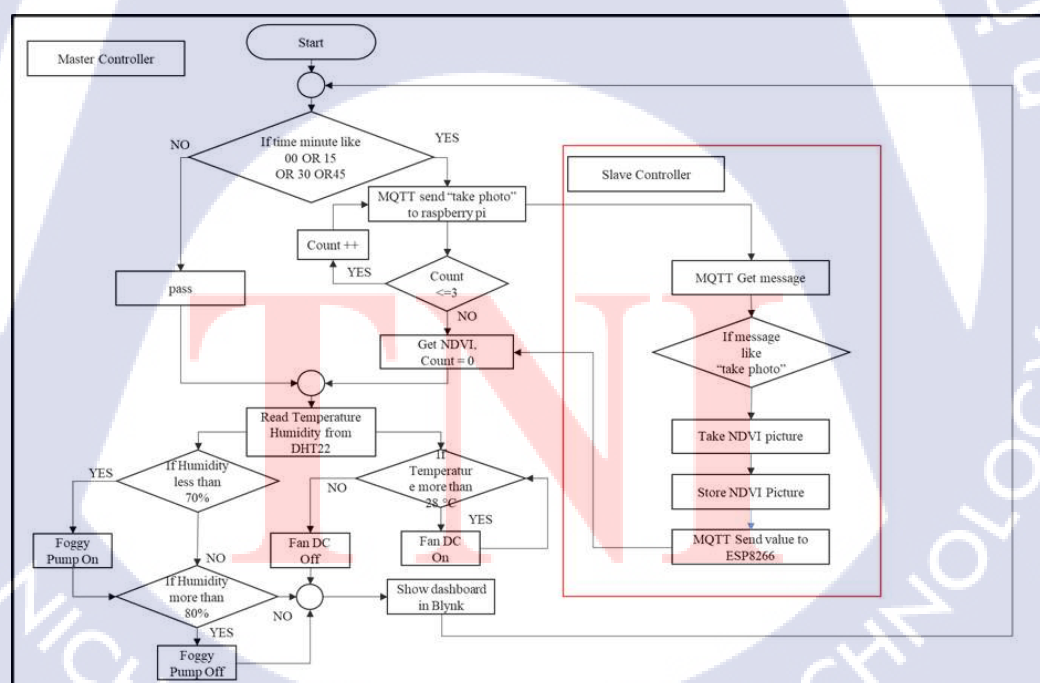


THAI - NICHİ INSTITUTE OF TECHNOLOGY



รูปที่ 4.1 สถาปัตยกรรมระบบภายใน

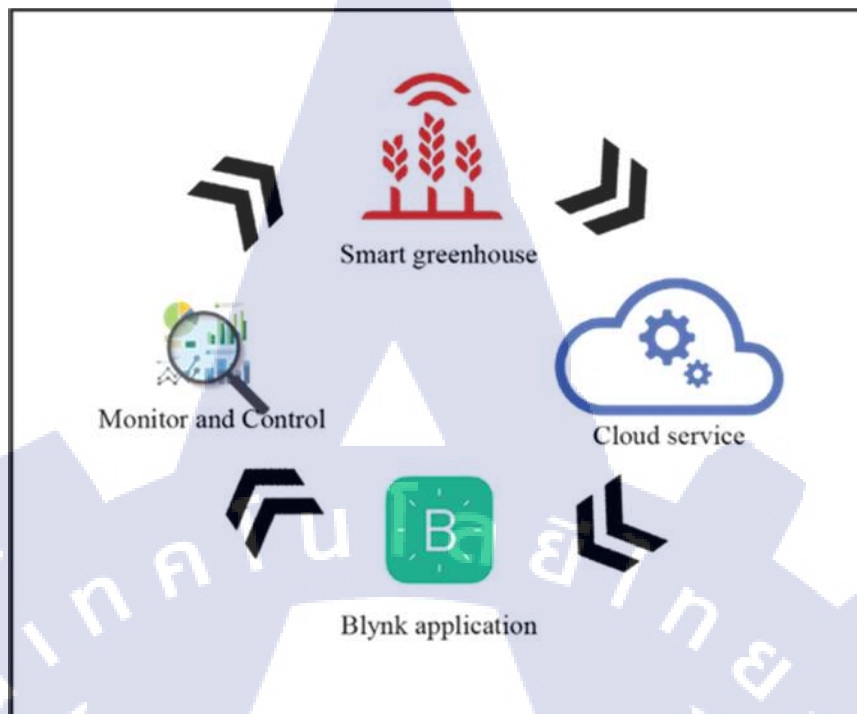
4.1.1 โครงสร้างและการทำงานของระบบ



รูปที่ 4.2 รูปแบบการทำงานของระบบ ทั้ง 2 ส่วน

จากรูปที่ 4.2 แสดงการทำงานของระบบโดยเริ่มจาก Master Controller ที่ทำการรับตรวจสอบเวลาในหน่วยของ “นาที” โดยเวลาในหน่วยนาทีที่ระบบจะเริ่มส่งการไปยัง Slave Controller มีดังนี้ 0, 15, 30, และ 45 ในหน่วยของนาที เมื่อเข้าเงื่อนไขข้างต้นแล้วระบบจะทำการส่งข้อความ “take photo” เป็นจำนวน 3 ครั้ง ไปยัง Slave Controller ผ่านทางโปรโตคอล MQTT ซึ่งใช้เป็นโปรโตคอลในการสื่อสารระหว่าง Controller ทั้งสอง ซึ่งเป็นแบบ M2M และเมื่อครบครั้งที่ 3 จะทำการรีเซตค่า Counter ให้กลับไปอยู่ที่ 0 ครั้งและรอรับค่า NDVI จากผู้ของ Slave Controller หลังจากนั้นจะดำเนินการทำทำงานขั้นตอนต่อไป หากไม่เข้าเงื่อนไขในการตรวจสอบเวลา ระบบจะข้ามไปทำงานในขั้นตอนต่อไปเช่นเดียวกัน ในส่วนของ Slave Controller หลังจากที่ได้รับข้อความจาก Master Controller แล้วนั้นจะทำการตรวจสอบว่าเป็นข้อความว่า “take photo” หรือไม่ เมื่อเงื่อนไขดังกล่าวถูกต้องแล้วนั้นจะเริ่มทำการบันทึกรูปภาพ NDVI จากกล้องที่ติดตั้งเอาไว้ภายในโรงเรือนพร้อมทั้งทำการคำนวนตามสมการของดัชนีพืชพรรณเพื่อให้ได้มาซึ่งภาพถ่ายและค่าดัชนีพืชพรรณพร้อมทั้ง ลงบนภายในอุปกรณ์และส่งข้อความซึ่งเป็นค่า NDVI กลับไปยัง Master Controller ที่กำลังรอรับค่าอยู่ ซึ่งจะทำการบันทึกภาพถ่ายและส่งข้อความกลับไปเป็นจำนวน 3 รอบ ตามที่รับคำสั่งมากจาก Master Controller

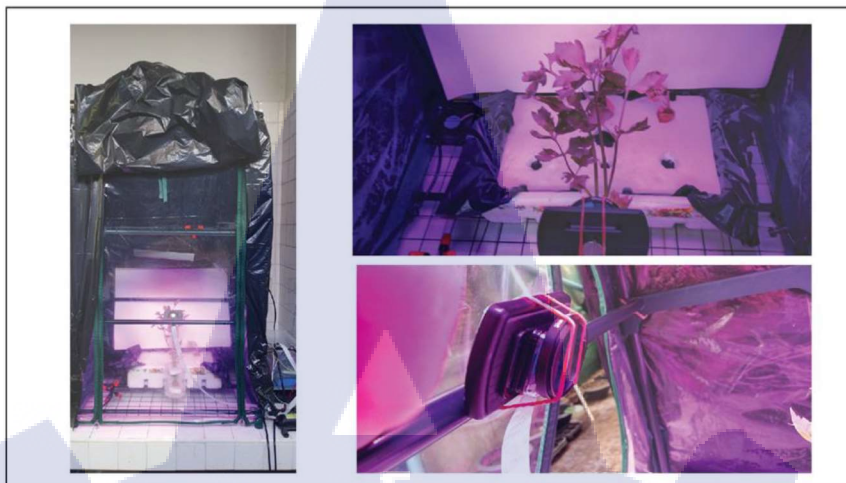
ในขั้นตอนการทำงานถัดมานั้นคือการรับค่าสภาพแวดล้อมจากเซ็นเซอร์ที่ติดตั้งเอาไว้ภายในโรงเรือนโดยจะทำการอ่านค่าอุณหภูมิและความชื้นสัมพัทธ์เพื่อนำมาประมวลผลและความคุณการทำงานของสปริงเกอร์เพื่อสร้างฟอยล์ของน้ำเพื่อเพิ่มความชื้นสัมพัทธ์ และพัดลมระบบบายอากาศเพื่อให้เกิดการหมุนเวียนอากาศและระบายอากาศออกจากภายในโรงเรือน ในขั้นตอนสุดท้าย ในส่วนของ Master Controller นั้นจะทำการส่งค่าที่ได้รับมาทั้งหมดไปร่วมเป็น ค่าอุณหภูมิ, ความชื้นสัมพัทธ์, และค่าดัชนีพืชพรรณ ไปยัง Server ของ Blynk ซึ่งเป็นแพลตฟอร์มที่ใช้สำหรับการสร้าง Dashboard ของ IoT และยังสามารถนำข้อมูลที่บันทึกลงบนฐานข้อมูลของ Blynk ออกมาในรูปแบบของ CSV เพื่อนำมาใช้ในการวิเคราะห์ต่อไป เพื่อค้นหาโมเดลในการปลูกที่เหมาะสมแก่พืช ดังรูปที่ 4.3



รูปที่ 4.3 รูปแบบการเก็บและวิเคราะห์ข้อมูล

4.1.2 โรงเรือนที่ใช้ในการเพาะปลูก

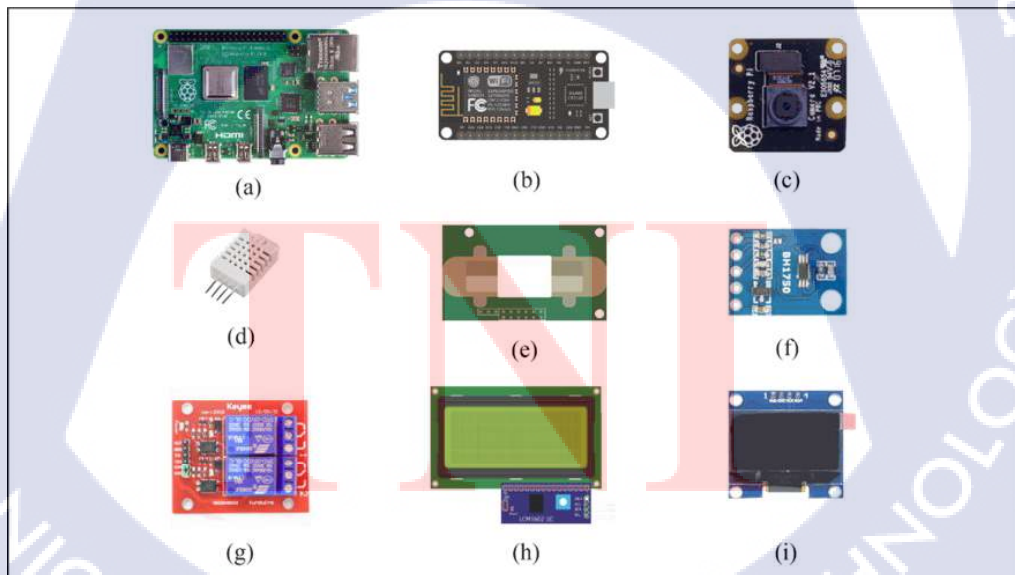
ในการเพาะปลูกการกำหนดปัจจัยที่ต้องควบคุมนั้นจำเป็นต้องสร้างสภาพแวดล้อมขึ้นมาซึ่ง การปลูกภายนอกหรือแบบธรรมชาตินั้นไม่สามารถควบคุมสภาพอากาศและตัวแปรต่าง ๆ ได้ จึงต้อง มีการปลูกภายนในพื้นที่ปิดซึ่งง่ายต่อการควบคุมสภาพแวดล้อม เช่น อุณหภูมิ, ความชื้น, ปริมาณแสง, เวลาในการรับแสง โดยโรงเรือนที่ใช้ในการทำวิจัยครั้งนี้จะเป็นโรงเรือนที่มีขนาดความกว้าง 69 เซนติเมตร ยาว 49 เซนติเมตร และสูง 126 เซนติเมตร เป็นโครงเหล็กที่มีตะแกรงชั้นวาง 3 ชั้น พร้อม ทั้งคุณด้วย พลาสติก PVC แบบใส แต่ในการนี้ที่ต้องการควบคุมปริมาณแสงด้วยนั้นจำเป็นต้องทำการ คลุมด้วยถุงดำอีกชั้นเพื่อป้องกันแสงเข้าไปภายใน และมีการติดตั้งเซ็นเซอร์เพื่อรับรู้สภาพแวดล้อม ภายในพร้อมทั้งควบคุมให้อยู่ภายใต้สภาพแวดล้อมที่ต้องการ โดยชั้นล่างสุดนั้นจะเป็นบริเวณที่ใช้ สำหรับปลูกพืชไฮโดรโปนิกส์ ชั้น 3 จะเป็นบริเวณที่ติดตั้งพัดลมระบายอากาศ และเป็นบริเวณที่ติดตั้ง ไฟสำหรับเพาะปลูกพืช ดังรูปที่ 4.4



รูปที่ 4.4 ภายนอกและภายในโรงเรือนขนาดเล็ก

4.1.3 ส่วนประกอบสำคัญภายในโรงเรือน

ส่วนประกอบที่จำเป็นของระบบhardtwareที่นำเสนอไปในรูปที่ 4.1 นั้นประกอบไปด้วยบอร์ดที่ใช้ในการควบคุมระบบและรับข้อมูล, เซ็นเซอร์อุณหภูมิและความชื้น, เซ็นเซอร์ NDVI, ดังรูปที่ 4.5



รูปที่ 4.5 อุปกรณ์hardwareสำหรับระบบ ตรวจสอบการเจริญเติบโตของพืช (a) Raspberry pi 3 b+, (b) ESP8266 – 12E, (c) Pi NoIR Camera, (d) DHT22, (e) Carbon dioxide MH-Z14A, (f) Photoelectric module Sensor BH1750, (g) Relay, (h) LCD screen, (i) OLED screen

a) บอร์ด Raspberry Pi 3 b+ [64]

Raspberry Pi เป็นบอร์ดคอมพิวเตอร์ขนาดเล็ก มีความสามารถในการใช้งานทั่วไป และ มีคุณสมบัติเด่น คือ ติดต่อ และความคุ้มอุปกรณ์อิเล็กทรอนิกส์ได้ ใช้ระบบปฏิบัติการ Raspbian

b) บอร์ดควบคุม ESP8266-12E [65]

ESP8266-12E เป็นบอร์ดไมโครคอนโทรลเลอร์สำหรับสั่งการ ควบคุม สามารถรับค่าจากเซ็นเซอร์ได้ทั้งดิจิตอลและอนาล็อก มีคุณสมบัติเด่นคือ สามารถเชื่อมต่ออินเทอร์เน็ตผ่านระบบไร้สายได้โดยไม่ต้องติดตั้งโมดูลเสริม

c) Pi NoIR Camera V2 [66]

Pi NoIR Camera คือกล้องที่มีความสามารถถ่ายภาพในช่วงคลื่นแม่เหล็กไฟฟ้าชนิดอินฟารे�ดได้ โดยนำภาพถ่ายดังกล่าวมาทำการคำนวณเชิงคณิตศาสตร์เพื่อสังเคราะห์ข้อมูลค่าของ NDVI ขึ้นมาโดยใช้สมการคณิตศาสตร์

d) เซ็นเซอร์วัดอุณหภูมิและความชื้น DHT22 [67]

DHT22 เซ็นเซอร์สภาพอากาศมีความสามารถในการวัดอุณหภูมิและความชื้น มีช่วงในการวัดอุณหภูมิอยู่ที่ -40 ถึง 80 องศาเซลเซียส และช่วงในการวัดความชื้นอยู่ที่ 0 ถึง 100 %

e) Carbon dioxide Sensor MH-Z14A [68]

MH-Z14A เป็นเซ็นเซอร์ที่ใช้ในการตรวจจับปริมาณ CO₂ ในอากาศโดยใช้หลักการของ NDIR ในการตรวจจับการดูดกลืนของสเปกตรัม ซึ่งมีความแม่นยำสูง มีหน่วย Output เป็น Analog, PWM, และ Digital (UART) เซ็นเซอร์ต้องใช้ไฟเลี้ยง 5V ถึงจะสามารถทำงานได้ และก่อนการใช้งานต้องมีการรอมอัพเซ็นเซอร์เป็นระยะเวลา 3 นาที เพื่อให้มีความเที่ยงตรงในการวัด

f) Photoelectric module Sensor BH1750 [69]

BH1750 เป็นเซ็นเซอร์ที่มีความสามารถในการวัดความเข้มแสงตั้งแต่ 1 ถึง 65535 lx มีความละเอียด 16 บิต ใช้ไฟเลี้ยง 3 ถึง 5 V การเชื่อต่อเป็นแบบ I2C ความถี่สูงสุดที่ 400 kHz

g) Relay [70]

อุปกรณ์อิเล็กทรอนิกส์ที่ใช้กันอย่างกว้างขวางในวงจรควบคุมอัตโนมัติ ใช้ในการเปิดและปิดอุปกรณ์ไฟฟ้าต่างๆ โดยใช้อำนาจแม่เหล็กไฟฟ้าทำให้วงจรไฟฟ้าทำงาน รีเลย์มีส่วนประกอบสำคัญคือ ชุด kontakt และส่วนของหน้าสัมผัสทำหน้าที่คล้ายสวิตซ์ คือเมื่อรีเลย์ได้รับการจ่ายไฟแล้วจะทำให้หน้าสัมผัสถูกดักกันโดยเป็นวงจรปิด ถ้าไม่จ่ายไฟหน้าสัมผัสระยะกอกอกกันโดยเป็นวงจร เปิดรีเลย์ถูกนำไปใช้ในอุปกรณ์เครื่องใช้ไฟฟ้าและเครื่องจักรต่างๆ เพื่อควบคุมการทำงานของกระแสไฟฟ้า ช่วยให้การทำงานมีประสิทธิภาพมากขึ้นและป้องกันไม่ให้มีการทำงานผิดปกติ

h) LCD screen [71]

ส่วนแสดงผลที่ทำงานผ่านการสื่อสารแบบ I2C ซึ่งง่ายต่อการเชื่อมต่อและนำไปใช้งานในการแสดงค่าต่างๆที่ได้วัดได้จากเซ็นเซอร์ผ่านไมโครคอนโทรลเลอร์โดยจะเป็นหน้าจอ LCD 20 ดิจิต จำนวน 4 ແлаว

i) OLED Display [72]

ส่วนแสดงผลที่ทำงานผ่านการสื่อสารแบบ I2C ซึ่งง่ายต่อการเชื่อมต่อและนำไปใช้งานในการแสดงค่าต่างๆที่ได้วัดได้จากเซ็นเซอร์ผ่านไมโครคอนโทรลเลอร์โดยจะเป็นหน้าจอ LED ขนาด 128×64 Dot Matrix

4.1.4 การมอนิเตอร์การสังเคราะห์ด้วยแสงด้วยภาพถ่าย NDVI และระบบควบคุม

ในการออกแบบระบบควบคุมภายในโรงเรือนขนาดเล็ก กำหนดให้มีตัวแปรสำคัญ 2 ตัว ประชีงได้แก่

(1) สภาพแวดล้อมภายใน

ระบบจะทำการประมวลผลตามเงื่อนไขที่ตั้งค่าเอาไว้เมื่อถึงค่าที่กำหนดจะส่งการเปิดสปริงเกอร์เพื่อเพิ่มความชื้นให้แก่ภายในและเปิดพัดลมระบายอากาศเมื่ออุณหภูมิภายในสูงกว่าที่กำหนดเอาไว้โดยอัตโนมัติ

(2) เวลา

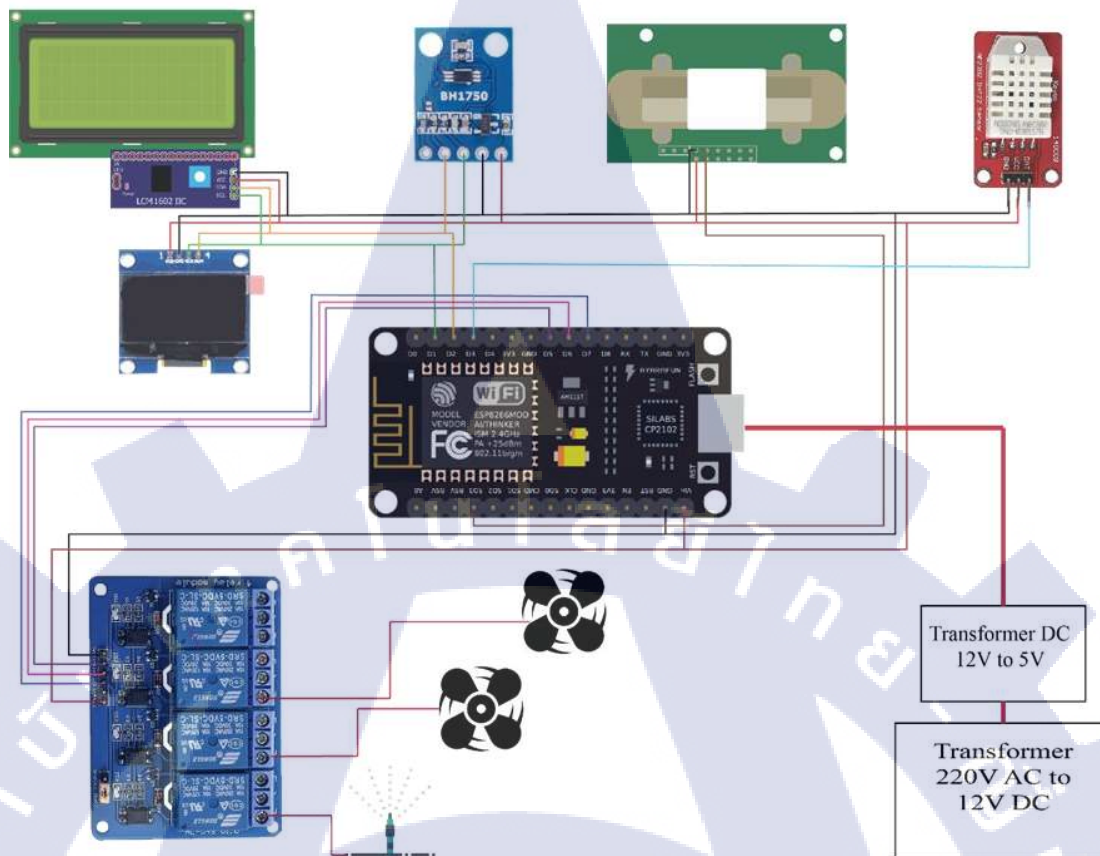
ระบบจะทำการส่งข้อความไปยัง Raspberry pi เพื่อทำการถ่ายภาพ NDVI เป็นจำนวน 3 ภาพ โดยอัตโนมัติในทุกๆ 15 นาที ตามที่ตั้งเวลาเอาไว้

โดยรูปของระบบควบคุมนั้นแสดงดังรูปที่ 4.6 และรูปแบบการต่อวงจรของส่วนควบคุม (Master) และส่วน ถูกควบคุม (Slave) นั้นจะแสดงดังรูปที่ 4.7 และ รูปที่ 4.8 ตามลำดับ

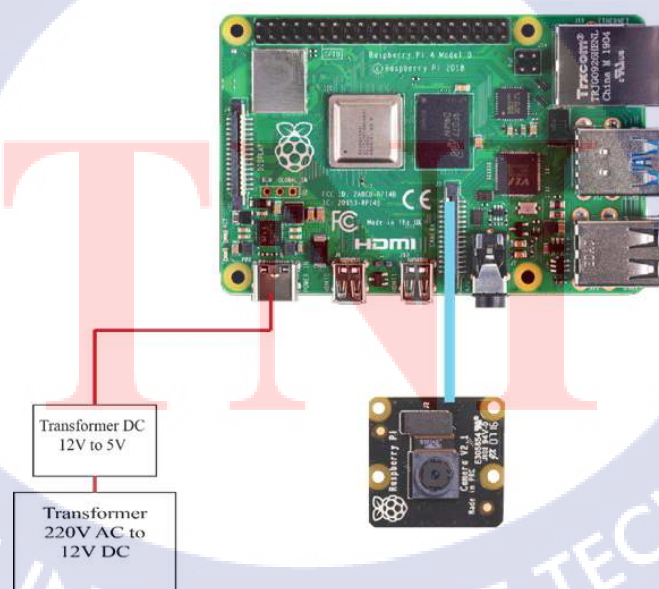




รูปที่ 4.6 ระบบควบคุมภายในและระบบแสดงผลหน้าจอเรือน

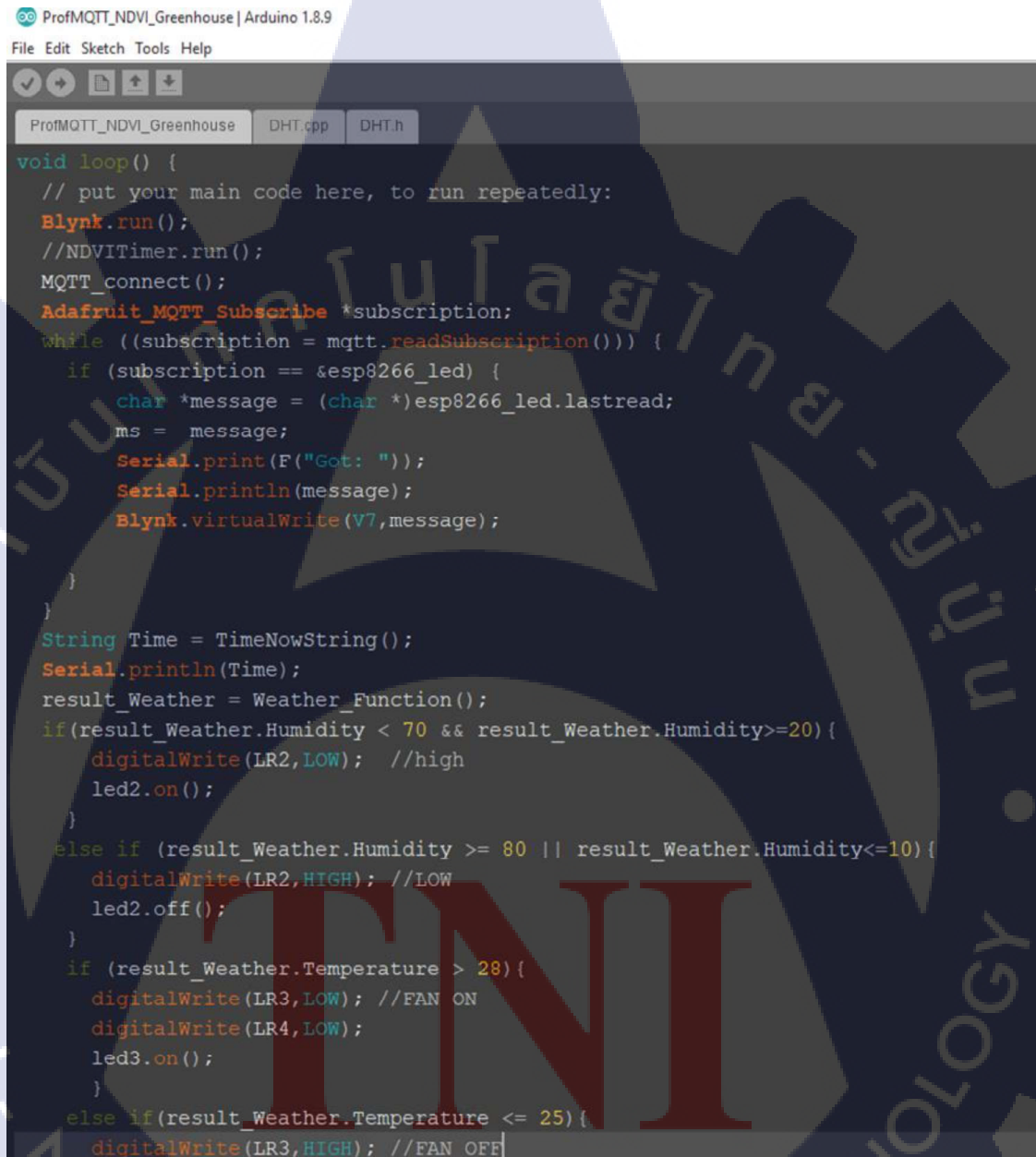


รูปที่ 4.7 การต่อวงจรส่วนควบคุม (Master)



รูปที่ 4.8 การต่อวงจรส่วนถูกควบคุม (Slave)

ในการเตรียมการทดลองผู้วิจัยได้ทำการอัพโหลดสคริปต์ที่ได้ทำการพัฒนาเอาไว้ลงบนอุปกรณ์ (ESP8266-12E) โดยใช้โปรแกรม Arduino IDE ในการอัพโหลดดังรูป 4.9 แสดงตัวอย่างสคริปต์ที่ผู้วิจัยได้ทำการพัฒนาขึ้นมา โดยสคริปต์แบบสมบูรณ์จะแสดงอยู่ภายในภาคผนวก



```

ProfMQTT_NDVI_Greenhouse | Arduino 1.8.9
File Edit Sketch Tools Help
DHT.cpp DHT.h
void loop() {
    // put your main code here, to run repeatedly:
    Blynk.run();
    //NDVITimer.run();
    MQTT_connect();
    Adafruit_MQTT_Subscribe *subscription;
    while ((subscription = mqtt.readSubscription()) != NULL) {
        if (subscription == &esp8266_led) {
            char *message = (char *)esp8266_led.lastread;
            ms = message;
            Serial.print(F("Got: "));
            Serial.println(message);
            Blynk.virtualWrite(V7,message);

        }
    }
    String Time = TimeNowString();
    Serial.println(Time);
    result_Weather = Weather_Function();
    if(result_Weather.Humidity < 70 && result_Weather.Humidity>=20){
        digitalWrite(LR2,LOW); //high
        led2.on();
    }
    else if (result_Weather.Humidity >= 80 || result_Weather.Humidity<=10){
        digitalWrite(LR2,HIGH); //LOW
        led2.off();
    }
    if (result_Weather.Temperature > 28){
        digitalWrite(LR3,LOW); //FAN ON
        digitalWrite(LR4,LOW);
        led3.on();
    }
    else if(result_Weather.Temperature <= 25){
        digitalWrite(LR3,HIGH); //FAN OFF
    }
}

```

รูปที่ 4.9 ตัวอย่างสคริปต์ที่ทำการอัพโหลดลงบน ESP8266-12E

ทั้งนี้ผู้วิจัยได้ทำการพัฒนาโปรแกรมในการถ่ายภาพ NDVI โดยใช้โปรโตคอล MQTT ในการสื่อสารระหว่าง Raspberry pi กับ ESP8266-12E เพื่อให้ ESP8266-12E ซึ่งเป็น Main Controller

สั่งการให้ Raspberry pi ทำการถ่ายภาพทุกๆ 15 นาที รูปที่ 4.10 แสดงถึงสคริปต์ที่ใช้ในการรับ
คำสั่งและประมวลผลภาพถ่ายจาก Pi NoIR Camera เป็นภาพ NDVI

Task Manager pi@pi: ~ My Drive - Google Drive ProjectNDVI Thonny - /home/pi/_

New Load Save Run Debug Over Into Out Stop Zoom Quit

mqttnrvi.py *

```
101
102 def run():
103
104     ##### Start MQTT Function #####
105     def on_connect(client, userdata, flags, rc):
106         print("Connected with result code " + str(rc))
107         client.subscribe("/leds/pi")
108
109     def on_message(client, userdata, msg):
110         print(msg.topic+" "+str( msg.payload))
111         if msg.topic == '/leds/pi':
112             if msg.payload == b'TakePhoto':
113                 curtime = datetime.datetime.now()
114                 formattedTime = curtime.strftime("%Y-%m-%d-%H:%M:%S")
115                 client.publish('/leds/esp8266', str("{: .3f}").format(ndvi.Mean))
116                 cv2.imwrite("/home/pi/Desktop/ProjectNDVI/MQTT_takephoto/NDVI"+formattedTime+".jpg", combined)
117
118                 GPIO.output(LED_PIN, GPIO.HIGH)
119                 sleep(1) # 1sec
120                 GPIO.output(LED_PIN, GPIO.LOW)
121
122             elif msg.payload == b'TOGGLE':
123
124                 GPIO.output(LED_PIN, not GPIO.input(LED_PIN))
125
126     # Create MQTT client and connect to localhost, i.e. the Raspberry Pi running
127     # this script and the MQTT server.
128
129     ##### End of MQTT Function #####
130     with picamera.Picamera() as camera:
```

Shell

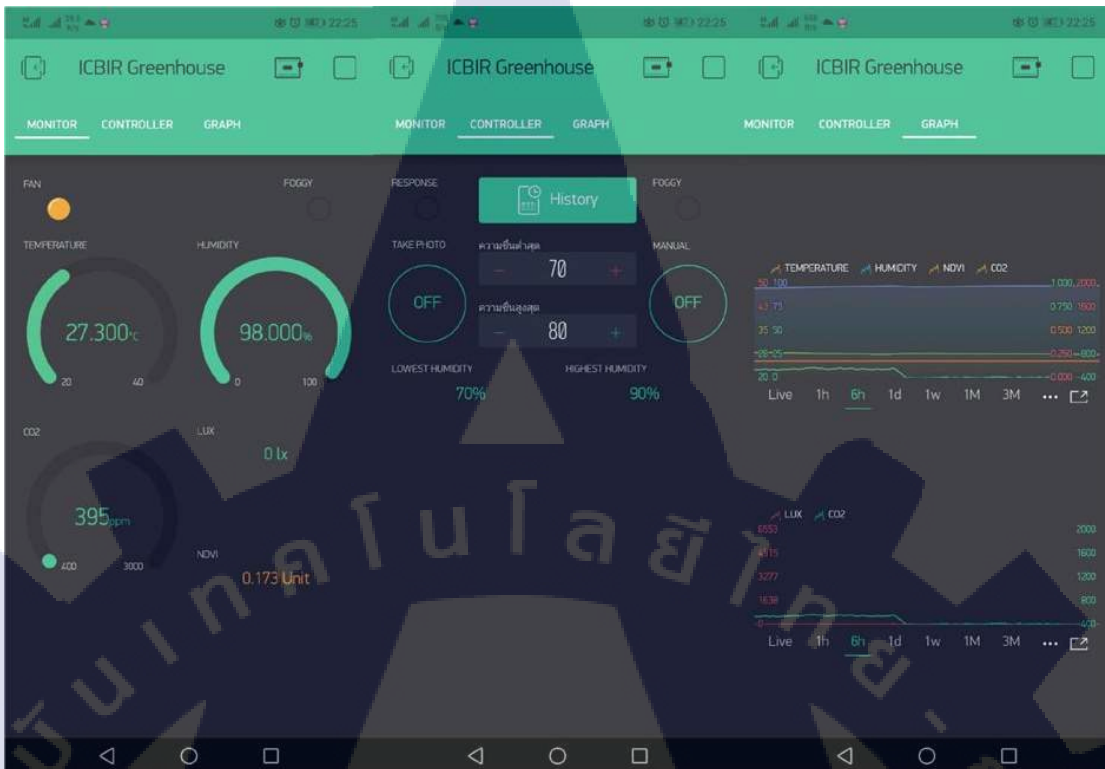
Python 3.7.3 (/usr/bin/python3)

>>>

รูปที่ 4.10 ตัวอย่างสคริปต์ที่ทำการโปรแกรมบน Raspberry pi

ในส่วนของการเก็บข้อมูลนั้น ผู้วิจัยได้เลือกใช้ Platform ของ Blynk ซึ่งเป็น Cloud IoT Platform ที่ให้บริการในการเก็บข้อมูลและสร้าง Dashboard บน Smart Phone เพื่อแสดงข้อมูลได้อย่าง Real-time โดยที่ไม่ต้องเขียน скриปต์ เอง รวมทั้งยังสามารถนำข้อมูลที่เก็บเอาไว้นั้นออกมาระบบ CSV ได้อีกด้วย ตัวอย่าง Dashboard ที่ผู้วิจัยได้ทำการพัฒนาขึ้นมาแสดงดังรูปที่

4.11



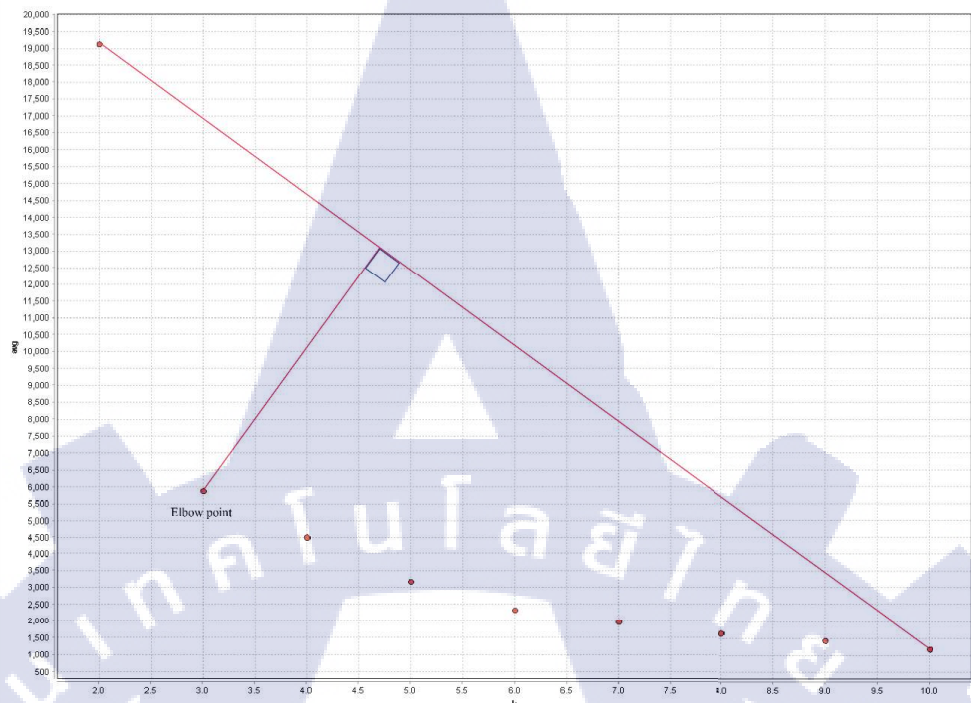
รูปที่ 4.11 ตัวอย่าง Dashboard

4.2 การประเมินประสิทธิภาพการจำแนกการสังเคราะห์แสงของพืช

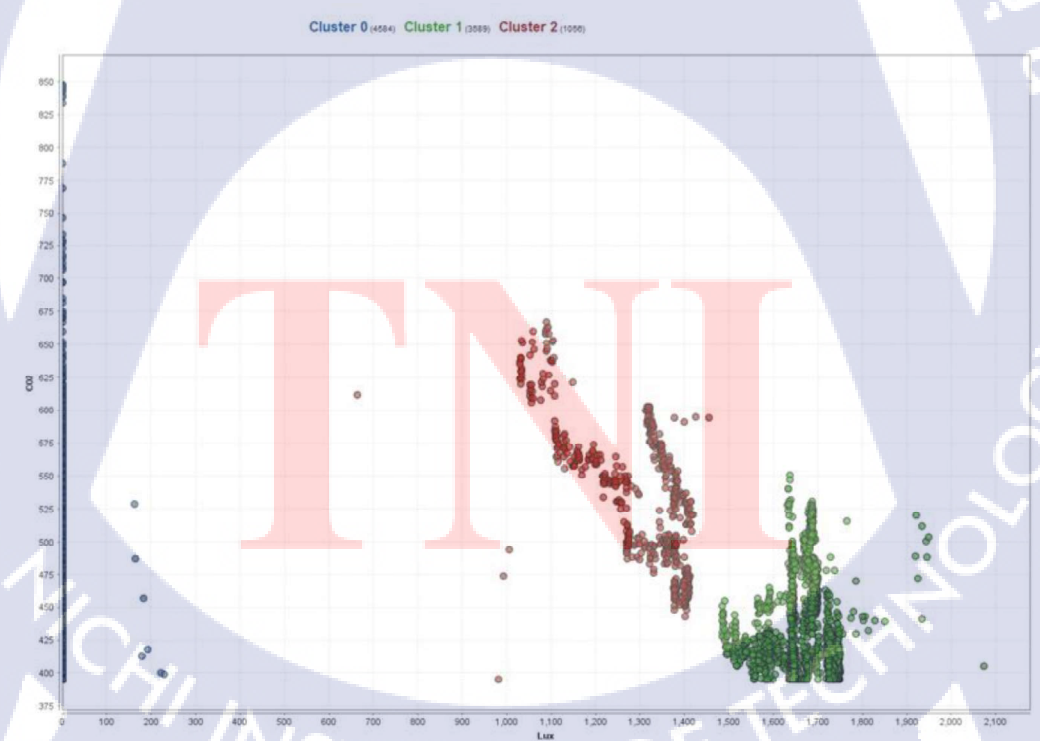
ข้อมูลที่ได้ทำการเก็บรวบรวมมานั้นได้มาจากการที่เซ็นเซอร์ที่ติดตั้งเอาไว้ภายในโรงเรือน ดังที่อธิบายไปใน หัวข้อที่ 4.1 แล้วนั้น จะถูกส่งไปเก็บยังฐานข้อมูลของ Blynk ซึ่งเป็นแพลตฟอร์ม สำหรับอุปกรณ์ IoT ในทุกๆ 1 สัปดาห์ จะมีการส่งไฟล์ข้อมูลกลับมายังอีเมล์ ซึ่งเป็นข้อมูลที่ได้รับมาจากเซ็นเซอร์ภายในโรงเรือน เป็นนามสกุล .CSV จากนั้นจึงทำการจัดเตรียมและแบ่งกลุ่มของข้อมูลโดยใช้ k-mean ในการจัดกลุ่มของข้อมูล

4.2.1 การใช้ k-mean ในการจัดกลุ่มข้อมูล

ผู้วิจัยได้ใช้โปรแกรม Rapid Miner Studio ในการจัดกลุ่มข้อมูลที่ใช้งานวิจัยขึ้นนี้ซึ่งแบ่งได้ออกเป็น 3 กลุ่ม ($k = 3$) ซึ่งได้มาจากการหา elbow point ซึ่งเป็นการหาจำนวนกลุ่มข้อมูลที่เหมาะสมที่สุดในจัดกลุ่มข้อมูลจากข้อมูลจำนวน 9929 ชุดข้อมูล



รูปที่ 4.12 Elbow point



รูปที่ 4.13 ผลลัพธ์จากการแบ่งกลุ่มโดยใช้ k-mean

จากรูปสามารถแบ่งข้อมูลได้ดังนี้ Cluster 0 คือกลุ่มข้อมูลที่พืชไม่มีการสังเคราะห์แสง สามารถดูได้จากปริมาณ CO_2 ที่เพิ่มสูงขึ้นในช่วงที่ไม่มีแสง Cluster 1 เป็นกลุ่มที่พืชมีการสังเคราะห์แสง ส่วน Cluster 2 นั้นเป็นกลุ่มข้อมูลที่พืชมีการสังเคราะห์แสงแต่ประสิทธิภาพเริ่มลดลง ซึ่งสรุปข้อมูลที่ใช้ในการวิเคราะห์ดังตารางที่ 4.1

ตารางที่ 4.1 สรุปข้อมูลที่ใช้ในการวิเคราะห์

| Cluster | จำนวนข้อมูล |
|-----------|-------------|
| Cluster 0 | 4584 |
| Cluster 1 | 3589 |
| Cluster 2 | 1056 |
| | 9929 |

4.2.2 การวิเคราะห์ข้อมูลที่ได้มา

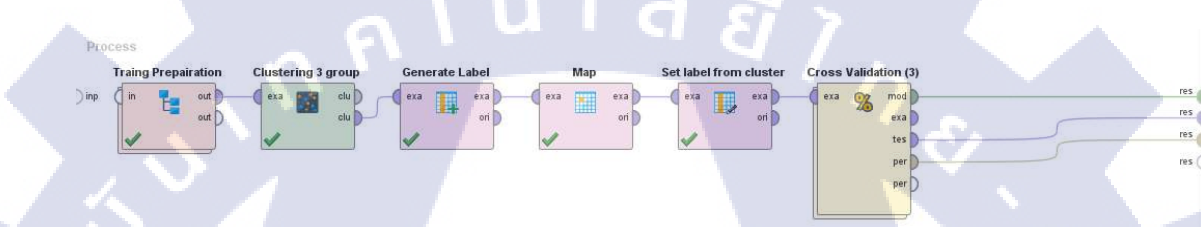
เมื่อสามารถจำแนกกลุ่มออกมายieldแล้วนั้นต่อมาจึงเป็นการนำมาพลอต กราฟเพื่อหาช่วงที่พืชมีการสังเคราะห์แสง ว่าอยู่ในช่วงเวลาใด และมีช่วงเวลาใดที่ประสิทธิภาพลดลงโดยสามารถดูได้จากค่า CO_2 ที่เพิ่มสูงขึ้น หลังจากนี้จะเป็นการนำชุดข้อมูลนี้เข้าสู่โมเดลเพื่อจำแนก การสังเคราะห์แสงของพืช



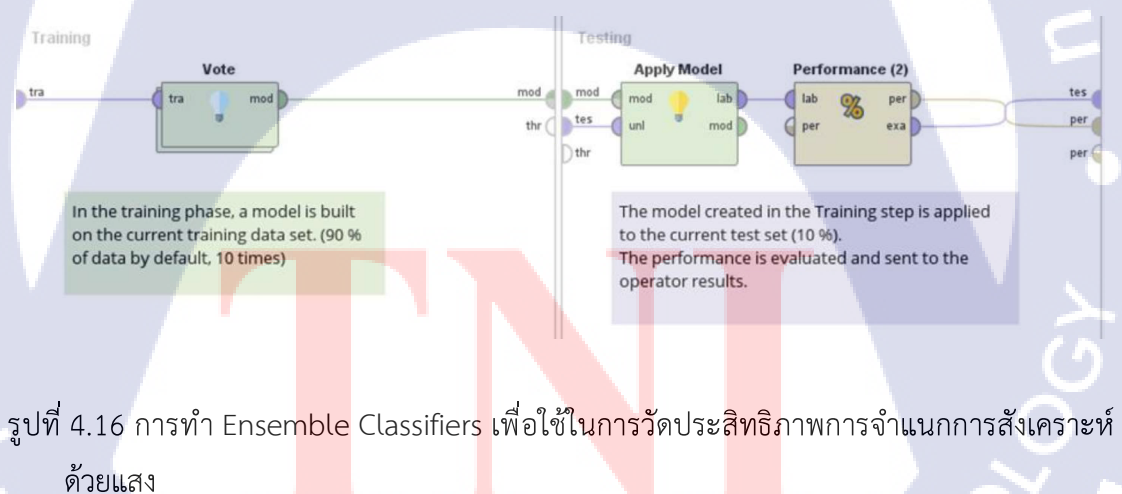
รูปที่ 4.14 Analysis Cluster Photosynthesis

4.3 การประเมินประสิทธิภาพการจำแนกการสังเคราะห์แสงของพืช

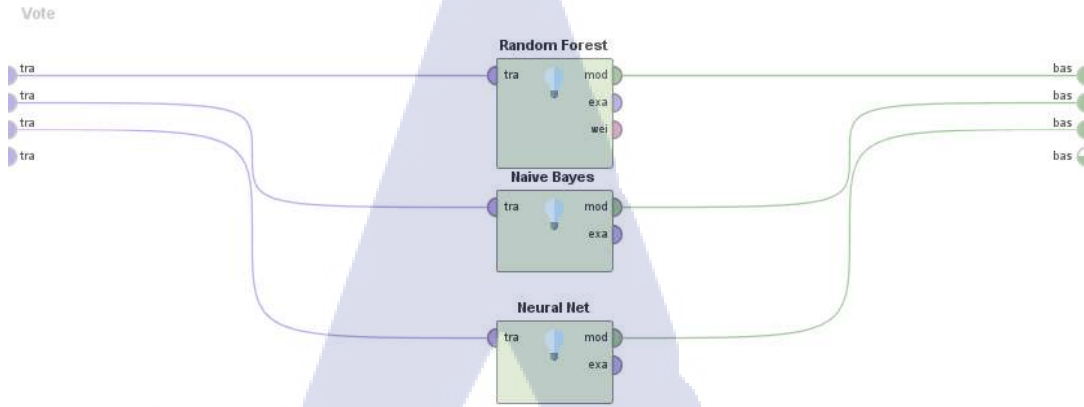
ในการทำโมเดลเพื่อจำแนกการสังเคราะห์ด้วยแสงนั้น ผู้วิจัยได้ใช้โปรแกรม Rapid Miner Studio ซึ่งเป็นโปรแกรมที่ใช้ในการแบ่งกลุ่มข้อมูลในหัวข้อที่ 4.2 ตามที่ได้กล่าวไป เพื่อทำการสร้างโมเดลในการจำแนกข้อมูลในการสังเคราะห์แสงของพืชโดยใช้อัลกอริทึมเป็นจำนวน 3 อัลกอริทึม ด้วยกัน อันได้แก่ Random Forest, Naïve Bayes และ Neural Network เพื่อใช้ในการทำ Ensemble Classification ในขั้นตอนการวัดประสิทธิภาพนี้ เริ่มจากนำข้อมูล 9929 ชุดข้อมูลเข้าสู่ Rapid Miner Studio จากนั้นจึงเริ่มทำการวัดประสิทธิภาพการจำแนกข้อมูลโดยใช้ Cross Validation ดังรูปที่ 4.15



รูปที่ 4.15 ขั้นตอนการวัดประสิทธิภาพในการสังเคราะห์แสงของพืช



รูปที่ 4.16 การทำ Ensemble Classifiers เพื่อใช้ในการวัดประสิทธิภาพการจำแนกการสังเคราะห์ด้วยแสง



รูปที่ 4.17 อัลกอริทึมที่ใช้ในการทำ Ensemble Classifiers ได้แก่ Random Forest, Naïve Bayes และ Neural Network

ตารางที่ 4.2 แสดงผลประสิทธิภาพการจำแนกตามการสังเคราะห์ด้วยแสงของพืช โดยใช้เทคนิค Ensemble Classifiers

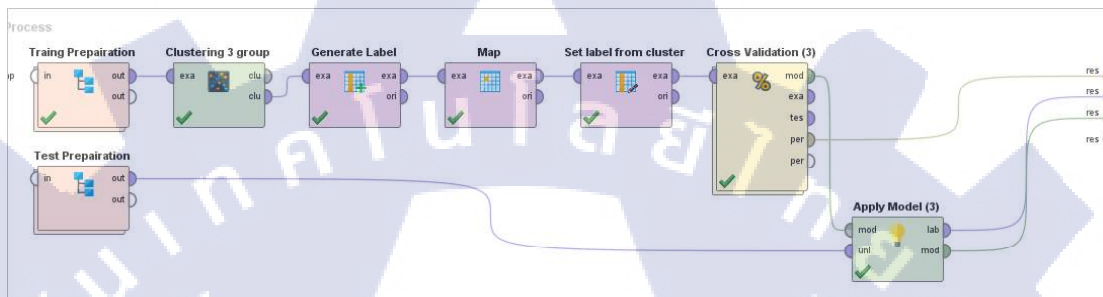
| Ensemble Classifiers | true Not photosynthesis | true Maybe photosynthesis | true photosynthesis | class precision |
|----------------------------|-------------------------|---------------------------|---------------------|-----------------|
| pred. Not photosynthesis | 4584 | 0 | 0 | 100.00% |
| pred. Maybe photosynthesis | 0 | 1056 | 0 | 100.00% |
| pred. photosynthesis | 0 | 0 | 3589 | 100.00% |
| class recall | 100.00% | 100.00% | 100.00% | |
| Accuracy 100% | | | | |

จากตารางที่ 4.2 ผลการวัดประสิทธิภาพการจำแนกตามการสังเคราะห์ด้วยแสงของพืช โดยใช้เทคนิค Ensemble Classifiers โดยมี 3 อัลกอริทึมอยู่ภายในได้แก่ Random Forest, Naïve Bayes และ Neural Network พบว่าค่าความแม่นยำในการท่านาย (Precision) พืชไม่มีการสังเคราะห์แสง (Not Photosynthesis) มีค่าสูงสุดที่ 100% สำหรับค่าความระลึก (Recall) พืชมีการสังเคราะห์แสง (Photosynthesis) มีค่าสูงสุด 100% โดยที่ค่าความถูกต้องของอัลกอริทึมโดยใช้

เทคนิค Ensemble Classifiers อยู่ที่ 100% และเนื่องจากกลุ่มข้อมูลที่แบ่งได้นั้นมีการแบ่งแยกที่ชัดเจน ตามรูปที่ 4.13 ที่ได้แสดงไปแล้วนั้น ส่งผลให้ผลการทำนายมีความแม่นยำที่สูง

4.4 การนำโมเดลที่ได้มาใช้ในการทำนาย

หลังจากที่ทำการเทรนโมเดลเสร็จสิ้นแล้วจึงนำมาใช้ในการทำนายชุดข้อมูลที่ได้ทำการเตรียมเอาไว้ซึ่งได้มาจาก การเก็บข้อมูลจากเซ็นเซอร์ที่อยู่ภายในโรงเรือนในรอบที่ 2



รูปที่ 4.18 การนำโมเดลที่ได้มาทำนายการสังเคราะห์แสงของพืชจากชุดข้อมูลที่เก็บมาใหม่

จากรูปที่ 4.18 แสดงให้เห็นถึงการนำโมเดลที่สร้างมาใช้ในการทำนายการสังเคราะห์ด้วยแสงของพืช โดยใช้โปรแกรม Rapid Miner Studio

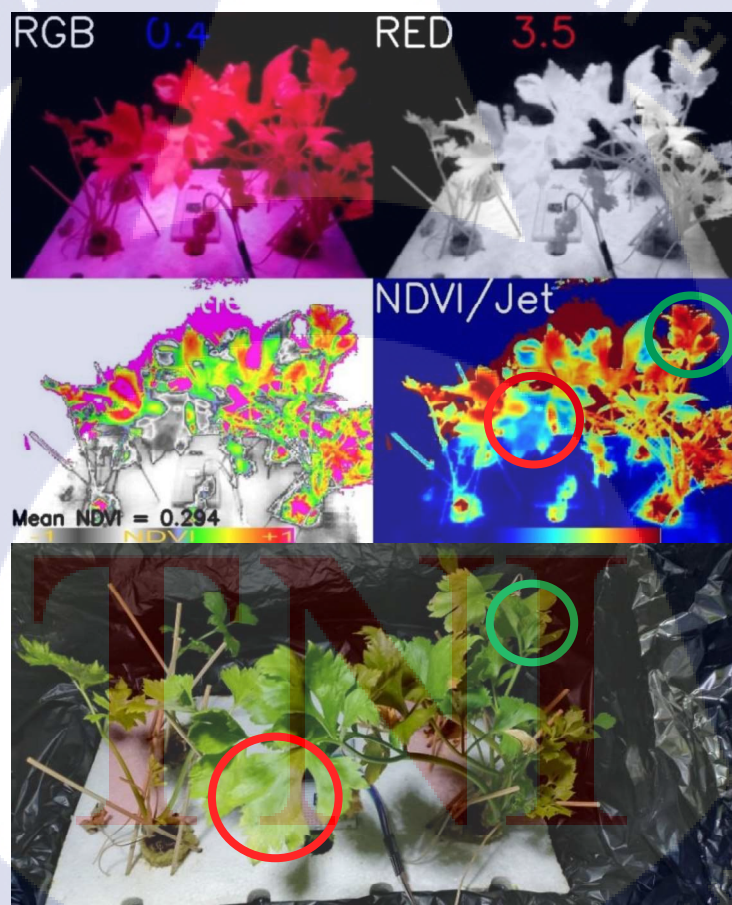
| Row No. | DATE | prediction(I...) | confidence(N) | confidence(...) | confidence(Y) | Lux | CO2 | HUMI | TEMP | TIME |
|---------|---------------------------|------------------|---------------|-----------------|---------------|------|-----|--------|--------|------|
| 5443 | Aug 12, 2020 10:41:00 ICT | N | 1 | 0 | 0 | 0 | 504 | 95.233 | 30.640 | 22 |
| 5444 | Aug 12, 2020 10:42:00 ICT | N | 1 | 0 | 0 | 0 | 493 | 95.033 | 30.663 | 22 |
| 5445 | Aug 12, 2020 10:43:00 ICT | N | 1 | 0 | 0 | 0 | 483 | 95.068 | 30.625 | 22 |
| 5446 | Aug 12, 2020 10:44:00 ICT | N | 1 | 0 | 0 | 0 | 487 | 95.033 | 30.600 | 22 |
| 5447 | Aug 12, 2020 10:45:00 ICT | N | 1 | 0 | 0 | 0 | 482 | 95.193 | 30.577 | 22 |
| 5448 | Aug 12, 2020 10:46:00 ICT | N | 1 | 0 | 0 | 0 | 486 | 95.247 | 30.800 | 22 |
| 5449 | Aug 12, 2020 10:47:00 ICT | N | 1 | 0 | 0 | 0 | 481 | 95.367 | 30.517 | 22 |
| 5450 | Aug 12, 2020 10:48:00 ICT | N | 1 | 0 | 0 | 0 | 482 | 95.450 | 30.600 | 22 |
| 5451 | Aug 12, 2020 10:49:00 ICT | N | 1 | 0 | 0 | 0 | 475 | 95.443 | 30.600 | 22 |
| 5452 | Aug 12, 2020 10:50:00 ICT | N | 1 | 0 | 0 | 0 | 475 | 95.500 | 30.600 | 22 |
| 5453 | Aug 12, 2020 12:11:00 ICT | Y | 0 | 0.333 | 0.667 | 1459 | 470 | 85.624 | 33.218 | 12 |
| 5454 | Aug 13, 2020 12:32:00 ICT | Y | 0 | 0.333 | 0.667 | 1463 | 457 | 84.578 | 33.163 | 12 |
| 5455 | Aug 13, 2020 12:33:00 ICT | Y | 0 | 0.333 | 0.667 | 1477 | 452 | 84.560 | 33.093 | 12 |
| 5456 | Aug 13, 2020 12:34:00 ICT | Y | 0 | 0.333 | 0.667 | 1485 | 474 | 84.560 | 33.040 | 12 |
| 5457 | Aug 13, 2020 12:35:00 ICT | Y | 0 | 0.333 | 0.667 | 1498 | 491 | 83.683 | 33.027 | 12 |
| 5458 | Aug 13, 2020 12:36:00 ICT | MB | 0 | 0.667 | 0.333 | 1511 | 504 | 82.760 | 32.933 | 12 |
| 5459 | Aug 13, 2020 12:37:00 ICT | MB | 0 | 0.667 | 0.333 | 1517 | 501 | 82.680 | 32.870 | 12 |
| 5460 | Aug 13, 2020 12:38:00 ICT | Y | 0 | 0.333 | 0.667 | 1529 | 495 | 82.072 | 32.783 | 12 |
| 5461 | Aug 13, 2020 12:39:00 ICT | Y | 0 | 0 | 1 | 1536 | 486 | 81.583 | 32.707 | 12 |
| 5462 | Aug 13, 2020 12:40:00 ICT | Y | 0 | 0 | 1 | 1536 | 488 | 81.690 | 32.700 | 12 |
| 5463 | Aug 13, 2020 12:41:00 ICT | Y | 0 | 0 | 1 | 1540 | 487 | 81.690 | 32.700 | 12 |
| 5464 | Aug 13, 2020 12:42:00 ICT | Y | 0 | 0 | 1 | 1547 | 479 | 80.953 | 32.697 | 12 |
| 5465 | Aug 13, 2020 12:43:00 ICT | Y | 0 | 0 | 1 | 1559 | 490 | 80.283 | 32.613 | 12 |
| 5466 | Aug 13, 2020 12:44:00 ICT | Y | 0 | 0 | 1 | 1565 | 500 | 80.817 | 32.800 | 12 |
| 5467 | Aug 13, 2020 12:45:00 ICT | Y | 0 | 0 | 1 | 1568 | 497 | 81.196 | 32.600 | 12 |
| 5468 | Aug 13, 2020 12:46:00 ICT | Y | 0 | 0 | 1 | 1566 | 491 | 80.947 | 32.600 | 12 |

รูปที่ 4.19 ผลการทำนายจากโมเดลที่สร้างจากเทคนิค Ensemble Classifiers

4.5 การตรวจสอบการสังเคราะห์แสงและสุขภาพของพืชด้วยดัชนีพืชพรรณ

ในส่วนนี้ผู้วิจัยได้ทำการถ่ายภาพในย่าง NIR มาเพื่อใช้ในการประมาณผลภาพเพื่อใช้ในการสร้างภาพดัชนีพืชพรรณเพื่อใช้ในการตรวจสอบการสังเคราะห์ด้วยแสงและสุขภาพของพืช

ดังรูปที่ 4.20 ภายในวงกลมสีแดงจากรูป NDVI/Jet จะแสดงให้เห็นถึงใบพืชที่มีการสะสมท้อนของคลื่นแม่เหล็กไฟฟ้า NIR น้อยโดยจะมองเห็นเป็นสีออกไประหงาและน้ำเงินซึ่งบ่งบอกถึงใบพืชบริเวณนั้นเริ่มมีปัญหาในการสังเคราะห์แสงหรือสุขภาพของใบไม่ดี ในรูปถัดลงมาภายในวงกลมสีแดงหากสังเกตอย่างละเอียดจะพบว่าใบในวงสีแดงนั้นเริ่มมีสีเหลืองซึ่งบ่งบอกถึงสุขภาพใบหรือพืชเริ่มมีปัญหาในการสังเคราะห์แสง ซึ่งต่างจากวงกลมสีเขียวที่ແbolt สีนั้นอยู่ในย่างสดแดงเข้มเป็นการบ่งบอกถึงสุขภาพใบที่ดีหรือมีการสังเคราะห์แสงเกิดขึ้นเนื่องจากมีการสะสมท้อนคลื่นแม่เหล็กไฟฟ้าในย่าง NIR ออกมากได้มาก



รูปที่ 4.20 แสดงบริเวณที่พืชมีการสังเคราะห์แสง (วงกลมสีเขียว) และบริเวณที่การสังเคราะห์แสงลดลง(ลดกลมสีแดง)

บทที่ 5

บทสรุป อภิปราย และข้อเสนอแนะ

การศึกษาวิจัยเรื่อง การศึกษาปัจจัยที่มีผลต่อการสังเคราะห์ด้วยแสงและระยะเวลาในการรับแสงต่อวันที่พืชใช้ในการเจริญเติบโตผ่านระบบ IoT ซึ่งการวิจัยครั้งนี้มีวัตถุประสงค์ดังที่กล่าวไปในบทที่ 1 ได้นำเสนอข้อสรุปดังนี้

- 5.1 สรุปผลการวิจัย
- 5.2 ปัญหาและอุปสรรคในการทำวิจัย
- 5.3 ข้อเสนอแนะงานวิจัย

5.1 สรุปผลการวิจัย

ในการสรุปผลของงานวิจัยขึ้นนี้ ผู้วิจัยได้ทำการสรุปผลตามวัตถุประสงค์ในแต่ละหัวข้อที่ได้กล่าวไว้แล้วในบทที่ 1 ดังต่อไปนี้

การพัฒนาระบบ IoT ในการวัดระดับการสังเคราะห์ด้วยแสงจากดัชนีพืชพรรณ (NDVI) สามารถทำการสังเคราะห์ภาพขึ้นมาจากการที่ทำการถ่ายมาจาก Pi NoIR Camera ผ่านฟิวเจอร์สีนำเงินโดยใช้ Raspberry pi 3 b+ ที่เป็น Slave Controller ในการประมวลผลภาพโดยการใช้ไลบรารี OpenCV ในการช่วยประมวลผล ซึ่งเขียนขึ้นโดยใช้ภาษา Python คำสั่งที่ใช้ในการสั่งการจะสั่งการผ่าน Protocol MQTT ในการควบคุมการทำงานของกล้องดังกล่าว ที่สั่งการมาจาก Master Controller ซึ่งก็คือ ESP8266-12E (Node MCU) ในการสั่งการ, ควบคุม, และประมวลผลข้อมูลที่ได้รับมาจากเซ็นเซอร์ภายในโรงเรือนและทำการส่งข้อมูลที่ได้รับมาขึ้นไปเก็บใน Server ของ Blynk Platform และสามารถนำข้อมูลที่อัพโหลดขึ้นไปทั้งหมดออกมานในรูปแบบของไฟล์ CSV ที่อยู่ในรูปแบบตารางซึ่งง่ายต่อการนำข้อมูลมาทำการวิเคราะห์ โดยจะทำการ Export ผ่านการส่งไปทาง E-mail ทุกวันอาทิตย์

การวิเคราะห์การสังเคราะห์แสงของพืชโดยใช้การทำเหมืองข้อมูล โดยการรวมข้อมูลผ่านเซ็นเซอร์โดยใช้ระบบ IoT เข้ามาช่วยในการเก็บข้อมูลเพื่อนำไปใช้ในการวิเคราะห์หาปัจจัยที่มีผลต่อการสังเคราะห์ด้วยแสงของพืช เป็นจำนวน 9,929 ชุดข้อมูล และชุดข้อมูลที่ใช้ทดสอบอีก 8,283 ชุดข้อมูล รวมทั้งสิ้น 18,212 ชุดข้อมูลจากนั้นนำข้อมูลมาทำการแบ่งกลุ่มโดยใช้ k-mean ในการแบ่งกลุ่มโดยกำหนดให้ ค่า k=3 ซึ่งได้มาจากการหา Elbow Point โดยใช้โปรแกรม RapidMiner Studio ในการจัดการข้อมูลและกำหนดกลุ่มของข้อมูลใน 3 กลุ่มออกเป็น ไม่มีการสังเคราะห์แสง (Cluster 0) มีการสังเคราะห์แสง (Cluster 1) และการสังเคราะห์แสงลดลง (Cluster 2) จากนั้นเมื่อ

เตรียมชุดข้อมูลเรียบร้อยแล้วจึงนำชุดข้อมูลสำหรับ tren จำนวน 9,929 ชุดข้อมูลเข้าสู่การวิเคราะห์ประสิทธิภาพในการจำแนกประเภทโดยใช้เทคนิค Ensemble Classifiers ซึ่งมีอัลกอริทึมที่ใช้อยู่ภายในทั้งสิ้น 3 ชนิด ได้แก่ Random Forest, Naïve Bayes และ Neural Network เพื่อเพิ่มความแม่นยำให้กับโมเดลที่ใช้ในการทำนายประเภทของการสังเคราะห์ด้วยแสงของพืช จากนั้นจึงนำชุดข้อมูลสำหรับทดสอบซึ่งได้มาจากการเก็บข้อมูลในรอบหลังจากนั้น มาทำการทำนายประเภทการสังเคราะห์แสงของพืช

อีกทั้งการมอนิเตอร์เพื่อตรวจสอบการสังเคราะห์ด้วยแสงและสุขภาพของพืชโดยใช้ดัชนีพืชพรรณนั้นแสดงให้เห็นถึงบริเวณที่มีการสังเคราะห์แสงลดลงหรือใบของพืชบริเวณนั้นมีสุขภาพไม่ดีซึ่งสามารถตรวจสอบได้จากการสะท้อนของคลื่นแม่เหล็กไฟฟ้าในย่าง NIR ยิ่งมีการสะท้อนกลับน้อยจึงบ่งบอกได้ว่าบริเวณนั้นของพืชเริ่มมีปัญหาบางอย่าง

5.2 ปัญหาและอุปสรรคในการทำวิจัย

5.2.1 การทดลองจะต้องทำการต่อไฟฟ้ากระแสสลับเพื่อใช้สำหรับแปลงไฟฟ้ากระแสตรง 12 โวล สำหรับขั้บพัดลม และปั๊มน้ำ และ 5 โวล สำหรับ หน่วยประมวลผลทั้ง Raspberry pi และ ESP8266-12 ตลอดเวลาหากเกิดกรณีที่ไฟฟ้าดับจะทำการทดลองไม่ต่อเนื่องหรือข้อมูลบางส่วนมีการสูญหาย ความมีเครื่องสำรองไฟฟ้าเพื่อไว้ในกรณีฉุกเฉิน

5.2.2 ส่วนประมวลผลและส่วนการทำงานอยู่ต่อกันและอยู่ภายนอกซึ่งมีแสงแดดส่องถึงในทุกวันส่งผลให้มีอุณหภูมิสูง ซึ่งถ้าหากเกินไปจะส่งผลให้ระบบเกิดการปิดตัวเองเพื่อป้องกันส่วนประมวลผลไม่ให้เกิดความเสียหาย ในกรณีที่ระบบร้อนเกินกว่าจะรับไหว้เกิดการปิดระบบด้วยตัวเอง จะส่งผลให้ข้อมูลที่เก็บได้ไม่ต่อเนื่องหรือขาดหายไปบางส่วน ความมีระบบบายความร้อนแก่ส่วนประมวลผลเพื่อไม่ให้เกิดกรณีดังกล่าว

5.2.3 ในส่วนของการถ่ายภาพโดยใช้กล้อง Pi NoIR จะดำเนินการโดย Raspberry Pi3 เพื่อนำภาพที่ได้มาทำการประมวลผลให้ได้มาซึ่งภาพที่แสดงถึงการสะท้อนของแสงอินฟราเรดใกล้ หรือภาพถ่ายดัชนีพืชพรรณพร้อมทั้งใส่สีสันให้เข้าใจง่ายยิ่งขึ้น ในการทดลองมีบางช่วงที่กล้องเกิดอาการค้างทำให้ระบบนำภาพเก่าที่ถ่ายไปเมื่อ 15 นาที ที่แล้วมาใช้ในการประมวลผลเมื่อลองรีเซ็ตโปรแกรมดู พบร้าไม่สามารถ Run โปรแกรมดังกล่าวได้ต้องทำการ Reboot แทนเพื่อเริ่มระบบใหม่

5.2.4 การปรับตั้งค่า基因ที่ของแสงภายในโปรแกรมที่ใช้ในการถ่ายภาพนั้น จะต้องอยู่ภายใต้แสงที่มีความคงที่เสมอเพื่อความแม่นยำของข้อมูล หากตั้งกล้องถ่ายภายใต้แสงอาทิตย์ต้องปรับค่าให้ตรงกับแสงอาทิตย์ ณ เวลานั้นโดยการถ่ายจากขาวล้วนแล้วค่อยๆปรับ基因ที่ของแสงเพื่อให้ค่าดัชนีพืชพรรณที่วัดได้เป็น 0 แล้วจึงนำพืชมาตั้งถ่ายโดยมีฉากขาวดังกล่าวเป็นพื้นหลัง และ

เมื่อใช้กับแสงไฟสำหรับปลูกต้นไม้จะต้องทำการปรัคค่าเกณฑ์นี้ใหม่อีกรังจะไม่สามารถใช้ค่าเกณฑ์การวัดร่วมกับแสงอาทิตย์ได้

5.2.5 ความล่าช้าของการรับ-ส่งพัสดุและอุปกรณ์ที่จำเป็นต่อการทดลอง เนื่องจากภัยของโรคระบาด COVID-19 ทำให้การหาสิ่งของจำเป็นที่ต้องใช้ในการทดลองยากยิ่งขึ้นเนื่องจากมีการแพร่ระบาดของเชื้อไวรัสส่งผลให้ร้านค้าต่างๆ มากมายรวมทั้งห้างสรรพสินค้าปิดตัวลงชั่วคราวตามคำสั่งของทางรัฐบาล จึงต้องหาทางรับรวมอุปกรณ์ให้เร็วที่สุดโดยการสั่งทางออนไลน์แต่เนื่องจากต้องขนส่งจากต่างประเทศทำให้เกิดความล่าช้าในการทำวิจัย เพราะอุปกรณ์ต่างๆ ที่สั่งไปจะมาถึงปลายทางใช้เวลาค่อนข้างนาน อุปกรณ์ใดที่หากภายในประเทศได้จะรับทำการสั่งซื้อมาทันทีที่พบ

5.2.6 ในขั้นตอนการเขียนโปรแกรมและรันโปรแกรมบน Raspberry pi พบปัญหาในการใช้ library ของ open cv ไม่สามารถเรียนใช้ library ดังกล่าวได้ ต้องแก้ปัญหาโดยการใช้คำสั่งพิเศษในการดำเนินการ

5.2.7 ในขั้นตอนเริ่มการทดสอบระบบ พบปัญหาทางด้านการเชื่อมต่อไปยัง Server ของ MQTT จาก ESP8266-12E ไปยัง Raspberry pi เนื่องจาก Port ในการสื่อสารถูกบล็อกเอาไว้ แก้ปัญหาโดยการเพิ่มช่อง Port ที่รองรับบน Router ที่ใช้ในการเชื่อมต่ออินเทอร์เน็ต

5.3 ข้อเสนอแนะงานวิจัย

5.3.1 สำหรับการวิจัย สามารถปรับเปลี่ยนเพื่อใช้ในการทดลองกับพืชชนิดอื่น ๆ เพื่อสำรวจค่าต้นน้ำพืชพรรณที่แสดงให้เห็นถึงการสังเคราะห์ด้วยแสงของพืช ซึ่งจะทำให้สามารถทราบถึงปัจจัยที่มีผลต่อการสังเคราะห์แสงของพืชหลากหลายชนิดยิ่งขึ้น

5.3.2 สำหรับทางด้านอาร์ดแวร์สามารถเพิ่มเซ็นเซอร์อีกหลายชนิดเพื่อความแม่นยำในการเก็บข้อมูล ออาทิ เซ็นเซอร์ตรวจวัดปริมาณคาร์บอนไดออกไซด์, เซ็นเซอร์ตรวจวัดปริมาณออกซิเจนภายในโรงเรือน, เซ็นเซอร์วัดปริมาณความชื้นขั้นของปุ๋ยในน้ำ, เซ็นเซอร์วัดปริมาณแสงเพื่อใช้ในการวิเคราะห์ที่มีนัยสำคัญยิ่งขึ้น



TNI

THAI - NICHIRIN INSTITUTE OF TECHNOLOGY

บรรณานุกรม

บรรณานุกรม

- [1] Roberto Minerva et al., “*Towards a Definition of the Internet of Things (IoT)*,” [Online]. Available: https://www.researchgate.net/publication/317588072_Towards_a_definition_of_the_Internet_of_Things_IoT [Accessed: June 20, 2020].
- [2] X. Xu et al., “Intelligent fault prediction system based on internet of things,” *Computers & Mathematics with Applications*, vol.64, no.5, pp.833–839, September 2012.
- [3] Michael Barr, “*Embedded Systems Glossary*,” [Online]. Available: <https://barrgroup.com/Embedded-Systems/Glossary> [Accessed: June 9, 2019].
- [4] H. Steve, “*An Embedded System is a Microprocessor-Based System that is Built to Control a Function or a Range of Functions*,” Burlington: Newnes, 2003.
- [5] Wikipedia, “*Single-Board Microcontroller*,” [Online]. Available: https://en.wikipedia.org/wiki/Single-board_microcontroller. [Accessed: June 20, 2020].
- [6] Postscapes, “*IoT Standards and Protocols*,” [Online]. Available: <https://www.postscapes.com/internet-of-things-protocols/> [Accessed: June 21, 2020].
- [7] Cisco Systems, Inc., “*HTTP/HTTPS 1.1 Web Server and Client*,” [Online]. Available: https://www.cisco.com/c/en/us/td/docs/ios-xml/ios/https/configuration/xe-16/https-xe-16-book/HTTP_1-1_Web_Server_and_Client.html [Accessed: June 21, 2020].
- [8] Cisco Systems, Inc., “*TCP/IP Overview*,” [Online]. Available: https://www.cs.ait.ac.th/~on/O/oreilly/tcpip/tcpip/ch01_01.htm [Accessed: June 21, 2020].
- [9] Cisco Systems, Inc., “*Simple Mail Transfer Protocol*,” [Online]. Available: https://www.cisco.com/c/en/us/td/docs/ios/sw_upgrades/interlink/r2_0/user/ugsmtp.html [Accessed: June 21, 2020].
- [10] Cisco Systems, Inc., “*Server FTP*,” [Online]. Available: https://www.cisco.com/c/en/us/td/docs/ios/sw_upgrades/interlink/r2_0/user/ugftpsvr.html [Accessed: June 21, 2020].

- [11] IBCON, “Protocol สำหรับ IoT Device มีอะไรบ้าง,” [Online]. Available: <http://blog.ibcon.com/?p=151> [Accessed: July 21, 2020].
- [12] Cisco Systems, Inc., “ICMP,” [Online]. Available: <https://www.cisco.com/c/en/us/td/docs/security/asa/asa-command-reference/l-R/cmdref2/i1.html> [Accessed: June 21, 2020].
- [13] Cisco Systems, Inc., “DHCP,” [Online]. Available: <https://www.cisco.com/c/en/us/td/docs/ios-xml/ios/ipaddr/command/ipaddr-cr-book/ipaddr-i2.html> [Accessed: June 21, 2020].
- [14] Z. Shelby et al., “Constrained Application Protocol (CoAP),” [Online]. Available: <https://tools.ietf.org/html/rfc7252> [Accessed: May 2, 2020].
- [15] PickData, “MQTT vs CoAP, the Battle to Become the Best IoT Protocol,” [Online]. Available: <https://www.pickdata.net/news/mqtt-vs-coap-best-iot-protocol> [Accessed: July 11, 2020].
- [16] IBM, “Getting to Know MQTT,” [Online]. Available: <https://developer.ibm.com/articles/iot-mqtt-why-good-for-iot/> [Accessed: January 7, 2020].
- [17] Wikipedia, “Sensor,” [Online]. Available: <https://en.wikipedia.org/wiki/Sensor> [Accessed: June 2, 2020].
- [18] Wikipedia, “Actuator,” [Online]. Available: <https://en.wikipedia.org/wiki/Actuator> [Accessed: June 2, 2020].
- [19] TECH, “IoT Sensors and Actuators,” [Online]. Available: <https://www.posts-capes.com/iot-sensors-actuators/> [Accessed: June 9, 2020].
- [20] โภศลัย และ สุวรรณ คำราณ, พจนานุกรมพิสิกส์, กรุงเทพฯ: Nanmeebooks, 2554.
- [21] Principles of Structural Chemistry, “Electromagnetic Spectrum,” [Online]. Available: <https://sites.google.com/a/coe.edu/principles-of-structural-chemistry/relationship-between-light-and-matter/electromagnetic-spectrum> [Accessed: June 5, 2020].
- [22] NASA Science Share the Science, “Visible Light,” [Online]. Available: https://science.nasa.gov/ems/09_visiblelight#:~:text=The%20visible%20light%20spectrum%20is,from%20380%20to%20700%20nanometers. [Accessed: September 2, 2020].

- [23] NASA Earth Observatory, “*Observing in Infrared*,” [Online]. Available: <https://earthobservatory.nasa.gov/features/FalseColor/page5.php> [Accessed: December 2, 2019].
- [24] Wikipedia, “*Normalized Difference Vegetation Index*,” [Online]. Available: https://en.wikipedia.org/wiki/Normalized_difference_vegetation_index [Accessed: December 2, 2019].
- [25] EOS, “*NDVI*,” [Online]. Available: <https://eos.com/ndvi/#:~:text=According%20to%20this%20formula%2C%20the,sum%20of%20these%20intensities>. [Accessed: December 2, 2019].
- [26] J. A. Gamon et al., “Relationships between NDVI canopy structure, and photosynthesis in three californian vegetation types,” *Ecological Applications*, vol.5, no.1, pp.28–41, May 1995.
- [27] Precisionhawk, “*Understanding Your Aerial Data: Normalized Difference Vegetation Index*,” [Online]. Available: <https://www.precisionhawk.com/blog/media/topic/ndvi> [Accessed: June 6, 2020].
- [28] USGS Science for a Changing World, “*Landsat Normalized Difference Vegetation Index*,” [Online]. Available: https://www.usgs.gov/land-resources/nli/landsat/landsat-normalized-difference-vegetation-index?qt-science_support_page_related_con=0#qt-science_support_page_related_con [Accessed: June 8, 2020].
- [29] STEEMIT, “*What is NDVI and why it is an Indication for Vegetation Cover*,” [Online]. Available: <https://steemit.com/science/@samve/what-is-ndvi-and-why-it-is-an-indication-for-vegetation-cover> [Accessed: June 1, 2020].
- [30] Medium, “*More Than Meets the Eye*,” [Online]. Available: <https://medium.com/evergreens-farms/more-than-meets-the-eye-using-light-reflectance-to-monitor-crops-indoors-446c5a550c4d> [Accessed: June 20, 2020].
- [31] Raspberry Pi Thailand Blog, “*การถ่ายภาพการสั่งเครื่องที่แสงไฟด้วยกล้อง Raspberry Pi No/R*,” [Online]. Available: <https://raspberrypi-thailand.blogspot.com/2016/07/blog-post.html> [Accessed: June 1, 2019].

- [32] Sentera, “*NDVI and Your Farm: Understanding NDVI for Plant Health Insights*,” [Online]. Available: <https://sentera.com/understanding-ndvi-plant-health> [Accessed: June 1, 2019].
- [33] เอกสิทธิ์ พัชรวงศ์ศักดา, *ข้อมูลแบบมีโครงสร้าง (Structured Data)*, กรุงเทพฯ: เอเชีย ดิจิตอลการพิมพ์, 2557.
- [34] เอกสิทธิ์ พัชรวงศ์ศักดา, *ข้อมูลแบบไม่มีโครงสร้าง (Unstructured Data)*, กรุงเทพฯ: เอเชีย ดิจิตอลการพิมพ์, 2557.
- [35] เอกสิทธิ์ พัชรวงศ์ศักดา, *เทคนิคการวิเคราะห์ข้อมูลด้วยคลาต้า ไมน์นิ่ง*, กรุงเทพฯ: เอเชีย ดิจิตอลการพิมพ์, 2557.
- [36] เอกสิทธิ์ พัชรวงศ์ศักดา, *การแบ่งกลุ่มข้อมูล (Clustering)*, กรุงเทพฯ: เอเชีย ดิจิตอลการพิมพ์, 2557.
- [37] เอกสิทธิ์ พัชรวงศ์ศักดา, *Clustering Validity*, กรุงเทพฯ: เอเชีย ดิจิตอลการพิมพ์, 2557.
- [38] เอกสิทธิ์ พัชรวงศ์ศักดา, *Classification*, กรุงเทพฯ: เอเชีย ดิจิตอลการพิมพ์, 2557.
- [39] Wikipedia, “*Algorithm*,” [Online]. Available: <https://en.wikipedia.org/wiki/Algorithm> [Accessed: September 5, 2019].
- [40] A.N. Chesalin et al., “Modification of the WaldBoost algorithm to improve the efficiency of solving pattern recognition problems in real-time,” *Rossiiskii Tekhnologicheskii Zhurnal (Russian Technological Journal)*, vol. 7, no. 5, pp. 20–29, July 2019.
- [41] O. Maimon and L. Rokach, *Decision Trees*, Boston: Springer, 2005.
- [42] T. Bayes and R. Price, “An essay towards solving a problem in the doctrine of chance by the late rev. Mr. Bayes, communicated by Mr. Price,” *Philosophical Transactions of the Royal Society of London*, vol. 53, pp. 370-418, January 1763.
- [43] T. M. Mitchell, *Machine Learning*, New York: McGraw-Hill, 1997.
- [44] Wikipedia, “*Sigmoid Function*,” [Online]. Available: https://en.wikipedia.org/wiki/Sigmoid_function [Accessed: September 9, 2020].
- [45] เอกสิทธิ์ พัชรวงศ์ศักดา, *เทคนิค Ensemble*, กรุงเทพฯ: เอชดี พรีเมี่ยม จำกัด, 2563.
- [46] C. Shearer, “The CRISP_DM Model: The new blueprint for datamining,” *Journal of Data Warehousing*, vol. 5, no. 4, pp. 13-22, September 2000.
- [47] จิรัสย์ เจนพาณิชย์, *Photosynthesis*, กรุงเทพฯ: ห้างหุ้นส่วนจำกัดสามลดา, 2554.
- [48] S. S. Mader, *กายวิภาคและการเจริญเจ็บโตของพืช*, กรุงเทพฯ: แมคกร裘-ชีล, 2012.

- [49] DISTHAI, “[ขั้นจ่าย ประযุทธ์ดีๆ สรรพคุณเด่นๆ และข้อมูลงานวิจัย](https://www.disthai.com/17105422/ขั้นจ่าย),” [Online]. Available: <https://www.disthai.com/17105422/ขั้นจ่าย> [Accessed: 2 ธันวาคม 2561].
- [50] สำนักงานคณะกรรมการวิจัยแห่งชาติ(วช.), “การบลูกพีชไฮโดรปอร์นิกส์,” กรุงเทพฯ: สำนักงานคณะกรรมการวิจัยแห่งชาติ(วช.), 2562.
- [51] จรัสย์ เจนพาณิชย์, การลำเลียง แลกเปลี่ยน และการตอบสนองของพืช, กรุงเทพฯ: ห้างหุ้นส่วนจำกัดสามลดา, 2554.
- [52] ภราดร กาญจนสุธรรม และคณะ, “การประมวลผลผลิตต่อไร่ของข้าวนาปรังด้วยข้อมูลดาวเทียม SMMS โดยใช้ดัชนีความแตกต่างพืชพรรณ (NDVI) กรณีศึกษาอำเภอเมือง จังหวัดสุพรรณบุรี,” วารสารวิทยาศาสตร์และเทคโนโลยี, ปีที่ 22, ฉบับที่ 1, หน้า 55-66, มกราคม-มีนาคม, 2014.
- [53] นฤมล อินทร์วิเชียร และคณะ, “ความสัมพันธ์ระหว่างอุณหภูมิพื้นผิวและดัชนีความแตกต่างพืชพรรณของพื้นที่นาข้าวในแต่ละช่วงการเจริญเติบโต จากข้อมูลดาวเทียม,” วารสารเทคโนโลยีภูมิสารสนเทศ มหาวิทยาลัยบูรพา, ปีที่ 1, ฉบับที่ 2, หน้า 14-30, กรกฎาคม-ธันวาคม 2559.
- [54] P. M. Cristiano et al, “High NDVI and potential canopy photosynthesis of south american subtropical forests despite seasonal changes in leaf area index and air temperature,” *Forests* 2014, vol. 5, no. 2, pp. 287-308, February 2014.
- [55] J. Bicans et al, “IoT camera-based approach to capture and process si-ndvi sensor data for industrial tomato greenhouse,” *2019 IEEE 7th IEEE Workshop on Advances in Information, Electronic and Electrical Engineering*, (AIEEE), Liepaja, Latvia, November 15-16, 2019, pp. 153-159.
- [56] พิชญ์สินี เพชรไถ夷 และ ธรรมศักดิ์ ทองเกตุ, “ผลของความเข้มแสงและระยะเวลาการรับแสงต่อการเจริญเติบโตและคุณภาพของผักกาดหอม,” วารสารพืชศาสตร์สงขลานครินทร์, ปีที่ 4, ฉบับที่ 3, หน้า 54-59, กรกฎาคม-กันยายน 2560.
- [57] วริศรา ปานพรหม และ วิสาคร วงศ์พิมพາ, “ผลกระทบของระดับอุณหภูมิในบรรยากาศที่แตกต่าง ที่มีต่อปริมาณธาตุอาหารในดินและปริมาณผลผลิตของถั่วเหลือง (*Glycine max* (L.) Merrill),” วิทยานิพนธ์ วท.บ. (ทรัพยากรธรรมชาติและสิ่งแวดล้อม), มหาวิทยาลัยนเรศวร, พิษณุโลก, 2556.
- [58] C. Körner, “When growth controls photosynthesis,” *IEEE 4th International Symposium on Plant Growth Modeling, Simulation*, NJ IEEE, Piscataway, United States, October-December 2012, pp. 5-7.

- [59] R. Salazar et al., “A neural network model for photosynthesis prediction,” *2009 Eighth Mexican International Conference on Artificial Intelligence*, IEEE, Guanajuato, Mexico, November 9-13, 2009, pp. 140-143.
- [60] นริศรา ชารนา, “ผลของไคโตซานและปุ๋ยน้ำจากแผนเดง ต่อผลผลิตของผักขี้นฉ่าย,” วิทยานิพนธ์ กษ.บ. (เกษตร), มหาวิทยาลัยราชภัฏอุบลราชธานี, อุบลราชธานี, 2556.
- [61] รัตติกานต์ วิบูลย์พานิช, “การออกแบบตัวตนแบบระบบโรงเรือนอัจฉริยะเพื่อส่งเสริมความสะดวกสบายให้กับผู้สูงอายุโดยใช้เทคโนโลยีอินเทอร์เน็ตเพื่อทุกสรรพสิ่ง,” การประชุมวิชาการระดับชาติและนานาชาติเบญจมิตรวิชาการครั้งที่ 8, มหาวิทยาลัยธนบุรี, กรุงเทพฯ, 30 พฤษภาคม 2561, หน้า 25-34.
- [62] เจริญ ใจฤทธิ์ และคณะ, “การประยุกต์ใช้เทคโนโลยี Internet of Things ในการควบคุมระบบส่องสว่างสำหรับบ้านอัจฉริยะ,” วารสารวิชาการและการประยุกต์ใช้เทคโนโลยีสารสนเทศ, ปีที่ 7, ฉบับที่ 1, หน้า 1-11, มิถุนายน 2560.
- [63] สุวิทย์ ภูมิภาคทิฐกุลและ ปานวิทย์ รุวนนท์, “Internet of Thing เพื่อการเฝ้าระวังและเตือนภัยต่อสุขภาพของมนุษย์ และการวิเคราะห์ข้อมูลที่ได้โดยใช้โปรแกรม Hadoop,” วารสารวิชาการบทุม, ปีที่ 6, ฉบับที่ 15, หน้า 61-72, เมษายน 2559.
- [64] Raspberry Pi, “Raspberry Pi 3 Model B+ Datasheet,” [Online]. Available: https://www.raspberrypi.org/documentation/hardware/computemodule/datasheets/rpi_DATA_CM3plus_1p0.pdf [Accessed: December 10, 2018].
- [65] ESPRESSIF, “ESP8266-12E (Node MCU) Datasheet,” [Online]. Available: https://components101.com/sites/default/files/component_datasheet/ESP8266-NodeMCU-Datasheet.pdf [Accessed: December 9, 2018].
- [66] Raspberry Pi, “Pi NoIR Camera V2 Datasheet,” [Online]. Available: <https://docs.rs-online.com/80e5/0900766b8127db33.pdf> [Accessed: December 6, 2018].
- [67] Aosong Electronics Co. Ltd., “DHT22 Datasheet,” [Online]. Available: <https://datasheetspdf.com/pdf/792211/Aosong/DHT22/1> [Accessed: December 20, 2018].
- [68] Winsen, “Carbon Dioxide Sensor MH-Z14A Datasheet,” [Online]. Available: https://www.winsen-sensor.com/d/files/infrared-gas-sensor/mh-z14a_co2-manual-v1_01.pdf [Accessed: June 25, 2020].
- [69] Components101, “BH1750,” [Online]. Available: <https://components101.com/sensors/bh1750-ambient-light-sensor> [Accessed: June 5 2020].

- [70] Components101, “*Relay 5V Datasheet*,” [Online]. Available: <https://components101.com/5v-relay-pinout-working-datasheet> [Accessed: June 20, 2020].
- [71] OPENCIRCUIT, “*I2C LED Module Datasheet*,” [Online]. Available: <https://opencircuit.shop/resources/file/da88acc1702a90667728fcf4ac9c75c455475706466/I2C-LCD-interface.pdf> [Accessed: June 20, 2020].
- [72] SOLOMON SYSTECH, “*OLED SSD 1306 Datasheet*,” [Online]. Available: <https://cdn-shop.adafruit.com/datasheets/SSD1306.pdf> [Accessed: June 30, 2020].



TNI

THAI - NICHIRIN INSTITUTE OF TECHNOLOGY

ภาคผนวก



Controller System Code at ESP8266-12E (Node MCU)

```
#include <ESP8266WiFi.h>
#include <BlynkSimpleEsp8266.h>
#include "DHT.h"
#include <time.h>
#include <SPI.h>
#include <Wire.h>
#include <LiquidCrystal_I2C.h>
#include <BH1750.h>
#include "Adafruit_MQTT.h"
#include "Adafruit_MQTT_Client.h"
#include <Adafruit_GFX.h>
#include <Adafruit_SSD1306.h>
#include <MHZ.h>

#define OLED_RESET 16
Adafruit_SSD1306 display(OLED_RESET);
#define CO2_IN 10
MHZ co2(CO2_IN, MHZ14A);
BH1750 lightMeter(0x23);
#define MQTT_SERVER "192.168.1.9"
#define MQTT_PORT 1883
#define MQTT_USERNAME ""
#define MQTT_PASSWORD ""
#define LED_ST 2 //LED_TOP D4
#define LED_Send 16 //LED_bot D0
#define DHTPIN 0 //SD3 D3=0
#define DHTTYPE DHT22
//#define LR1 14 //D5
#define LR2 14 //D5
```

```
#define LR3 12 //D6
#define LR4 13 //D7

LiquidCrystal_I2C lcd(0x27, 20, 4); //16,2
WiFiClient client;
Adafruit_MQTT_Client mqtt(&client, MQTT_SERVER, MQTT_PORT, MQTT_USERNAME,
MQTT_PASSWORD);
Adafruit_MQTT_Publish pi_led = Adafruit_MQTT_Publish(&mqtt, MQTT_USERNAME
"/leds/pi");
Adafruit_MQTT_Subscribe esp8266_led = Adafruit_MQTT_Subscribe(&mqtt,
MQTT_USERNAME "/leds/esp8266");
void MQTT_connect();
void DisplayPreHeating();
void DisplayStatus(String val,String val2);
String TimeNowString();

struct Weather_Values{
    float Humidity,Temperature;
};
typedef struct Weather_Values Struct;
Struct result_Weather;

void SetTime();
String MQTT_Subscribe_Function();

char auth[] = "XXXXXXXXXXXXXXXXXXXXXX";
char ssid[] = "Green House";
char pass[] = "GHGHGHGH";
```

```
int timezone = 7 * 3600; //ตั้งค่า TimeZone = 7 ตามเวลาประเทศไทย
int dst = 0;//กำหนดค่า Date Swing Time
int TG_MQTT = 1;
String Time ="";
String ms="";

int result_Lux=0;
int result_Co2 =0;
int Df_Low_Humidity=70;
int Df_High_Humidity=90;
int Bylnk_NDVI = 0;
int Switch_MN = 0;
BLYNK_WRITE(V8) {
    Df_Low_Humidity = param.asInt();
    Blynk.virtualWrite(V3, Df_Low_Humidity);
}

BLYNK_WRITE(V9) {
    Df_High_Humidity = param.asInt();
    Blynk.virtualWrite(V4, Df_High_Humidity);
}

BLYNK_WRITE(V2) {
    Switch_MN = param.asInt();
}

BLYNK_WRITE(V12) {
    Bylnk_NDVI = param.asInt();
}

DHT dht(DHTPIN, DHTTYPE);
WidgetLED led1(V4), led2(V5), led3(V6), led4(V13);
```

```
void setup() {  
  
    Serial.begin(9600);  
    Setup_pin();  
    Setup_Monitor();  
    display.clearDisplay();  
    DisplayStatus("WIFI", "Conecting");  
    Blynk.begin(auth, ssid, pass);  
    Blynk.virtualWrite(V3, Df_Low_Humidity);  
    Blynk.virtualWrite(V4, Df_High_Humidity);  
    DisplayStatus("WiFi", "Complte");  
    mqtt.subscribe(&esp8266_led);  
    SetTime();  
    Setup_Sensor();  
}  
  
void loop() {  
  
    Blynk.run();  
    MQTT_connect();  
    ms=MQTT_Subscribe_Function();  
    Time = TimeNowString();  
    Serial.println(Time);  
    result_Weather = Weather_Function();  
    result_Lux=Light_sensor_Function();  
    result_Co2 = Co2_Funtion();  
    main_control(Switch_MN,result_Weather.Humidity,result_Weather.Temperature,Df_Low_Humidity,Df_High_Humidity);  
}
```

```
TG_MQTT=MQTT_NDVI( Time, TG_MQTT,result_Lux);

Display_main(result_Weather.Temperature,result_Weather.Humidity,result_Lux,result_Co2);

LCD_main(result_Weather.Temperature,result_Weather.Humidity,result_Lux,result_Co2,ms);

MN_MQTT_NDVI();
delay(1000);
}

void Setup_pin(){
Wire.begin();
pinMode(LED_ST, OUTPUT);
pinMode(LED_Send, OUTPUT);
pinMode(LR2, OUTPUT);
pinMode(LR3, OUTPUT);
pinMode(LR4, OUTPUT);
pinMode(CO2_IN, INPUT);

digitalWrite(LED_ST, HIGH); //AC LOW
digitalWrite(LED_Send, HIGH); //AC LOW
digitalWrite(LR2,HIGH);//OFF
digitalWrite(LR3,HIGH);//OFF
digitalWrite(LR4,HIGH);//OFF
//mqtt.subscribe(&esp8266_led);
}

void Setup_Monitor(){
display.begin(SSD1306_SWITCHCAPVCC, 0x3C);
```

```
lcd.begin(20,4);
lcd.init();
lcd.backlight();
dht.begin();

}

void Setup_Sensor(){
dht.begin();
if (lightMeter.begin(BH1750::CONTINUOUS_HIGH_RES_MODE)) {
Serial.println(F("BH1750 Advanced begin"));
}
else {
Serial.println(F("Error initialising BH1750"));
}
if (co2.isPreHeating()) {
Serial.print("Preheating");
while (co2.isPreHeating()) {
DisplayPreHeating();
}
Serial.println("Complte");
}
}
```

```
Struct Weather_Function(){  
    Struct Weather;  
    float h=dht.readHumidity();  
    float t=dht.readTemperature();  
    float f = dht.readTemperature(true);  
    if (isnan(h) || isnan(t)|| isnan(f))  
    {  
        Serial.println("Failed to read from DHT sensor!");  
    }  
    else{  
        Weather.Humidity=h;  
        Weather.Temperature=t;  
        Blynk.virtualWrite(V0,Weather.Temperature);  
        Blynk.virtualWrite(V1,Weather.Humidity);  
        Serial.println("Temp = " + String(Weather.Temperature));  
        Serial.println("Humi = " + String(Weather.Humidity));  
        return Weather;  
    }  
}  
  
int Co2_Funtion(){  
    int Co2 = co2.readCO2PWM();  
    Serial.print("CO2: ");  
    Serial.println(String(Co2)+" ppm");  
    Blynk.virtualWrite(V10,Co2);  
    return Co2;  
}
```

```
int Light_sensor_Function(){  
    int lux = lightMeter.readLightLevel();  
    Serial.print("Light: ");  
    Serial.print(lux);  
    Serial.println(" lx");  
    Blynk.virtualWrite(V11,lux);  
    return lux;  
}  
  
void MQTT_connect() {  
    int8_t ret;  
    // Stop if already connected.  
    if (mqtt.connected()) {  
        return;  
    }  
    Serial.print("Connecting to MQTT... ");  
    lcd.setCursor(0, 0);  
    lcd.print("Connecting to MQTT");  
    DisplayStatus("MQTT", "Conecting");  
    uint8_t retries = 3;  
    while ((ret = mqtt.connect()) != 0) { // connect will return 0 for connected  
        Serial.println(mqtt.connectErrorString(ret));  
        Serial.println("Retrying MQTT connection in 6 seconds...");  
        lcd.clear();  
        lcd.setCursor(0, 0);  
    }  
}
```

```
lcd.print("Connecting in 6s");

mqtt.disconnect();
for (int i = 0; i <= 30; i++) {
    digitalWrite(LED_ST, LOW);
    delay(100);
    digitalWrite(LED_ST, HIGH);
    delay(100);
} // wait 6 seconds
//retries--;
/*if (retries == 0) {
// basically die and wait for WDT to reset me
while (1);
}*/
}
delay(100);

Serial.println("MQTT Connected!");
DisplayStatus("MQTT","Connected");
digitalWrite(LED_ST, LOW);
}

void MQTT_send (void) {
    // Timer reached zero, now re-load
    it to repeat

    Serial.println("Send");
    //led4.on();
    for (int i=0;i<3;i++){
        digitalWrite(LED_Send, LOW);
        pi_led.publish("TakePhoto");
        delay(1000);}
```

```
digitalWrite(LED_Send, HIGH);
delay(1000);
}
//led4.off();
}

String MQTT_Subscribe_Function(){
String Get_message = "";
Adafruit_MQTT_Subscribe *subscription;
while ((subscription = mqtt.readSubscription()) {
if (subscription == &esp8266_led) {
char *message = (char *)esp8266_led.lastread;
Get_message = message;
Serial.print(F("Got: "));
Serial.println(message);
Blynk.virtualWrite(V7,message);
return Get_message;
}
/*else {
return Get_message;}*/
}
}

void SetTime()
{
configTime(timezone, dst, "ntp.nict.jp", "ntp.jst.mfeed.ad.jp"); //ดึงเวลาจาก Server
Serial.println("\nLoading time");
while (!time(nullptr)){
Serial.print("*");
delay(100);
```

```
    }

}

String TimeNowString() {

    time_t now = time(nullptr);
    struct tm* newtime = localtime(&now);
    String tmpNow = "";

    tmpNow = String(newtime->tm_min);

    return tmpNow;
}

void main_control(int STM,float H,float T,int LH,int HH){

    if(STM==0){

        if(H < LH ){ //70
            digitalWrite(LR2,LOW); //high
            led2.on();
        }
        else if (H >= HH){ //80
            digitalWrite(LR2,HIGH); //LOW
            led2.off();
        }
    }
    else
    {
        digitalWrite(LR2,LOW);
        led2.on();
    }
}
```

```
if(STM==0){  
    if (T > 28){  
        digitalWrite(LR3,LOW); //FAN ON  
        digitalWrite(LR4,LOW);  
        led3.on();  
    }  
    else if(T <= 26){  
        digitalWrite(LR3,HIGH); //FAN OFF  
        digitalWrite(LR4,HIGH);  
        led3.off();  
    }  
}  
/*if(digitalRead(MN) == LOW){  
    digitalWrite(LR3,HIGH);  
    digitalWrite(LR4,HIGH);  
    led3.off();}*/  
else  
{  
    digitalWrite(LR3,LOW);  
    digitalWrite(LR4,LOW);  
    led3.on();  
}//FAN ON MN  
}  
  
void MN_MQTT_NDVI(){  
    if(Bylnk_NDVI == 1){  
        MQTT_send();  
        led4.on();  
    }  
    else {  
        led4.off();  
    }  
}
```

```

        }

    }

int MQTT_NDVI(String Time,int TG_MQTT,int lux){

    if(lux>=100) //!=0
    {
        if((Time == "0" || Time == "15" || Time == "30" || Time == "45") && (TG_MQTT==1))
        {
            MQTT_send();
            TG_MQTT=0;
            Serial.print("MQTT :");
            Serial.println(TG_MQTT);
        }
        else if ((Time == "1" || Time == "16" || Time == "31" || Time == "46" || Time == "59")
&& (TG_MQTT==0))
        {
            TG_MQTT=1;
            Serial.print("MQTT :");
            Serial.println(TG_MQTT);
        }
    }
    else{TG_MQTT=1;}
    return TG_MQTT;
}

void drawPercentbar(int x,int y, int width,int height, int progress)
{
    progress = progress > 100 ? 100 : progress;
    progress = progress < 0 ? 0 :progress;
}

```

```
float bar = ((float)(width-4) / 100) * progress;
display.drawRect(x, y, width, height, WHITE);
display.fillRect(x+2, y+2, bar , height-4, WHITE);

// Display progress text

if( height >= 15){

    display.setCursor((width/2) -3, y+5 );
    display.setTextSize(1);
    display.setTextColor(WHITE);

    if( progress >=50)
        display.setTextColor(BLACK, WHITE); // 'inverted' text
    display.print(progress);
    display.print("%");

}

void DisplayPreHeating(){

int Countdown=0;
int p3=0;
Serial.println("Preheating");
while (co2.isPreHeating()) { //co2.isPreHeating()

    Serial.println(Countdown);
    Countdown+=1;
    display.clearDisplay();
    display.setTextSize(2); // กำหนดขนาดตัวอักษร
    display.setTextColor(WHITE);
    display.setCursor(0,0); // กำหนดตำแหน่ง x,y ที่จะแสดงผล
    display.println("CO2 Sensor Warming ");
    p3=(Countdown*100)/180;
    drawPercentbar( 0, 40, 128, 20,p3);
    if( p3 >= 180 ) {p3 =180;}
    display.display();
    delay(1000);//1000
```

```
}

}

void DisplayStatus(String val,String val2){

    display.clearDisplay();

    display.setTextSize(2); // กำหนดขนาดตัวอักษร

    display.setTextColor(WHITE);

    display.setCursor(0,0); // กำหนดตำแหน่ง x,y ที่จะแสดงผล

    display.println(val);

    display.setTextSize(2); // กำหนดขนาดตัวอักษร

    display.setTextColor(WHITE);

    display.setCursor(0,22); // กำหนดตำแหน่ง x,y ที่จะแสดงผล

    display.println(val2);

    display.display();

    delay(1000);

}

void Display_main(float t,float h,int lux,int ppm){

    display.clearDisplay();

    display.setTextSize(1);

    display.setTextColor(WHITE);

    display.setCursor(0,0);

    display.println("Temp:" + String(t) + " C");

    display.setCursor(0,11);

    display.setTextSize(1);

    display.setTextColor(WHITE);

    display.println("Humidity:"+String(h)+" %");

    display.setCursor(0,22);

    display.setTextSize(1);

    display.setTextColor(WHITE);

    display.println("Lux:"+String(lux)+" Lux");
```

```
display.setCursor(0,33);
display.setTextSize(1);
display.setTextColor(WHITE);
display.println("CO2:"+String(ppm)+" ppm");
display.display();
}

void LCD_main(float t,float h,int lux,int ppm,String ndvi){
lcd.clear();
lcd.setCursor(0, 0);
lcd.print("T:"+String(result_Weather.Temperature)+"C");
lcd.setCursor(12, 0);
lcd.print("H:"+ String(result_Weather.Humidity)+"%");//8dic
lcd.setCursor(0, 1);
lcd.print("Co2:"+String(ppm)+"ppm");
lcd.setCursor(12, 1);
lcd.print("Lux:"+String(lux));
if (digitalRead(LR3)==HIGH && digitalRead(LR4)==HIGH){lcd.setCursor(11, 2);lcd.print("FAN:OFF");}
else{lcd.setCursor(11, 2); lcd.print("FAN:ON");}
lcd.setCursor(0,2);
if (digitalRead(LR2)==HIGH){lcd.print("FOGGY:OFF");}
else {lcd.print("FOGGY:ON");}
lcd.setCursor(0, 3);
lcd.print("NDVI:"+String(ndvi));
}
```

Slave System Code at Raspberry pi 3 b+

```
import paho.mqtt.client as mqtt
import datetime
import time
import numpy as np
import cv2
import picamera
import picamera.array
from gpiozero import LED
from time import sleep
import RPi.GPIO as GPIO

LED_PIN = 24
BUTTON_PIN = 23
led = LED(21)
GPIO.setmode(GPIO.BCM)
GPIO.setwarnings(False)
GPIO.setup(LED_PIN, GPIO.OUT)
GPIO.output(LED_PIN, GPIO.LOW)
GPIO.setup(BUTTON_PIN, GPIO.IN, pull_up_down=GPIO.PUD_UP)

def nothing(x):
    pass

font=cv2.FONT_HERSHEY_SIMPLEX

cap = cv2.VideoCapture(0)
```

```

width = 544 #544
height= 400 #400
frame_width = 544
frame_height= 400
timestamp = datetime.datetime.now()
formattedTime = timestamp.strftime("%Y%m%d-%H:%M:%S.mp4")

out =
cv2.VideoWriter('/home/pi/Desktop/ProjectNDVI/MQTT_VD/NDVItest20'+formattedTi
me, cv2.VideoWriter_fourcc('X','V','I','D'), 10, (1088,800),1)
"""

Combines four images for display.

"""

def disp_multiple(im1=None, im2=None, im3=None, im4=None):

    combined = np.zeros((2 * height, 2 * width, 3), dtype=np.uint8)

    combined[0:height, 0:width, :] = im1
    combined[height:, 0:width, :] = im2
    combined[0:height, width:, :] = cv2.cvtColor(im3, cv2.COLOR_GRAY2RGB)
    combined[height:, width:, :] = im4

    return combined

def label(image, text):

```

```

"""
Labels the given image with the given text
"""

return cv2.putText(image, text, (0, 50), font, 2, (255,255,255),4)

def contrast_stretch(im):
    """
    Performs a simple contrast stretch of the given image, from 5-95%.
    """

    in_min = np.percentile(im, 5)
    in_max = np.percentile(im, 95)

    out_min = 0.0
    out_max = 255.0

    out = im - in_min
    out *= ((out_min - out_max) / (in_min - in_max))
    out += in_min

    return out

#load display colorbars
colorbar= cv2.imread ("/home/pi/Desktop/ProjectNDVI/NDVIcolormap.jpg",1)

colorbar=cv2.resize (colorbar,None, fx=.8,fy=.4,interpolation=cv2.INTER_CUBIC)

print (colorbar.shape)

colorbarjet=cv2.imread("/home/pi/Desktop/ProjectNDVI/jetcolorbar.jpg",1)

```



```
color = cv2.LUT(ndvi, fastie)
```

```
return color;
```

```
#begin camera collection
```

#####

End of NDVI Function

```

def run():

    #####
    Start    MQTT   Function
    #####
    print("Connected with result code " + str(rc))
    client.subscribe("/leds/pi")

def on_message(client, userdata, msg):
    print(msg.topic+" "+str( msg.payload))
    if msg.topic == '/leds/pi':
        if msg.payload == b'TakePhoto':
            curtime = datetime.datetime.now()
            formattedTime = curtime.strftime("%Y%m%d-%H:%M:%S")
            client.publish('/leds/esp8266', str("{0:.3f}".format(ndvi_Mean)))

cv2.imwrite("/home/pi/Desktop/ProjectNDVI/MQTT_takephoto/NDVI"+formattedTim
e+".jpg", combined)

        GPIO.output(LED_PIN, GPIO.HIGH)
        sleep(1) # 1sec
        GPIO.output(LED_PIN, GPIO.LOW)

# Create MQTT client and connect to localhost, i.e. the Raspberry Pi running
# this script and the MQTT server.

#####
# End of MQTT Function #####
with picamera.PiCamera() as camera:

    # Set the camera parameters
    x = 400 #400

```

```

#     camera.resolution = (int(1.33 * x), x)
camera.resolution = (544, x)

# Various optional camera settings below:
camera framerate = 30
camera.awb_mode = 'off'
#red/blue camera ratios from 0 to 8

client = mqtt.Client()
client.on_connect = on_connect
client.on_message = on_message
client.connect('localhost', 1883, 60)
client.loop_start()

#     camera.awb_gains = (Red_gain,Blue_gain)

# Need to sleep to give the camera time to get set up properly
time.sleep(1)

with picamera.array.PiRGBArray(camera) as stream:

    while True:
        camera.capture(stream, format='bgr', use_video_port=True)
        image = stream.array

        image1=image
        Red_gain=35
        Blue_gain=4
        Frame_rate=30

        camera.awb_gains = (Red_gain/10,Blue_gain/10)
        camera.framerate = Frame_rate

        # Get the individual colour components of the image
        b, g, r = cv2.split(image)

```

```

#start video capture
ret, image = cap.read()

# Calculate the NDVI
# Bottom of fraction
bottom = (r.astype(float) + b.astype(float))
bottom[bottom == 0] = 0.01 # Make sure we don't divide by zero
ndvi = (r.astype(float) - b) / bottom
ndvi_Mean = ndvi.mean()
print("mean ndvi = {0:.3f}".format(ndvi_Mean))
ndvi = contrast_stretch(ndvi)
ndvi = ndvi.astype(np.uint8)
ndvijet = cv2.applyColorMap(ndvi, cv2.COLORMAP_JET)
ndvi = cv2.cvtColor(ndvi, cv2.COLOR_GRAY2BGR);
# NOTE : im_gray is 3-channel image with identical
ndvifastie = fastieColorMap(ndvi)
# Do the labelling
label(image1, 'RGB')
label(ndvifastie, 'NDVI/fastie')
label(r, 'RED')
label(ndvijet, 'NDVI/Jet')
# Combine ready for display
combined = disp_multiple(image1,ndvifastie,r, ndvijet)

# colorbar fastie
rows,cols,channels = colorbar.shape
roi = colorbar[0:rows, 0:cols ]

# Now create a mask of logo and create its inverse mask also
img2gray = cv2.cvtColor(colorbar, cv2.COLOR_BGR2GRAY)
ret, mask = cv2.threshold(img2gray, 10, 255, cv2.THRESH_BINARY)

```

```

mask_inv = cv2.bitwise_not(mask)

# Now black-out the area of logo in ROI
img1_bg = cv2.bitwise_and(roi,roi,mask = mask_inv)

# Take only region of logo from logo image.
img2_fg = cv2.bitwise_and(colorbar,colorbar,mask = mask)

# Put logo in ROI and modify the main image
dst = cv2.add(img1_bg,img2_fg)

combined[775:(775+rows), 25:(25+cols)] = dst

# colorbar jet
rows,cols,channels = colorbarjet.shape
roi = colorbarjet[0:rows, 0:cols ]

# Now create a mask of logo and create its inverse mask also
img2gray = cv2.cvtColor(colorbarjet,cv2.COLOR_BGR2GRAY)
ret, mask = cv2.threshold(img2gray, 10, 255, cv2.THRESH_BINARY)
mask_inv = cv2.bitwise_not(mask)

# Now black-out the area of logo in ROI
img1_bg = cv2.bitwise_and(roi,roi,mask = mask_inv)

# Take only region of logo from logo image.
img2_fg = cv2.bitwise_and(colorbarjet,colorbarjet,mask = mask)

# Put logo in ROI and modify the main image
dst = cv2.add(img1_bg,img2_fg)

combined[775:(775+rows), 720:(720+cols)] = dst

cv2.putText(combined,str(Red_gain/10),(750,50),font,2,(0,0,256),4)
cv2.putText(combined,str(Blue_gain/10),(200,50),font,2,(256,0,0),4)

```

```
cv2.putText(combined,str("Mean NDVI =\n{0:.3f}".format(ndvi_Mean)),(0,770),font,1,(0,0,0),4)  
stream.truncate(0)  
  
print('Script is running, press Ctrl-C to quit...')  
  
if __name__ == '__main__':  
    run()
```



ได้เข้าร่วมและตีพิมพ์งานวิจัยในงานประชุมวิชาการ TNIAC 2020





EN-8

โมเดลการศึกษาปัจจัยและวิเคราะห์ผลที่มีต่อการสังเคราะห์ด้วยแสงของพืช
กรรณีศึกษา ด้วยความต่างพิชพรรณ

จักรินี ชีวิตด้วยความ
ศรัทธาในโลกภัยการคุณมาก
สถาบันเทคโนโลยีไทย-ญี่ปุ่น
177/1 ถ.พหลโยธิน แขวงลาดยาว กรุงเทพฯ 10250
อีเมล: jakarin_el@tnti.ac.th

សាស្ត្រកិច្ចិច ទិន្នន័យគ្រប់
គណន៍អង្គភាព និងវិបត្តករណ៍នៃកម្ពុជា
សាកលវិទ្យាល័យនៃក្រសួងពីរូបិយរោង
1771/1 ផ.ពេជ្ជការាយ ខេត្តសាកលវិទ្យា
សម្រាប់គោលការណ៍ ក្រុងពេលវេលា 10260
នាទីភាពនៃក្រសួង ក្រសួងពីរូបិយរោង

ประจักษ์ เดชโภณ
กศนเทพ ในสือวิถีการสอนเกต
สถาบันเทคโนโลยีไทย-ญี่ปุ่น
177/1 ถ.พัฒนาการ แขวงสวนหลวง
เขตสวนหลวง กรุงเทพ 10260
prajak@tni.ac.th

บทความนี้ได้เน้นไปมุ่งเหลือล้ำป่าตองการการทักทิพหมายเหตุในภารกิจชั้นยอดเพื่อเพิ่มประสิทธิภาพในการเรียนรู้และปลูกฝึกศิษย์ด้วยโรงเรียนขนาดเล็กให้ได้รับการรับอี้ชั้นพร้อมกันที่ทำหน้าที่มาใช้ในการเก็บเกี่ยวผลผลิตที่เหมาะสมท่ามทั้งให้เกิดกระบวนการทางการค้าที่มีผลผลิตและยั่งยืนระยะยาวในการขยายภาคบูรณาการ โรงเรียนขนาดเล็ก ซึ่งมีศักยภาพในการบรรยายสรุปที่เป็นปกติอยู่ทุกๆ ครั้งที่มีหัวข้อและเรื่องราวมาพิจารณาที่เพื่อชาติของเราทั้งด้านปัจจัยและด้านที่สำคัญที่สุด ที่จะช่วยให้เกิดการสนับสนุนและเชื่อมโยงความร่วมมือกันให้เกิดขึ้นอย่างมีผลผลิตและมีความคุ้มค่ามากที่สุด

ABSTRACT — Thailand is an agricultural country because of terrain, climate, and resources which are suitable for cultivation. While today technology might be able to help agriculture in many ways but the barrier to accessing technology is their prices. That is the main reason why they are still using manpower

This paper proposed a control and monitoring system architecture with statistical analysis for greenhouse planting in order to reduce production cost and manpower. The data will be storage in database and analyzed the data look for parameters in best range of planting model.

Keywords — NDVI, IoT, Greenhouse, Smart farm.

14

ประเทศไทยเป็นประเทศทางด้านเกษตรกรรมมากที่สุดต่อจากเมืองปูซูยัน เนื่องจากตั้งอยู่ในเขตอนุภูมิชลประทานและอุ่นเย็นได้ และมีสภาพภูมิประเทศหilly ทั้งภูเขา ทั้งภายใต้ ทั้งภัยด้านล่าง และสภาพภูมิอากาศที่เหมาะสมกับการทำการเกษตรพืชกรรมในทุกๆ ด้าน ไม่ว่าจะเป็น การทำนา การฟาร์มสัตว์ไม่ การทำไร่เชิง และการห้ามสัตว์ เป็นจำนวนมาก และด้วยอยู่ติดกับเมืองปูซูไป

12

๒๐๘๖

III วิชาเอกที่นักศึกษาต้องรู้

อินเทอร์เน็ตของสิ่งของ หรือที่รู้จักกันในชื่อ Internet of Things (IoT) [1] หมายความว่าการที่ต้องเชื่อม อุปกรณ์ หรือเครื่องจักรสามารถสื่อสารและแลกเปลี่ยนข้อมูลกันได้ ผ่านทางเครือข่ายที่มีลักษณะเป็นโครงสร้างที่ต่อเนื่องกัน

ว่าจะเป็นที่รับรองแบบมีสาย (LAN) หรือแบบไร้สาย (Wireless) โดยที่ไป
ไปริบอตคอมพิวเตอร์ในการใช้อุปกรณ์ ทำให้สามารถควบคุม ตรวจสอบ บริหาร
อัจฉริยะ หรือ ความสามารถของอุปกรณ์ต่อสื่อมวลชน เช่น กล้องวงจรปิด ไฟฟ้าอัจฉริยะ
เพื่อกันขโมย ไฟฟ้าอัจฉริยะ ห้องน้ำอัจฉริยะ ฯลฯ ที่มีอยู่ในบ้าน สำหรับผู้คน
เดียว ก็ได้ ซึ่งกล้องบันทึกประมวลผลของอุปกรณ์นี้นั้น ในประเทศไทยอยู่อุปกรณ์ IoT
ไม่ต้องเป็นที่แม่พิมพ์หลายเท่าๆ ให้ห้ามซื้อ ตัวนั้นใหญ่และใช้ไม่ได้ แต่ต้องซื้อ
อุปกรณ์รวม ภาระค่อนข้างมาก แนะนำด้านบ้านของนิช ไม่ว่าบ้านทางด้านภาค
เกษตรกรรมก็เริ่มน่าเทคโนโลยี IoT เน้ามเข้ามาในการทำอาหารเกษตรเพื่อช่วย
ไม่แพ้ชาตินัก ตั้งแต่เก็บไร้สายที่เก็บทางการเกษตรเริ่มที่จะทำระบบ Smart
farm ของตัวเองเพื่อออกสินค้าทางการค้าและงานเกษตร การวางแผนแบบที่ทำให้
การขายและออกตัวได้ดี ทุ่งรากซึ่งจะสามารถควบคุมและตรวจสอบได้ที่บ้าน
ปัจจุบันนี้ท่านนั้น ไม่ว่าจะเป็นการตรวจสอบความชื้นหรืออุณหภูมิภายใน
ที่ยวังของห้องแล้ว ภาระควบคุมการให้น้ำ ภาระให้แสง หรือบริการแม่ระบุราฐ
ในการฟาร์มที่เป็นการปลูกผักใบไก่เป็นกิจ เป็นกิจ และกิจที่บังคับการให้กับ
ค่าทางเดินที่ถูกกำหนดของอุปกรณ์อย่างที่ต้องดูอยู่ภายใน Smart farm เพื่อ
นำมารวบเครื่องหัวใจความต้องการของชาวบ้านปรับตัวต่อไป ภาระในฟาร์มที่ถูกกำหนด
ต่อการบริการโดยให้ประโยชน์เพื่อเศรษฐกิจ

||| ទីនៃការងារខ្លួន

ตัวบ่งชี้ความต่างพืชพรรณ หรือเรียกว่าชี้วัดน้ำดูด Normalized difference vegetation index (NDVI) [2] เป็นการลับความเหลืองของชั้นในไม้ดอกไม้ผลกับการสะท้อนคลื่นแม่เหล็กไฟฟ้าที่ที่สะท้อนกลับออกมาก คือค่าเฉลี่ยของไฟฟ้าที่รู้จักกันว่าความยาวคลื่นและความถี่ที่เกิดต่อจากกันออกไปในแต่ละประเพณีได้แก่ ค่าที่แสดงระหว่าง (200-315nm), ค่าที่สัมผัสรอย่างเดือน (400-780nm), ค่าอินฟราเรด (1mm-750nm), ค่าที่สัมผัสนอกใจ (Near Infrared (NIR)) กับ แสงที่สามารถมองเห็น (Visible Light) ในกระบวนการคำนวณค่าของตัวบ่งชี้ความต่างพืชพรรณโดยที่ไว้ไปแล้วเมื่อแสงตกกระทบบนใบไม้โดยมี Chlorophyll a และ Chlorophyll b ที่ทำหน้าที่คือกลุ่มชุดแสงในช่วงสีเหลืองและเขียว เนื่องจากเป็นส่วนประกอบของสารอาหารพืช หลังจากนั้นจะมีการรับรู้ความเหลืองของชั้นในช่วงสีเขียวของอกลาม จึงเป็นเหตุผลว่าทำไมจึงมองเห็นที่เป็นสีเขียว ในช่วงของค่าอินฟราเรดของอกลาม Carotenoid จะทำหน้าที่บล็อกออกภายในตัวร่วมที่ก่อนหน้าสูง ที่สำคัญนิดเดียวสามารถที่จะรับรู้ที่จะเปลี่ยนแปลงให้ไฟฟ้าไม่ได้ตัวรวมที่แยกต่อจากกันหรือที่ซ่อนอยู่ที่มีอยู่บริเวณ ความสมบูรณ์ต่อจากกัน การสะท้อนกลับคลื่นแม่เหล็กไฟฟ้าก็จะแยกตัวออกจากกันได้ เมื่อเก็บข้อมูลนี้ที่ที่สมบูรณ์จะมีการรับรู้เข้ม NIR มากกว่าตัวเดื่นช่วงสีเหลือง และเพื่อในอุดมที่ไม่สมบูรณ์จะมีการรับรู้ตอน NIR น้อยกว่าหรือเท่ากันตัวเดื่นช่วงสีเหลืองและการสะท้อนที่แยกต่อจากกันช้าลงด้วยความต่างที่จะสูงขึ้น 2 ช่วงต่อเดือนก็จะสามารถไถ่สัมภาระดังนี้

$$NDVI = \frac{NIR - VIS}{NIR + VIS} \quad (1)$$

100

NIR = นิรภัยทาง NIR ที่จะช่วยให้เราไม่ลืมตัว

VIS = ปริมาณแสง visible light ที่เหลือจากการดูดซับโดยใบไม้

ที่ได้รับความหมายพื้นที่ที่มีความสมบูรณ์ล้นไปในสมบูรณ์ของอุตสาหกรรมน้ำดื่มโดยที่ NDVI จะมีค่าตัวแปร = 1 - ถึง 1 เมื่อค่าNDVI เข้าใกล้ 1 แสดงว่าพื้นที่นั้นมีความสมบูรณ์ การตัวบ่งชี้มีการสังเคราะห์และด้วยค่าตัวแปรนี้ความต่างเพื่อพรรณนา มีงานเรียบง่ายสรุปออกมานี้แล้วว่า ค่าNDVI มีความสัมพันธ์เชิงบวกกับตัวตัวกราฟทางเดินทางที่ตัวอย่างของพื้นที่โดยทั่วไปที่ปริมาณการตั้งกรากคุณในต่อองค์กร (CO_2) [3].

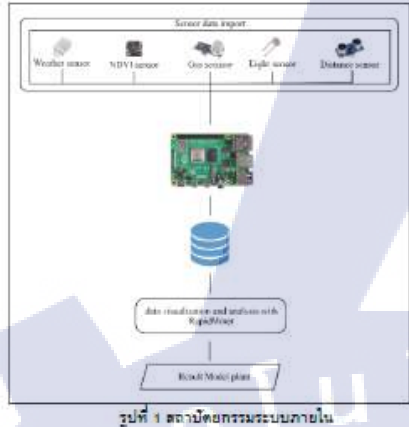
III. สถาบันพัฒนาระบบ

ในส่วนนี้อธิบายเกี่ยวกับการออกแบบระบบสถาปัตยกรรม, พึ่งกันที่ไปในการตัดเก็บข้อมูลและวิเคราะห์เครื่องที่ซ้อม ได้ทั้งการออกแบบบนฐานข้อมูลที่ใช้เก็บข้อมูลที่ได้รับมาจากการซื้อขายในโรงเรือนขนาดเล็ก หลังจากที่เก็บรวบรวมข้อมูลได้มาพอกแล้วจึงนำข้อมูลที่ได้มาทั้งการวิเคราะห์โดยทั่วไป เนื่องเมื่อที่ซ้อม RapidMiner Studio [5] ในการวิเคราะห์และทำนายข้อมูล ให้ได้มาซึ่งโมเดลที่มีประสิทธิภาพในการเพาะปลูก แนวทางในการทดสอบจะทำการปลูกขึ้นแล้วโดยออกแบบแบบใหม่ การกรองคุณภาพแพลตต์ฟอร์มภายในโรงเรือนขนาดเล็กที่ใช้ทักษะปุ่มกดร้อน ทั้งมีการเก็บข้อมูลจากผู้ซื้อต่อๆ กันในโรงเรือนเพื่อใช้ในการวิเคราะห์ ภาระในแต่ละวันจะมีความต้องการที่ต่างกันตามวันที่ผ่านมา เช่น ระบบฟาร์มอัตโนมัติ และระบบแสงที่ช่วยในการผลิตพลังงาน สามารถปรับแต่งระบบเครื่องกลได้ตามที่ต้องการ ระบบแสงรวมที่สามารถอ่านภาระอากาศภายในได้ หมายความว่าในแต่ละช่วงเวลา

III.1 การออกแบบและพัฒนาชุดกิจกรรมสอนภาษาในโรงเรียนขนาดเล็ก

ในงานเรียนรู้นี้จะสอนสถาปัตยกรรมภายนอกในโรงเรียนขนาดเล็กที่เพื่อ
ช่วยค่าเช่าและเก็บค่าต่อห้อง ๆ ในกระบวนการการปลูกผักชีวภาพ

จากญี่ปุ่นที่ 1 เพล็ทให้เดินทางมาท่องเที่ยวท่องเที่ยวในการเก็บข้อมูล
จากเดินทาง เดินทางนั้นจะประกอบไปด้วย เดินทางวิ่งอุณหภูมิ,
ความชื้น, NDVI, ปริมาณแก๊ส, ความเข้มแสง และข้อมูลอัจฉริยะความชื้น
เดินทางเดินทางนี้จะติดตั้งอยู่บนเบอร์ Rasperry pi เพื่อรับค่าข้อมูลจาก
การประเมินและระบุภัยน้ำที่เกิดในฐานะต้นแบบ บัญชีที่รวมรวมความ
เดินทางและภัยน้ำที่เก็บอยู่ภายในข้อมูล และนำมารวบกันที่เมืองข้อมูล
ที่ปรับเปลี่ยนอยู่ที่มาภาพและเอกสารที่พิมพ์ในเอกสารที่ถูกตัดไปทางขวาของปุ่ม
ในแต่ละวัน



III. การประยุกต์ใช้ด้านน้ำในไร่

สำหรับระบบที่ได้มาเป็นของระบบชาร์ทแล็ปที่น้ำเด่นไปในสูตรที่ 1 นั้น ประกอบไปด้วย บอร์ดที่ใช้ในการควบคุมระบบและบอร์ดอุปกรณ์ ความชื้นและความชื้น, เอ็นเอฟวี NDVI, เอ็นเอฟวีกิ๊ฟ, เอ็นเอฟวีตัวความชื้น, และเซ็นเซอร์อื่นๆ ดังรูปที่ 2

- บอร์ดควบคุม Raspberry Pi 3 b+
เป็นบอร์ดคอมพิวเตอร์ขนาดเล็ก มีความสามารถในการใช้งาน ที่นำไปและ มีคุณสมบัติเด่น คือ ติดต่อ และความคุณลักษณะ ของการติดต่อที่ดี ใช้ร่วมกับปฏิบัติการ Raspbian
- เอ็นเอฟวี NDVI Pi NoIR Camera V2
บอร์ดต้องที่มีความสามารถในการถ่ายภาพในช่วงคลื่นแม่เหล็กไฟฟ้าเดียว ซึ่งไฟฟ้าได้โดยนำภาพถ่ายด้วยกล้องตัวรวมที่ทำการถ่ายรวมด้วย กันโดยทั่วไปที่ชื่อว่า NDVI ซึ่งมาโดยใช้ สมการคณิตศาสตร์
- เอ็นเอฟวี MQ-135
เป็นเซ็นเซอร์ที่ใช้ในการตัดปิรามีดก่ออกร่องรอยไฟฟ้า
- เอ็นเอฟวีตัวความชื้น Ultrasonic
เซ็นเซอร์ที่ใช้กันอัตโนมัติในการตรวจสอบไปกลับเพื่อ คำนวณระยะทางระหว่างหัวจ่ายน้ำหรือหัวฉีดที่อยู่ตรงหน้า เอ็นเอฟวี
- เอ็นเอฟวีอุณหภูมิและความชื้น DHT22
เซ็นเซอร์สภาพอากาศมีความสามารถในการตัดอุณหภูมิและ ความชื้น มีอย่างในกรดอุณหภูมิอยู่ที่ -40 ถึง 80 องศาเซลเซียส และช่องในการตัดความชื้นอยู่ที่ 0 ถึง 100 %
- เอ็นเอฟวีแสง LDR
เป็นตัวด้านหน้าเป็นตัวด้านแสง ตัวด้านหน้าจะนิ่งเมื่อไม่มีแสงมากพอจะแทน

III.III การควบคุมและวิเคราะห์

การออกแบบระบบควบคุมในเรื่องนี้จะเรียกว่า มีตัวแปลสำคัญอยู่ 2 อย่าง ได้แก่ เวลา สภาพแวดล้อมภายใน ดังนี้ความต่างที่ของพรม

- เวลา เป็นตัวแปรที่สำคัญที่สุดหนึ่งเมื่อเราต้องมีการกำหนด ระยะเวลาในการให้แสงกันเท่านั้น
- สภาพแวดล้อมภายใน หรือร่องน้ำ
- ไม่ว่าจะเป็นอุณหภูมิ ความชื้น ความชื้นแบบติดน้ำ เป็นตัวแปรที่ต้อง ให้รับการควบคุม เพื่อไม่ทำให้เกิดผลกระทบต่อการเพาะปลูก
- ดังนี้ความต่างที่ของพรม คือตัวปัจจัยในการตรวจสอบพืชภายใน โรงเรือนมีการดูแลรักษาอย่างดีหรือไม่

VI. กระบวนการจัดเก็บข้อมูลและการวิเคราะห์

ในกระบวนการนี้ข้อมูลที่ถูกจัดเก็บมาจากการติดตามของรากในโรงเรือน สามารถถูกตัดสินใจได้เมื่อที่รากขึ้นอยู่กับที่ใช้ในการวิเคราะห์ที่ไม่เฉพาะ ทางเพียงอย่างเดียว แต่ เมื่อทำการเก็บข้อมูลไปซักครู่จะมีเวลาที่น้ำคงอยู่ในรากต่อเนื่องกัน จึงเริ่มทำการวิเคราะห์ที่เพื่อหาว่าอัตราที่ซึ่งผลต่อการเจริญเติบโตของพืช ค่าที่ บันทึกอยู่ในฐานข้อมูลได้นั้น รักษาอุณหภูมิ, ความชื้น, ปริมาณแสง, ความชื้นแสง, ความชื้นของพืช, และ NDVI โดยใช้ค่า NDVI เป็นตัว ปัจจัยที่มีผลต่อการสังเคราะห์ถัวแสงเพื่อใช้ในการเจริญเติบโต [4] จาก การศึกษา พบว่า ปริมาณ CO_2 , O_2 , อุณหภูมิ, ความชื้น, แสง เป็นปัจจัย สำคัญที่ส่งผลต่อการสังเคราะห์แสงของพืช [6] [7] [8] การนำค่าตัวตัดน้ำ ความต่างที่ของพรมที่ใช้ในการตัดปิรามีดก่ออกร่องรอยไฟฟ้าในช่วง NIR มาเข้ามาในการเพื่อทำการ คำนวณ NDVI ที่พิเศษ ณ ช่วงเวลาหนึ่ง เพื่อบันทึกอัตราการดึง CO_2 หรือ อัตราการดึง O_2 ของพืช และตัวการต่างที่อุณหภูมิที่ต้องมีความต้านทานของตัวตัดน้ำ ของ จากนี้เริ่มใช้การที่ปัจจุบันที่ต้องให้พืชนั้นมีการสังเคราะห์แสงที่พืชที่นั้น มากขึ้น ไม่ว่าจะเป็นการปรับเปลี่ยนเพื่อบันทึกอัตราการดึง CO_2 กับ ปริมาณแสง, NDVI กับ ความชื้น, NDVI กับ ปริมาณ CO_2 หรือ O_2 ภายในโรงเรือน ชนาตเด็ก

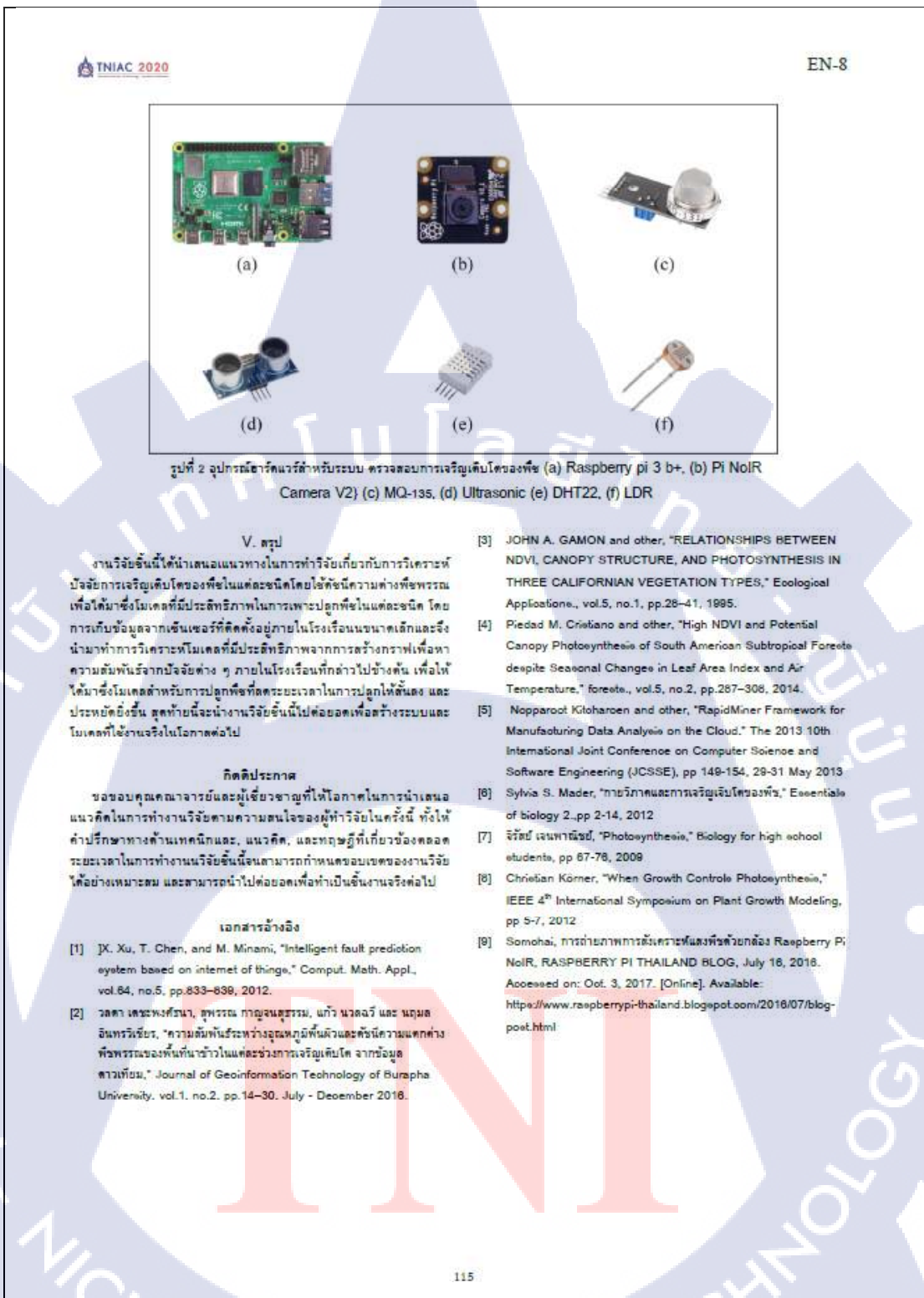
จากสมการ NDVI ที่กล่าวไว้ข้างต้นนั้น ในขั้นตอนนี้มีการ แบ่งเป็นสองด้านคือการคำนวณของ NDVI [9] เพื่อต่อไปในการตรวจสอบในช่วงที่ไม่ต้องการจะไป ดังนั้นสมการนี้ แบ่งเป็นสองส่วน

$$\text{NDVI} = \frac{\text{RED-BLUE}}{\text{RED+BLUE}} \quad (2)$$

โดยที่

RED = ปริมาณแสง NIR ที่ต้องหันจากไปของพืช เก็บจากเซลล์รับ แสงสีเหลืองอุปกรณ์

BLUE = ปริมาณแสงที่น้ำเงินที่หันกลับจากไปของพืชผ่านฟิลเตอร์ น้ำเงิน



V. 2024

งานวิจัยเชิงนี้ได้นำเสนอแนวโน้มในการทำที่รัฐบาลเกี่ยวกับการบริหารประเทศ ป้องกันภัยธรรมชาติโดยองค์กรนักวิชาชีพด้านภัยธรรมชาติที่มีความต่อเนื่องเพื่อให้เกิดมาซึ่งไม่ต้องมีประดิษฐ์ภัยในการพัฒนาประเทศที่ไม่เป็นมิตรต่อระบบนิเวศ โดยการเก็บข้อมูลจากเชิงเรือที่ติดต่ออยู่ภายนอกในโรงเรียนและนักเด็กและเรื่องน้ำมันที่ทำภาระให้กับโลกและมีประสิทธิภาพทางการสร้างสรรค์ของมนุษย์ให้มาก ความต้องการที่จะรักษาสิ่งแวดล้อม ภายในประเทศไทยที่สำคัญไปกว่าที่เคย เป็นไปได้ตามที่ไม่สามารถไว้วางใจได้ ภัยไม่ได้เริ่มที่ท่ามกลางน้ำที่มีความเสี่ยง แต่ได้เริ่มต้นที่มนต์เสน่ห์ของมนต์เสน่ห์ที่ต้องระลึกษาในการบูรณะให้ดีขึ้น และประยุกต์ใช้เชิงนักบุญที่มีความสามารถในการรักษาและดูแลให้ดีขึ้น ไม่ต้องการให้รัฐบาลสนใจในภัยธรรมชาติไป

กิจกรรมภาษาไทย

ขอขอบคุณคณาจารย์และผู้ช่วยอาจารย์ที่ได้ให้การในการนำเสนอ
แนวคิดในการทำงานวิจัยตามความต้องการของผู้ที่ร่วมในครั้งนี้ ที่ได้ให้
คำปรึกษาทางวิถีทางเทคนิคและ, แนวคิด, และกฤษฎีที่เกี่ยวข้องตลอด
ระยะเวลาในการทำงานวิจัยนี้จนสามารถก่อให้เกิดประโยชน์เพื่อสังคมฯ ล้วน
ได้รับงดงามมาก และสามารถนำไปต่อยอดเพื่อก้าวไปอีกขั้นตอนต่อไป

เอกสารจ้างอิสระ

- [1] JX. Xu, T. Chen, and M. Minami, "Intelligent fault prediction system based on internet of things," *Comput. Math. Appl.*, vol. 64, no. 5, pp.833–839, 2012.

[2] วงศ์สุวรรณ, อุทัยรัตน์ กานุกูลสุวรรณ, แก้ว วนิดร์ และ นฤมล อินทร์พิชชา, "การประเมินความเสี่ยงของภัยพิบัติพื้นเมืองและเข้มข้นความแตกต่าง พื้นที่ภัยธรรมชาติที่มีแนวโน้มจะมีการเปลี่ยนแปลงทางภูมิศาสตร์ในอนาคต" จากชั้นสูง ศาสตราจารย์, *Journal of Geoinformation Technology of Burapha University*, vol.1, no.2, pp.14–30, July - December 2016.

[3] Somchai, การดำเนินการเพื่อเตรียมพร้อมที่อยู่อาศัยกับ震 Raspberry Pi, NOLR, RASPBERRY PI THAILAND BLOG, July 18, 2016. Accessed on: Oct. 3, 2017. [Online]. Available: <http://www.raspberrypi-thailand.blogspot.com/2016/07/blog-post.html>

Certificate of Participation

This is to certify that

จักริน ชีพสัจญาณ ณัฐกิตติ์ จิตเรืองธรรมกุล ประจักษ์เฉิดโฉม

have presented a paper titled

โภนเดลอการศักษาป้องจัยและวิเคราะห์ผลที่มีต่อการสังเคราะห์ด้วยแสงของพช
กรณีศึกษา ดัชนีความต่างพืชพรรณ

in The 6th Thai-Nichi Institute of Technology Academic Conference (TNIAC 2020)
held at Thai-Nichi Institute of Technology, Bangkok, Thailand, May 21, 2020

Relit Sukehareonpong

Assoc. Prof. Dr. Pichit Sukchareonpong

Organizing Chair







